

JAERI-M

9285

WREM-J2:原研改良版軽水炉安全性
評価コードシステム

1981年1月

田辺 文也・藤木 和男・吉田 一雄・松本 潔*
大久保収二・坂野 和雄・吉田 博夫*・下桶 敬則*

日本原子力研究所
Japan Atomic Energy Research Institute

この報告書は、日本原子力研究所が JAERI-M レポートとして、不定期に刊行している研究報告書です。入手、複製などのお問合せは、日本原子力研究所技術情報部（茨城県那珂郡東海村）あて、お申しこしください。

JAERI-M reports, issued irregularly, describe the results of research works carried out in JAERI. Inquiries about the availability of reports and their reproduction should be addressed to Division of Technical Information, Japan Atomic Energy Research Institute, Tokai-mura, Naka-gun, Ibaraki-ken, Japan.

WREM-J2:原研改良版軽水炉安全性評価コードシステム

日本原子力研究所東海研究所安全解析部

田辺文也・藤木和男・吉田一雄・松本 潔*
大久保収二・坂野和雄・吉田博夫*・下桶敬則*

(1980年12月25日受理)

WREM (Water Reactor Evaluation Mode 1) コードシステムを構成コードの改良および新しいコードの開発によって WREM-J2 へとバージョンアップした。これによって、小破断を含む軽水炉の冷却材喪失事故 (LOCA) を想定した場合に初期条件を与えれば評価上必要な最高被覆管温度と最高酸化層厚さを得ることができ、このコードシステムだけで一貫した解析が可能となつた。すなわち BWR-LOCAにおいては炉心スプレー系が作動する期間（大破断では再浸水再冠水期間）をも含む LOCA の一貫解析が可能となり、PWR-LOCAにおいては燃料棒・非加熱構造材間の熱輻射計算、格納容器内圧計算、さらには FLECHT 相関式を使わない再冠水計算が可能となつた。

また異常過渡変化解析のための改良も行った。

この報告書は WREM-J2 の構成コードとそれによる解析手法の概要を記述し、さらに WREM-J2 のために行つた改良の一部を記述する。

* 現所属：(財) 原子力工学試験センター原子力安全解析所

WREM-J2 : A JAERI Improved Version of WREM Code System

Fumiya TANABE, Kazuo FUJIKI, Kazuo YOSHIDA,
Kiyoshi MATSUMOTO^{*}, Shuji OHKUBO, Kazuo SAKANO,
Hiroo YOSHIDA^{*} and Takanori SHIMOOKE^{*}

Division of Reactor Safety Evaluation,
Tokai Research Establishment, JAERI

(Received December 25, 1980)

WREM(Water Reactor Evaluation Model) code system has been improved to WREM-J2 version by improving constitutive codes and developing new codes. By these improvements, WREM-J2 has prepared capability of closed evaluation analysis of LWR-LOCA including small break LOCA in the sense that needed quantities (peak cladding temperature and cladding oxide thickness) can be defined by this code system itself if initial conditions are supplied.

Namely it has prepared capability of one-through calculation of BWR-LOCA including refill-reflood phase during which core spray system is actuated. Regarding PWR-LOCA analysis, it has prepared capability of calculating thermal radiation between fuel rods and structures, containment pressure calculation, and reflood calculation without using FLECHT-correlation.

Furthermore several improvements have been implemented for analysing abnormal transients.

This report describes an brief outline of constitutive codes of WREM-J2, methods of LWR-LOCA analysis and a part of improvements included in WREM-J2.

Keywords : LWR, Large Break LOCA, Small Break LOCA, ECCS, Evaluation Analysis, WREM, Computer Codes, JAERI

* Present Address : Nuclear Power Engineering Test Center - Institute for Nuclear Safety, Japan (NUPEC-JINS)

目 次

1. まえがき	1
2. 原研改良 WREM コードシステムの概要	2
2.1 WREM から WREM-J 2 へ	2
2.2 WREM-J 2 の構成	8
2.3 WREM-J 2 を用いた LWR-LOCA 解析手法	11
3. WREM-J 2 のための改良・修正	23
3.1 RELAP 4 の改良	23
3.1.1 気泡離脱モデルの改良	23
3.1.2 小破断解析のための改良	27
3.1.3 FP 崩壊熱評価部分の改良	32
3.2 RELAP/REFLA 用プロッタ・ルーチンの整備	52
3.3 CONTEMPT-LT (EM) 作成のための改良	66
3.4 TOODEE 2 -J 1 のための改良・修正	72
3.4.1 Zr-H ₂ O 反応速度式の改良	72
3.4.2 TOODEE 2 のその他の改良・修正	74
3.5 MOXY および MOXY-PLOT の改良・修正	81
3.5.1 MOXY のプロッタ・ルーチンの改良	81
3.5.2 MOXY (MOD 32) 中のサゴルーチンの修正	83
Appendix A PWR再浸水・再冠水期間の炉出力計算手法	86
Appendix B PWR 再浸水期間の ECCS 流量計算手法	86
Appendix C RELAP4 によるブローダウン計算についてのノート	87
Appendix D RELAD 4 - FLOOD による再冠水解析の入力データ作成法	87
Appendix E CONTEMPT-LT (EM) による格納容器内圧計算の入力 データ作成法	90
Appendix F PWR LOCA 解析のためのノード分割法の例	91
謝 辞	102
参考文献	102

Contents

1. Introduction	1
2. Outline of WREM-J2 Code System	2
2.1 History from WREM to WREM-J2	2
2.2 Constitution of WREM-J2	8
2.3 Methods of LWR-LOCA Evaluation Analysis by Using WREM-J2	11
3. Improvements and Modifications for WREM-J2	23
3.1 Improvements for RELAP4	23
3.1.1 Bubble Rise Model	23
3.1.2 Mixture Level and Vertical Slip Velocity	27
3.1.3 Estimation of FP Decay Heat	32
3.2 Development of Plotter-Routine for RELAP/REFLA	56
3.3 Condensation Heat Transfer Coefficient in CONTEMPT-LT(EM)	66
3.4 Improvements for TOODEE2-J1	72
3.4.1 Extention of Zr-Water Reaction Rate Equation	72
3.4.2 Other Modifications	74
3.5 Modifications for MOXY and MOXY-PLOT	81
3.5.1 Improvements for MOXY-PLOT	81
3.5.2 Modifications of Subroutines in MOXY-EM(MOD32)	83
Appendix A Power Calculation During PWR Refill-Reflood Period	86
Appendix B ECC Flow Calculation During PWR Refill Period	86
Appendix C Notes on Blowdown Calculation by RELAP4-EM	87
Appendix D Notes on Input Data for RELAP4-FLOOD	87
Appendix E Notes on Input Data for CONTEMPT-LT(EM)	90
Appendix F Examples of Noding Diagram for Analysis of PWR Large Break LOCA	91
Acknowledgement	102
References	102

List of Tables

- Table 2.1.1 Comparison of WREM-J2 and WREM
Table 2.1.2 Analysis Performed at JAERI by Using WREM-J2
Table 3.1.1 List of Modified and Added Statements for Improving
Bubble Rise Model in RELAP4
Table 3.1.2 GE+3 σ FP Decay Heat Energy
Table 3.1.3 E_j and λ_j for Each Group of Exponential to Represent GE+3 σ
Table 3.1.4 Fitting of GE+3 σ FP Decay Heat by Summation of Exponentials
Table 3.1.5 Options to Calculate Decay Heat of FP and Actinides
Table 3.1.6 List of Statements of Modified Subroutines
Table 3.2.1 A Sample Input Data for RELAP/REFLA Plotter Program (Case 1)
Table 3.2.2 Output List of RELAP/REFLA Plotter Program for Sample Input (Case 1)
Table 3.2.3 A Sample Input Data for RELAP/REFLA Plotter Program (Case 2)
Table 3.2.4 Output List of RELAP/REFLA Plotter Program for Sample Input (case 2)
Table 3.4.1 List of Modified and Added Statements in TOODEE2 for Introducing
Various Equations of Zr-Water Reaction Rate
Table 3.5.1 List of Modified Statements in MOXY(MOD32)

Table 3.3.1 Uchida Heat Transfer Coefficient
Table 3.3.2 List of Modified and Added Statements in CONTEMPT-LT(EM)
Table 3.3.3 List of Modified Output Format in CONTEMPT-LT(EM)
Table A 1 Input Data for Power Calculation during Refill-Reflood Period
Table B 1 Input Data for ECC Flow Calculation During Refill Period

List of Figures

- Fig. 2.3.1 Series of Calculations in Analysis of PWR large Break LOCA by Using WREM-J2
- Fig. 2.3.2 Flow Chart of Analysis of PWR Large Break LOCA by Using WREM-J2
- Fig. 2.3.3 Series of Calculations in Analysis of PWR Small Break LOCA
- Fig. 2.3.4 Flow Chart of Analysis of PWR Small Break LOCA
- Fig. 2.3.5 Series of Calculations in Analysis of BWR Large Break LOCA by Using WREM-J2
- Fig. 2.3.6 Flow Chart of Analysis of BWR Large Break LOCA by Using WREM-J2
- Fig. 2.3.7 Series of Calculations in Analysis of BWR Small Break LOCA by Using WREM-J2
- Fig. 2.3.8 Flow Chart of Analysis of BWR Small Break LOCA by Using WREM-J2
- Fig. 3.1.1 Mixture Level Calculations in Stacked Volumes
- Fig. 3.1.2 Enthalpy Smoothing Calculation at Junction between Stacked Volumes
- Fig. 3.1.3 Vertical Slip Velocity Calculation at Vertical Junction
- Fig. 3.1.4 Mixture Level in In-Shroud Region during BWR Small Break LOCA, Which is Calculated by Original RELAP4/MOD5
- Fig. 3.1.5 Mixture Level in In-Shroud Region during BWR Small Break LOCA, Which is Calculated by RELAP4/MOD5 with Modified Stacking Option and Wilson's Bubble Velocity Correlation
- Fig. 3.1.6 Mixture Level in In-Shroud Region during BWR Small Break LOCA, Which is Calculated by RELAP4/MOD5 with Modified Enthalpy Smoothing in Addition to the Case of Fig. 3.1.5
- Fig. 3.1.7 Mixture Level in In-Shroud Region during BWR Small Break LOCA, Which is Calculated by RELAP4/MOD5 with Modified Vertical Slip Velocity in Addition to the Case of Fig. 3.1.6
- Fig. 3.1.8 Power Curve Claculation by RELAP4 Power Calculation in the Case of PWR large Break LOCA
- Fig. 3.1.9 Power Curve Calculated by RELAP4 Power Calculation in the Case of PWR Small Break LOCA
- Fig. 3.1.10 Power Curve Calculated by RELAP4 Power Curve Calculation for Checking
- Fig. 3.1.11 Differnce in Cladding Temperature with ANS 1.2 and GE+3 σ
- Fig. 3.2.1 Overlay Plot of Fuel Temperature Distributions for Various Times during Reflood (from Case 1)
- Fig. 3.2.2 Axial Distribution of Heat Transfer Coefficient at 80 Seconds during Reflood in Linear Scale (from Case 1)

- Fig. 3.2.3 Axial Distribution of Heat Transfer Coefficient at 80 Seconds during Reflood in Logarithmic Scale (from Case 1)
- Fig. 3.2.4 Overlay Plot of Rod Temperature for Various Elevations (from Case 2)
- Fig. 3.2.5 Carryover Rate Fraction Calculated by RELAP/REFLA (from Case 2)
- Fig. 3.3.1 Schematic Behavior of Condensation Heat Transfer Coefficient during PWR Large Break LOCA
- Fig. 3.4.1 Weight Gain in Zr-Water Reaction Estimated by Various Equations
- Fig. 3.4.2 Oxide Thickness as a Function of Heating Time
- Fig. 3.4.3 Cladding Surface Temperatures Calculated with Various Equations for Zr-Water Reaction
- Fig. 3.4.4 Cladding Oxide Thickness at PCT Node Calculated with Various Equations for Zr-Water Reaction
- Fig. 3.4.5 Cladding Oxide Thickness at Ruptured Node Calculated with Various Equations for Zr-Water Reaction
- Fig. A 1 Noding Diagram for Power Calculation
- Fig. A 2 Reactivity Calculated by Blowdown Calculation and Input for Power Calculation
- Fig. A 3 Normalized Power Calculated by RELAP4-POWER Calculation
- Fig. B 1 Noding Diagram for ECC Flow Calculation
- Fig. B 2 Accumulator Flow Rate by RELAP4-ECC Calculation with Input Data Mentioned in Table B.1
- Fig. B 3 Accumulator Flow Rates in the Three Cases:
Case 1; Blowdown Calculation
Case 2; RELAP4-ECC Calculation with Reservoir Pressure Equal to Cold Leg Pressure of Blowdown Calculation
Case 3; RELAP4-ECC Calculation with Reservoir Pressure Equal to Containment Pressure after End of Bypass
- Fig. B 4 Reservoir Pressures in Three Cases
- Fig. F 1 Example of Noding Diagram for PWR blowdown Analysis by RELAP4-EM
- Fig. F 2 Example of Noding Diagram for PWR Reflood Analysis by RELAP4-FLOOD
- Fig. F 3 Example of Noding Diagram for PWR Hot Channel Analysis by RELAP4-EM
- Fig. F 4 Example of Modeling Fuel Rode for PWR Hot Channel Analysis by RELAP4-EM
- Fig. F 5 Example of Array of Fuel Rods for PWR Heat-Up Analysis by TOBUNRAD
- Fig. F 6 Example of Modeling Fuel Rods for PWR Heat-Up Analysis by TOBUNRAD

1. まえがき

原研では、昭和47年頃より軽水炉の安全性を解析評価するための計算コードの整備開発と、これらの計算コードを用いた実プラントの解析評価を実施してきた。計算コードの整備開発は、その目的のために既に海外で使用されている計算コードが存在すればそれを導入し、性能を確認したのち、新らしい知見にもとづく改良を加えたり、全く新規のものを開発する、という方法によって行われるのが通常の方法である。

実プラントの解析評価を時機を失すことなく、速やかに実施するためには独自の計算コードの開発完了を待つわけにはいかない。このために安全性評価モデルとして米国NRCによって開発され、使用実績を有している WREM を導入し、この性能を評価し、実プラントの安全性評価解析に必要な改良を加えることにより、WREM の原研改良版を作りあげ、これを実プラントの解析評価に使用してきた。最近原研改良版も WREM-J 2 バージョンに至り、軽水炉の冷却材喪失事故（LOCA）解析は小破断も大破断もこのコードシステムだけで閉じた解析が可能になり一段落の状況に至った。

以下に WREM-J 2 の構成とそれを用いた軽水炉冷却材喪失事故（LWR-LOCA）解析手法を記述し、更に WREN-J 2 のための主な改良点を報告する。なお独自性のある改良、あるいは大きな改良については別に報告する予定である。

2. 原研改良版WREMコードシステムの概要

2.1 WREMから WREM-J2へ

WREM¹⁾ (Water Reactor Evaluation Model) コード・システムは主として軽水炉の一次系配管破断による冷却材喪失事故 (LOCA) を想定した場合の安全性評価解析を目的として米国 NRC によって開発されたコードシステムである。1975年秋に我が国に導入し、必要な変換・整備を行った後原子炉の安全解析に使用した。その後 WREN 構成コードの追加および改良・修正によって WREM-J, WREM-J1 および WREM-J2 と呼ばれる改良版がつくられ (Table 2.1.1 参照), 安全解析能力の向上に努めてきた。以下にこのバージョン・アップの過程と各バージョンの特徴およびその使用実績を記述する (Table 2.1.2 参照)。

2.1.1 WREM

米国 NRC から導入したものを原研の当時の計算機 FACOM 230-75 用に変換整備したものである。これを構成するコード群は

- (1) RELAP 4-EM (MOD 3/Update 85)
- (2) RELAP 4-FLOOD (MOD 3/Update 85),
- (3) TOODEE2²⁾,
- (4) MOXY-EM (MOD 30),

であり、(1)と(2)はそれぞれ RELAP 4 (MOD 3/Update 85) の計算オプションの 1 つとして存在する。

PWR の大破断 LOCA の解析においてはグローダウン計算、ホット・チャンネル計算を(1)で、ループ再冠水解析を(2)を用いて行う。再浸水・再冠水中の燃料棒のヒート・アップ計算には(3)を使う。このバージョンでは格納容器の内圧を計算することができないので、何らかの値を外から持ちこまざるを得ない。

BWR の大破断 LOCA 解析ではスプレー作動時の再浸水、再冠水の解析能力が不充分であり、又小破断解析能力も不充分である。

このバージョンを用いて遂行された ECCS 性能評価解析は昭和 51 年度の四国電力伊方 2 号炉³⁾ (2 ループ PWR) と東京電力柏崎・刈羽炉⁴⁾ (BWR) の 2 つである。前者の解析では格納容器圧力は申請者提出の時間依存の値を使用した。後者の再浸水・再冠水解析においては再冠水時刻を計算コードを用いずに概算で評価した。

2.1.2 WREM-J

WREM に格納容器圧計算コード CONTEMPT-LT (EM) を加えて、PWR 再冠水時の背圧計算を可能にした。

このバージョンは昭和 52 年度の九州電力川内炉⁵⁾ (3 ループ PWR) の ECCS 性能評価解析に使

用された。

2.1.3 WREM-J1

このバージョンでは次に述べる改良が行われた。

- (1) RELAP 4 が MOD 3/Update85 から MOD 5/U2/J1, さらには MOD 6/U4/J1, MOD 6/U4/J2 へとバージョン・アップされたことにより小破断 LOCA 解析及び異常過渡現象をより適切に解析することが可能になった。
- (2) PWR の再冠水解析において FLECHT 相関式を使わずに炉心内熱水力的挙動を解析できるよう RELAP/REFLA⁴⁾ コードを作成した。
- (3) PWR のヒート・アップ計算において燃料棒間および燃料棒と非発熱材との間の熱幅射を計算できるように TOBUNRAD⁷⁾ コードを作成した。
- (4) BWR の燃料集合体ヒート・アップ計算用のコード MOXY-EM が MOD 3.0 から MOD 3.2 へとバージョン・アップされ燃料棒が独立に破裂するような計算が可能になった。

このバージョンを使用して行われた大破断 LOCA 解析は発電用 PWR の大破断 LOCA-ECCS 性能評価解析〔関西電力高浜 3, 4 号炉⁸⁾ (3 ループ PWR), 日本原子力発電敦賀 2 号炉 (4 ループ PWR)⁹⁾, 京都大学第 2 号研究炉の大破断 LOCA 解析⁹⁾, 原子力船「むつ」原子炉の大中破断 LOCA 解析がある。更に小破断 LOCA 解析としては「むつ」原子炉の解析, 大飯 1 号炉の安全解析¹⁰⁾, TMI 2 号炉の事故解析^{11)~13)} があげられる。大飯 1 号, TMI 2 号炉の場合には給水喪失に帰因する過渡現象の解析をも含んでいる。

とくに TMI 2 号炉の事故解析の結果は事故記録との一致もかなりよく、このバージョンの異常過渡現象および小破断 LOCA に対しての解析能力の高さを示している。このバージョンでの RELAP 4 の最終改良版は RELAP 4/MOD 6/U4/J2 である。

2.1.4 WREM-J2

RELAP 4/MOD 6/U4/J3¹⁴⁾ の開発により BWR-LOCA の炉心スプレー作動時の 1 次系の熱水力的挙動の解析が可能となり、BWR の大中破断, 小破断 LOCA にたいしてこのコード・システムだけで閉じた解析が可能となった。即ちこの WREM-J2 においてはじめて LWR (PWR, BWR を問わず) の LOCA 解析が極小破断から大破断まで閉じた解析ができるようになったのである。

原子力船「むつ」原子炉の大中破断 LOCA 解析にあたっては RELAP 4/MOD 3/Update 85, TOODEE 2 をそれぞれ「むつ」原子炉用に改良した RELAP4-EM/SUS および TOODEE 2/SUS, 又は TOBU-NRAD/SUS を使用した。

Table 2.1.1 Comparison of WREM-J2 and WREM

	Name of Codes	Items of Calculation
WREM(Original)	(1) RELAP4-EM(MOD3) (2) RELAP4-FLOOD(MOD3) (3) TOODEE2 (4) MOXY-EM(MOD30)	PWR/ System Blowdown PWR/ Hot Channel during Blowdown PWR/ Power during Refill-Reflood Period BWR/ System Blowdown PWR/ System Reflood PWR/ Fuel Heat-Up during Refill-Reflood Period BWR/ Fuels Heat-Up during LOCA
WREM-J2(JAERI-Improved Version)	(1) RELAP4-EM(MOD6/U4/J3) (2) RELAP4-FLOOD(MOD6/U4/J3) (3) TOODEE2-J1 (4) TOBUNRAD(Ver.1) (5) CONTEMPT-LT(EM) (6) MOXY-EM(MOD32) (7) RELAP/REFLA (8) RELAP4-EM/SUS (9) TOBUNRAD/SUS	PWR/ System Blowdown PWR/ Hot Channel during Blowdown PWR/ Power during Refill-Reflood PWR/ ECC Flow during Refill Period BWR/ System Blowdown-Refill-Reflood BWR/ Hot channel during Blowdown PWR/ System Reflood PWR/ Fuel Heat-Up during Refill-Reflood Period PWR/ Fuels-Heat-Up during Refill-Reflood Period Taking Account of Thermal Radiation between Fuel Rods and Structures PWR/ Containment Pressure during LOCA BWR/ Fuels Heat-Up during LOCA PWR/ System Reflood without Using FLECHT-Correlation PWR with SUS-Cladded Fuel Rods/ Blowdown -----/ Hot Channel -----/ Power -----/ Fuels Heat-Up

Table 2.1.2 Analysis Performed at JAERI by Using WREM-J2

	対象原子炉	解析課題	解析項目	使用したWREM のバージョン	使用コード	目的	計算年月
①	米国BWR 標準プラント	再循環ポンプ 吸込配管 大破断	プローダウン ヒート・アップ	WREM	RELAP4-EM(MOD3) MOXY-EM(MOD30)	WREM 性能評価のため	1976年6月 完了
②	米国PWR 標準プラント	コールドレグ 大破断	プローダウン ホットチャンネル 再冠水 ヒート・アップ	WREM	RELAP4-EM(MOD3) 同上 RELAP4-FLOOD(MOD3) TOODEE2	同上	1976年6月 完了
③	伊方2号炉 (2ループ) PWR	コールドレグ 大破断	プローダウン ホットチャンネル 再冠水 ヒート・アップ 水→Zr反応量 炉出力減衰	WREM	RELAP4-EM(MOD3) 同上 RELAP4-FLOOD(MOD3) TOODEE2 RELAP4-EM(MOD3)	安全審査参考用	1977年4月 完了
④	柏崎・刈羽炉 (BWR)	再循環ポンプ 吸込配管 大破断	プローダウン ヒート・アップ 炉水位	WREM	RELAP4-EM(MOD3) MOXY-EM(MOD30)	同上	1977年4月 完了
⑤	原子力船 「むつ」 (2ループ) PWR	コールドレグ 大中破断	プローダウン ホットチャンネル 格納容器内圧 再冠水 ヒート・アップ 輻射効果 水-SUS反応 炉出力減衰	WREM-J1/SUS	RELAP4-EM/SUS 同上 CONTEMPT-LT(EM) RELAP/REFLA TOBUNRAD/SUS (TOODEE2/SUS) RELAP4-EM/SUS	共同研究	1976年12月 1978年12月

	対象原子炉	解析課題	解析項目	使用したWREM のバージョン	使用コード	目的	計算年月
⑥	川内炉 (PWR)	コールドレグ 大破断	プローダウン ホットチャンネル 格納容器内圧 再冠水 ヒート・アップ 輻射効果 水-Zr反応 炉出力減衰	WREM-J RELAP 4-EM(MOD 3) CONTEMPT-LT(EM) RELAP 4-FLOOD(MOD 3) TOODEE 2 RELAP 4-EM(MOD 3)	RELAP 4-EM(MOD 3) CONTEMPT-LT(EM) RELAP 4-FLOOD(MOD 3) TOODEE 2 RELAP 4-EM(MOD 3)	安全審査参考用 完了	1977年9月
⑦	京大研究炉	1. 大破断 2. 流路閉塞	プローダウン	WREM-J 1 RELAP 4 (MOD 5/CHF) 同上	RELAP 4 (MOD 5/CHF) 同上	同上	1978年11月 完了
⑧	高浜3、4号炉	コールドレグ 大破断	川内炉に同じ (但し 水-Zr反応 量について感度解 析)	WREM-J 1 RELAP 4-EM(MOD 5/U2/J 1) CONTEMPT-LT(EM) RELAP 4-FLOOD(MOD 5/U2/J 1) TOBUNRAD TOODEE 2 RELAP 4-EM(MOD 5/U2/J 1)	RELAP 4-EM(MOD 5/U2/J 1) CONTEMPT-LT(EM) RELAP 4-FLOOD(MOD 5/U2/J 1) TOBUNRAD TOODEE 2 RELAP 4-EM(MOD 5/U2/J 1)	同上	1978年12月 完了
⑨	TMI-2号炉	給水喪失 加圧器逃し弁 開閉者 (小破断)	異常過渡変化 小破断プローダウン ヒート・アップ	WREM-J 1 RELAP 4-MOD 6/U 4/J 1 TOODEE 2-J 1	RELAP 4-MOD 6/U 4/J 1 TOODEE 2-J 1	事故解明のため (第1次)	1979年4月 1979年8月
⑩	同上	同上	同上	RELAP 4/UD 6/D 4/J 2 TOODEE 2-J 1	RELAP 4/UD 6/D 4/J 2 TOODEE 2-J 1	事故解明 (第4次)	1979年9月 1980年6月

対象原子炉	解析課題	解析項目	使用したWREM のバージョン	使用コード	目的	計算年月
大飯1号炉 (4ループ) ⑪	給水喪失 加圧器逃し弁 開閉着 (小破断)	異常過渡変化 小破断ブローダウン	WREM-J1	RELAP4/MOD5/U2/J1	安全性総点検参考用	1979年5月 実施
原子力船 「むつ」 ⑫	同上	同上	同上	受託研究	1980年3月 完了	
敦賀2号炉 (4ループ) ⑬	コールドレグ 大破断	高浜3.4号炉と同じ	同上	高浜3.4号炉と同じ (但しTOBUNRADは使用せず)	安全審査参考用	1980年3月 完了
原子力船 「むつ」 ⑭	蒸気発生器 細管破断	WREM-J1	RELAP4/MOD6/U4/J2	受託調査	1980年12月 完了	

2.2 WREM-J 2 の構成

2.2.1 RELAP 4-EM (MOD 6/U4/J3)¹⁴⁾

NEA Data Bank より導入した RELAP 4/MOD6/Update 4¹⁵⁾を原研において変換整備し¹⁶⁾、更に改良したものである。このコードは過渡変化を解析するにあたって、系内を多数のノードに分割し、流路としてノード間を結ぶジャンクションを設けて質量、運動量およびエネルギー保存則の連立方程式を解く。炉心における熱発生源としては核分裂によるエネルギー、核分裂生成物およびアクチニドの崩壊エネルギーの3つである。

核分裂エネルギーは6群の遅発中性子を考慮に入れて一点近似のKineticsを除く。核分裂生成物の崩壊エネルギーはANSの標準テーブルおよびその1.2倍又はGE+3σの値を用い、アクチニドの崩壊エネルギーは内蔵されているANSの標準式を使用する。

このコードを使って過渡変化時(PWRの再冠水を除く)の系の挙動を解析することにより、各ノード内の冷却材圧力、エンタルピー、密度およびノード間の流量の他、炉出力および燃料棒温度等を出力として得ることができる。

原研においてJ3バージョンを作るために施した主な改良点は次の諸点である。

(1) 炉心スプレー作動時のBWR-LOCA解析のための改良

- (a) 炉心スプレー水のCCFL(Counter Current Flow Limiting)効果をWallis型の相関式を用いて計算できるようにしたこと
- (b) スプレー熱伝達、再冠水熱伝達を簡単なモデルで計算できるようにしたこと
- (c) 炉心バイパス領域から下部プレナムへの漏えいをGE相関式から計算するオプションを追加したこと
- (d) 核分裂生成物崩壊エネルギーをGE+3σの値を使うオプションを追加したこと

(2) 小破断解析のための改良

- (a) 多層構造ノードにおける水位計算の改良
- (b) 鉛直方向スリップ計算に使用されるボイド率の修正
- (c) 鉛直方向ジャンクションのエンタルピー平滑化手法の拡張

(3) その他の改良

- (a) トリップ・リセット機能の設置
- (b) リーク・テーブルの独立変数の追加
- (c) リスタート時に入力可能な入力データの拡張

RELAP 4-EMは大破断LOCA解析ではPWRのブローダウン計算、BWRのブローダウン開始から再冠水終了までの計算に使用され、小破断LOCA解析は開始から終了までの計算に使用されるのが主である。その他の使用方法としてはブローダウンの中のホット・チャンネル計算、PWRの再浸水・再冠水中の炉出力減衰計算およびPWR再浸水中のECCS流量計算に使用することができる。

2.2.2 RELAP 4-FLOOD (MOD 6/U4/J3)

このコードの由来はRELAP 4-EM(MOD 6/U4/J3)と同じであり、RELAP 4

(MOD 6/U 4/J 3) の計算オプションのひとつとして存在する。PWR の再冠水期間中における一次冷却系全体の挙動の解析が RELAP 4-FLOOD によって行われる。このコードの RELAP 4-EM と異なる主な点は次の 4 つである。

(1) 炉心における熱伝達

PWR - FLECHT 実験に基づく W 社の FLECHT 相関式^{16) 18)} (炉心底より 3 ft 以上) と Aerojet 相関式 (炉心底より 3 ft 以下) を使って燃料棒表面熱伝達係数を計算する。

(2) 炉心出口流量

PWR - FLECHT 実験に基づくキャリー・オーバー率 (= 炉心出口流出 / 炉心入口流量) の相関式として B & W 又は Aerojet の相関式を使用して炉心出口流量を計算する。

(3) 蒸気発生器二次側における熱伝達

蒸気発生器 U 字管の二次側表面における熱伝達は自然対流の熱伝達率の式を使って計算する。

(4) 圧力容器側破断口のとり方

再冠水期間中はごく初期を除くとダウンカマー水位は低温側配管の圧力容器貫通部にあってダウンカマーから破断口へ至る流れは層状流となっていると考えられる。これを模擬するためにダウンカマーから格納容器への蒸気流路と液相水流路を分離して設ける。

2.2.3 CONTEMPT-LT (EM)

CONTEMPT-LT / 022 を^{19) 20)} 米国 NRC の安全審査用技術指針 Branch Technical Position CSB 6-1 に規定されている最小格納容器内圧モデルに適合するように原研において改良した EM 版である。即ち、格納容器内壁および格納容器内構造物の表面における蒸気凝縮熱伝達係数の計算に上記の最小格納容器内圧モデルの式を使うようにしたものである。

このコードは冷却材喪失事故の全期間にわたる格納容器内圧を計算するものであり、とくに再冠水期間中の内圧は再冠水速度を規定する重要な因子である。

2.2.4 TOODEE 2-J1

米国 NRC より導入した WREM 中のコードを原研において変換整備し、更に次の改良を施したものである。

- (1) 水 - Zr 反応の式として Baker - Just の式以外に川崎の式、池田の式および一般化された放物線則の式を使えるようにした。
- (2) 逆流蒸気流の場合にも流路閉塞の効果を計算できるようにした。
- (3) 燃料棒プレナム部の温度を評価する新しい機能を追加したこと。

このコードを用いて、単一燃料棒のリフィル・再冠水期間中のヒート・アップ挙動を解析する。リフィル期間中の燃料棒表面の熱伝達は断熱として取扱う。再冠水速度が 1 in/sec 以上に対しては 15×15 燃料集合体に対する FLECHT 熱伝達相関式を適用する。1 in/sec 未満に対しては蒸気冷却として Dittus - Boelter の式を適用する。燃料棒の変形および被覆管の酸化反応 (反応速度の式は Baker - Just その他の式) を考慮している。

2.2.5 TOBUNRAD (Ver. 1)⁷⁾

TOBUNRADは, TOODEE 2複数個を結合して, PWRの燃料集合体を構成する各燃料棒の個別(又は群別)の挙動を計算すると同時に, これら燃料棒間及び集合体内の非加熱棒(制御棒クラスター案内シンプル等)との間の熱輻射相互作用をとり入れた解析を可能にするため, 原研で開発されたコードである。熱輻射効果の計算には原研開発のヒート・アップコードSCORCH²¹⁾の輻射パッケージ部分を利用している。複数個のTOODEE 2プログラム及び熱輻射計算パッケージの結合に際しては, FORTRAN言語による「割込方式」に依っているのがプログラム上の特徴である。

個々のTOODEE 2の機能はそのまま保存されており, 加えて再冠水期間中に再冠水率が1 in/secよりも小さくなると蒸気冷却モデルを適用する場合の蒸気過熱開始点(炉心底よりの高さ)を外部から入力できるように改良されている。尚, このコードで熱輻射相互作用が計算されるのは再浸水期間, 及び蒸気冷却時のみである。

2.2.6 MOXY-EM(MOD 3 2)

NEA Data Bankより導入したものを原研で変換・整備したものであり, MOXY-EM(MOD 3 0)の改良版である。MOXY-EMはBWR-LOCAの全期間中の燃料バンドルのある着目高さ位置での挙動をWater rod, チャンネル側板も含めて熱輻射を考慮に入れて計算するものである。スプレー熱伝達係数はBWR-FLECHT実験^{22) 23)}に基づく燃料棒位置に依存する値(1.5, 3.0, 3.5 Btu/hr·ft²·F)が内蔵されており, チャンネル側板およびWater rodの上からのリウェッティングは山内の式を用いて評価することができる。

2.2.7 RELAP/REFLA⁶⁾

WREMコードシステム中の再冠水解析コードRELAP 4-FLOOD(MOD 3/Update 85)をベースに, その炉心部の熱水力解析部分をREFLA-1Dコード²⁴⁾で置き換えた再冠水解析コードである。

REFLA-1Dは原研安工第2研究室において開発された一定注水率再冠水実験解析用コードであり, 一次元UVUTモデルを使用している。RELAP 4との結合にあっては時間依存の炉心入口境界条件が適用できるよう改造されている。オリジナルのRELAP 4-FLOODでは炉心の熱伝達及びCRF(Carryover Rate Fraction)の評価にFLECHT実験による相関式を使用しているため 12 ft 炉心(陸上PWR)以外への適用は困難である。しかしRELAP/REFLAでは原理上任意の形状の炉心を有する原子炉(PWRタイプ)の再冠水解析が可能となる。

2.2.8 RELAP 4-EM(MOD 5/U 2/J 1)

2.2.9 RELAP 4-FLOOD(MOD 5/U 2/J 1)

NEA Data Bankより導入したRELAP 4(MOD 5/update 2)²⁵⁾を原研において変換・整備し¹⁶⁾更に原研において次の諸点を改良したものである。

- (1) Wilsonの気泡離脱速度の関係式を組み込んで使用できるようにした。

(2) 水位が多段に出現するようとする機能の改良と、それに関連する流路結合点のエンタルピーの平滑化の手法の改良。

(3) 垂直方向スリップ・モデルに使用されるボイド率の計算の修正。

(4) エンタルピー平滑化の手法における誤りの修正。

これらのコードの機能は基本的にRELAP 4-EM (MOD 6/U4/J3), RELAP 4-FL-OOD (MOD 6/U4/J3)の機能の中に含まれているので通常は使用する必要はないと考えられる。しかしながらMOD 6/U4/J3には未チェックの部分が存在するのでMOD 6/U4/J3でトラブルが発生した場合に便宜的にMOD 5/U2/J1を用いることにしてよいであろう。

2.2.10 RELAP 4-EM/SUS²⁶⁾

RELAP 4-EM/SUS は、WREMコードシステムの中心をなす汎用熱水力解析コードRELAP 4-EM (MOD 3/Update 85)を「むつ」炉解析用に改造し、同時にいくつかのプログラム・ミスを訂正、改良したものである。RELAP 4-EMのオリジナル版はジルカロイ被覆管を有する陸上軽水炉を対象としたものであるため、「むつ」炉への適用にさいしては(1)被覆管材質がSUS 27であること、(2)ギャップガス中に多量の水蒸気が存在すること、の2点に対して以下のような修正が必要であった。

(1) SUSに対する物性値 (linear expansion coefficient, elastic modulus, Poisson's ratio) を組み込む。

(2) SUS被覆管に対するスウェーリングおよび破裂モデルの組み込み。

(3) 金属-水反応評価式をSUS-水反応に対するものに変更。

(4) ギャップガスの組成として水蒸気を考慮できるようにする。

(5) ギャップコンダクタンスが小さい場合の燃料棒初期状態計算の改良。

(6) 核分裂生成物崩壊エネルギーをGE + 3σの値を使えるように修正。

2.2.11 TOODEE 2/SUS²⁶⁾

WREMコードシステムのPWRヒート・アップ解析用コードTOODEE 2をベースに、「むつ」炉解析に適するよう改良を行ったものである。修正点はRELAP 4-EM/SUSの場合と同様であるが、それに加えてSUSの一部の物性値 (Thermal conductivity, Heat capacity) の入力のために内蔵データテーブルを修正する必要があった。

2.2.12 TOBUNRAD/SUS

TOBUNRAD (Ver. 1) にTOODEE 2/SUSと同じ修正を施したものである。

2.3 WREM-J2を用いたLWR-LOCA

2.3.1 PWR-大破断LOCA解析

1. 使用コード

発電用 PWR の大破断 LOCA 時の ECCS 性能評価上必要とされるのは次の 5 つのコードである。

- (1) RELAP 4-EM (MOD 6/U4/J3)
- (2) RELAP 4-FLOOD (MOD 6/U4/J3)
- (3) CONTEMPT-LT (EM)
- (4) TOODEE 2-J1
- (5) TOBUNRAD (Ver. 1)

2. コードの使用方法

PWR の一次系配管大破断による冷却材喪失事故 (LOCA) は大別して、ブローダウン、リフィル、再冠水の 3 つの過程に分けて考えることができる。これらの過程を解析する計算系列は Fig. 2.3.1 に示すように 4 つある。即ち燃料棒挙動計算、一次ループ熱水力計算、格納容器内圧計算および炉出力減衰計算である。そのうち最も重要な系列は前二者であり、燃料棒温度計算は一次ループ熱水力計算の結果を境界条件として遂行されるものである。また格納容器内圧計算は再冠水過程の一次ループ計算の境界条件の一部を与えるものである。これら 4 系列の解析においてそれぞれの過程ないしは現象を分担する計算コードは Fig. 2.3.1 に示されている通りである。一方、これらのコード間のデータの授受を含む計算の流れを Fig. 2.3.2 に示す。

(1) 一充ループ熱水力解析計算及び格納容器内圧計算

まず RELAP 4-EM によりブローダウン過程における一次ループ全体の挙動を計算する。RELAP 4-ECC 計算により得られた ECCS 流量を積分することによって再冠水開始時刻 (BOCREC 時刻) を決定する。

RELAP 4-FLOOD による再冠水過程の解析には BOCREC 時の原子炉の状態が必要である。炉出力は炉出力減衰計算から、燃料棒温度は TOODEE 2 によるフィルム期間の平均出力燃料棒に対する断熱計算から、また格納容器内圧は CONTEMPT-LT (EM) による計算から得られる。蒸気発生器 2 次側条件はブローダウン計算のバイパス終了時のものを使用する。ECCS 流量はブローダウン計算結果を使用する。以上の諸量及び格納容器内圧を初期条件ないしは境界条件として再冠水過程の一次ループ熱水力解析を RELAP 4-FLOOD で行う。

BOCREC 時の平均出力炉心部の被覆管表面温度軸方向分布はバイパス終了まで RELAP 4-EM のホットチャンネル計算で平均出力炉心部の燃料棒温度を計算し、バイパス終了時の燃料棒条件を初期条件として TOODEE 2 によって断熱計算を行って得られる。

再冠水過程の境界条件の一つである格納容器内圧の挙動は CONTEMPT-LT (EM) を用いて計算する。このためにブローダウン期間中は RELAP 4-EM の計算結果より破断流量と放出エネルギー率が入力として使用され、再冠水期間中は RELAP 4-FLOOD で計算された破断流量と放出エネルギー率が入力に使用される。従って、再冠水期間に対しては RELAP 4-FLOOD と CONTEMPT-LT (EM) を交互にくり返し計算をして両コードの計算結果を相互に収束させている。

再冠水期間中の炉出力については、ブローダウン計算によって得られた反応度が再冠水期間中にも外挿できるものと仮定して、RELAP 4-EM の 1 ボリューム計算を行って出力の減衰曲線を求めている。このような使い方を便宜的に RELAP 4-Power と名付ける。

(2) 燃料棒挙動解析計算

ブローダウン計算結果を用いて、RELAP 4-ホット・チャンネル計算により最高出力アッセンブリの最高出力燃料棒、平均出力燃料棒および制御棒クラスター案内シンプルの挙動をECCバイパス終了時まで計算し、同時刻における燃料棒の状態（温度分布、被覆管の酸化量、歪等）および制御棒クラスター案内シンプルの温度をTOBUNRADの初期条件として入力する。

ホット・チャンネル計算とは、ブローダウン計算により決定された上部、下部両プレナムの状態量（温度、圧力、クオリティ）と炉出力変化を境界条件としてホットアッセンブリの熱水力的挙動をより詳細に（その際、通常はブローダウン計算よりも細分化された炉心ノード分割および燃料棒分割を用いて）解析するものを指す。

TOBUNRAD 計算は再冠水期間中の炉心圧力、再冠水速度、炉心出口蒸気流量および蒸気過熱開始点（再冠水速度が1 in/sec以下のときの蒸気冷却時に使用される）としての炉心水位を入力データとして必要とするが、それらはRELAP 4-FLOODの計算結果を使用する。このTOBUNRAD 計算によって、着目している物理量である最高被覆管温度（PCT）と局所最大被覆管酸化層厚さ（COT）を得ることができる。

更に全炉心被覆管酸化量が必要なときには、炉心内の燃料集合体を半径方向ピーキング係数によっていくつかの群に分けて、それぞれの群の燃料集合体中の平均出力燃料棒に対してホット・チャンネル計算、TOODEE 2 計算を行って、各群における酸化量を得てそれを積分すればよい。

2.3.2 PWR一小破断LOCA解析

1. 使用コード

発電用PWRの小破断LOCA時のECCS性能評価上必要とされるのは次の2つのコードである。

- (1) RELAP 4-EM(MOD 6/U4/J3)
- (2) TOODEE 2-J1。

2. コードの使用方法

PWRの一次系配管小破断による冷却材喪失事故（LOCA）は大破断LOCAの場合とは異なり、一次系からのブローダウンが長時間持続し、かつ通常は破断口の臨界流条件が成立しなくなるほど圧力が下がらないことが多いので格納容器内圧計算は不要である。従ってこの過程を解析する計算系列は大破断LOCAに比して簡略化してFig. 2.3.3に示すように一次ループ熱水力解析と燃料棒挙動解析の2系列とすることができます。これら2つの系列の各々のコードが分担する現象と過程はFig. 2.3.3に示しており、解析計算における各コードの間のデータの授受を含む計算の流れはFig. 2.3.4に示したとおりである。

(1) 一次ループ熱水力解析計算

RELAP 4-EMにより一次系ループ全体の挙動を一貫して計算する。この場合、炉心水位変化に伴う熱伝達の変化、蒸気発生器（SG）両側の水位変化に伴う熱伝達の変化を模擬するために、燃料棒およびSG伝熱管壁を表わすヒートスラブは鉛直方向に複数個に分割して、そ

それぞれの高さ位置における局所クオリティに基づいて熱伝達を計算するようにしなければならない。その他の構造材を考慮するときも同様である。

(2) 燃料棒挙動解析計算

一次ループ熱水力解析計算により得られた炉心水位、炉心出口蒸気流量、炉心入口流量および炉心圧力を時間依存の境界条件として TOODEE 2-J1 (又は TOBUNRAD)によって燃料棒上端露出以降の計算を行う。露出開始時の燃料棒条件はループ熱水力解析計算での燃料棒条件を使用する。

この計算結果として PCT, COT が得られる。全炉心被覆管酸化量が必要な場合は大破断 LOCA の場合と同様に全炉心燃料を数群に分けてそれぞれに対して TOODEE 2 計算を行って、その結果を積分する。

2.3.3 BWR一大破断LOCA解析

1. 使用コード

WREM-J2 コード・システムのうち発電用 BWR の大破断 LOCA 解析に使用できるのは次の 2 つである。

- (1) RELAP 4-EM (MOD 6/U4/J3)
- (2) MOXY-EM (MOD 32)。

2. コードの使用方法

BWR の一次系配管大破断による冷却材喪失事故 (LOCA) は大きくわけて、ブローダウン、再浸水、再冠水の 3 つの過程に分けて考えることができる。この LOCA 解析においては計算の主系列が 2 つあり、ひとつは系全体の熱水力学的挙動を解析するループ計算であり、もうひとつは最高出力チャンネル内の燃料棒の挙動を解析して最高被覆管温度 (PCT) と最高酸化層厚さ (COT) を求めるヒート・アップ計算である。後者の計算は前者の計算結果を束縛条件として遂行されるものである。これら 2 つの主系列の計算において各々のコードの分担する現象とその過程は Fig. 2.3.5 に示しており、解析計算における各コードの間のデータの授受を含む計算の流れは Fig. 2.3.6 に示したとおりである。

(1) 一次ループ熱水力解析計算

RELAP 4-EM を用いてブローダウン開始から再冠水終了までの一次ループ熱水力挙動を一貫して計算する。これにより系の減圧過程と水位変化を知ることができる。

(2) 燃料棒挙動解析計算

一次ループ熱水力計算結果を用いてホット・チャンネル計算を行うことによって下部プレナムフラッシング終了時刻 (EOLPF) 一下部プレナムフラッシング後に最高出力バンドルの最高出力位置のクオリティが 1.0 になった時刻で定義する — と、それまでのその位置での被覆管表面熱伝達係数 (HTC) 、冷却材温度、規格化炉出力の時間依存の値が MOXY-EM の境界条件として使われる。更にスプレー流量定格到達時刻および再冠水時刻はループ計算の結果が使われる。MOXY-EM では EOLPF からスプレー流量定格到達時刻までを対流熱伝達は零、その後はスプレー熱伝達係数を用いて計算する。再冠水後は $25 \text{ Btu}/\text{hr} \cdot \text{ft}^2 \cdot {}^\circ\text{F}$ を用いる。この計算の結果として最高被覆管表面温度 (PCT) と酸化層厚さ (COT) を得ることができる。

最高出力バンドルの全体の酸化量が必要となきは、炉心下端から上端までの複数の高さでの MOXY-EM 計算を行い、それを積分する。更に炉心全体の酸化量が必要な場合は炉心全体の燃料棒集合体を出力ピーピング係数によって複数個の群に分けて上記と同様のことをして積分すればよい。

2.3.4 BWR 小破断 LOCA 解析

1. 使用コード

WREM-J2 コードシステムのうち BWR 小破断 LOCA 解析に使用できるのは次の 2つである。

- (1) RELAP 4-EM (MOD 6/U4/J3)
- (2) MOXY-EM (MOD 32)

2. コードの使用方法

BWR の一次系配管小破断による冷却材喪失事故 (LOCA) は炉心露出時も含めて減圧過程が続くのでブローダウン相のみと考えることができる。

計算の系列は 2 つあり、ひとつは一次系全体の熱水力的挙動を解析するループ解析計算でありもうひとつは最高出力チャンネル内の燃料棒の挙動を解析して PCT と COT を求めるヒート・アップ計算である。

これら 2 つの主系列の計算において各々のコードの分担する現象とその過程は Fig.3.2.7 に示してあり、解析計算における各コードの間のデータの授受を含む計算の流れは Fig. 3.2.8 に示したとおりである。

(1) 一次系ループ熱水力解析計算

基本的には大破断 LOCA 解析の場合と同じである。

(2) 燃料棒挙動解析計算

被覆管表面温度計算上着目すべき炉心内高さが水位低下により蒸気中に露出するまでは、ループ計算によって得られた被覆管表面熱伝達係数、冷却材温度、炉出力を用いて解析する。

露出後は炉心飽和温度、炉出力の時間変化の値をループ計算の結果を用い、露出してから炉心スプレー流量が定格に達するまでは対流熱伝達は零とし、定格到達後は飽和温度へのスプレー熱伝達係数 1.5, 3.0, 3.5 Btu/hr*ft²*F を使用する。水位が回復した後は 25 Btu/hr*ft²*F を用いる。

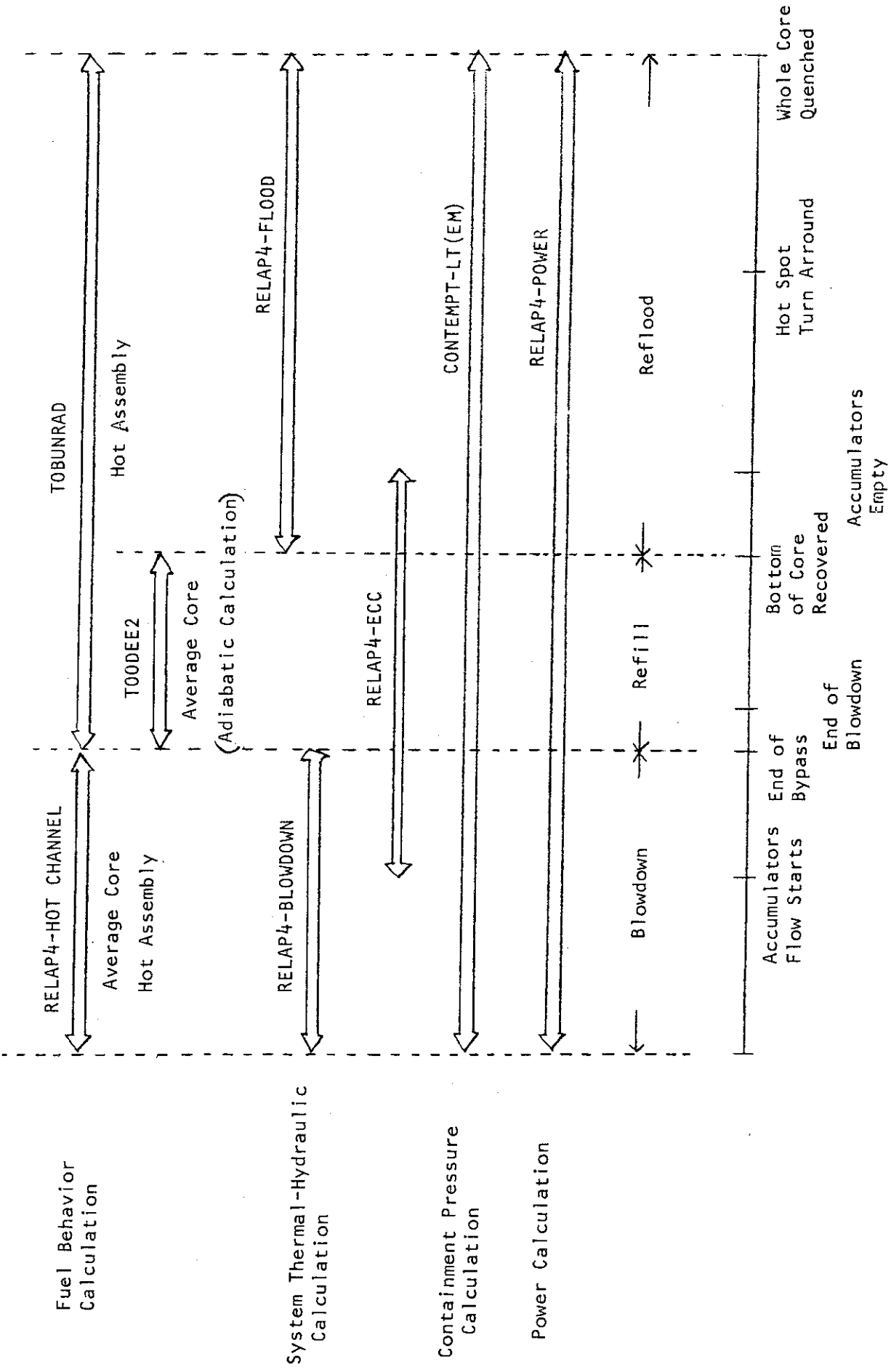


Fig. 2.3.1 Series of Calculations in Analysis of PWR Large Break LOCA by Using WREM-J2

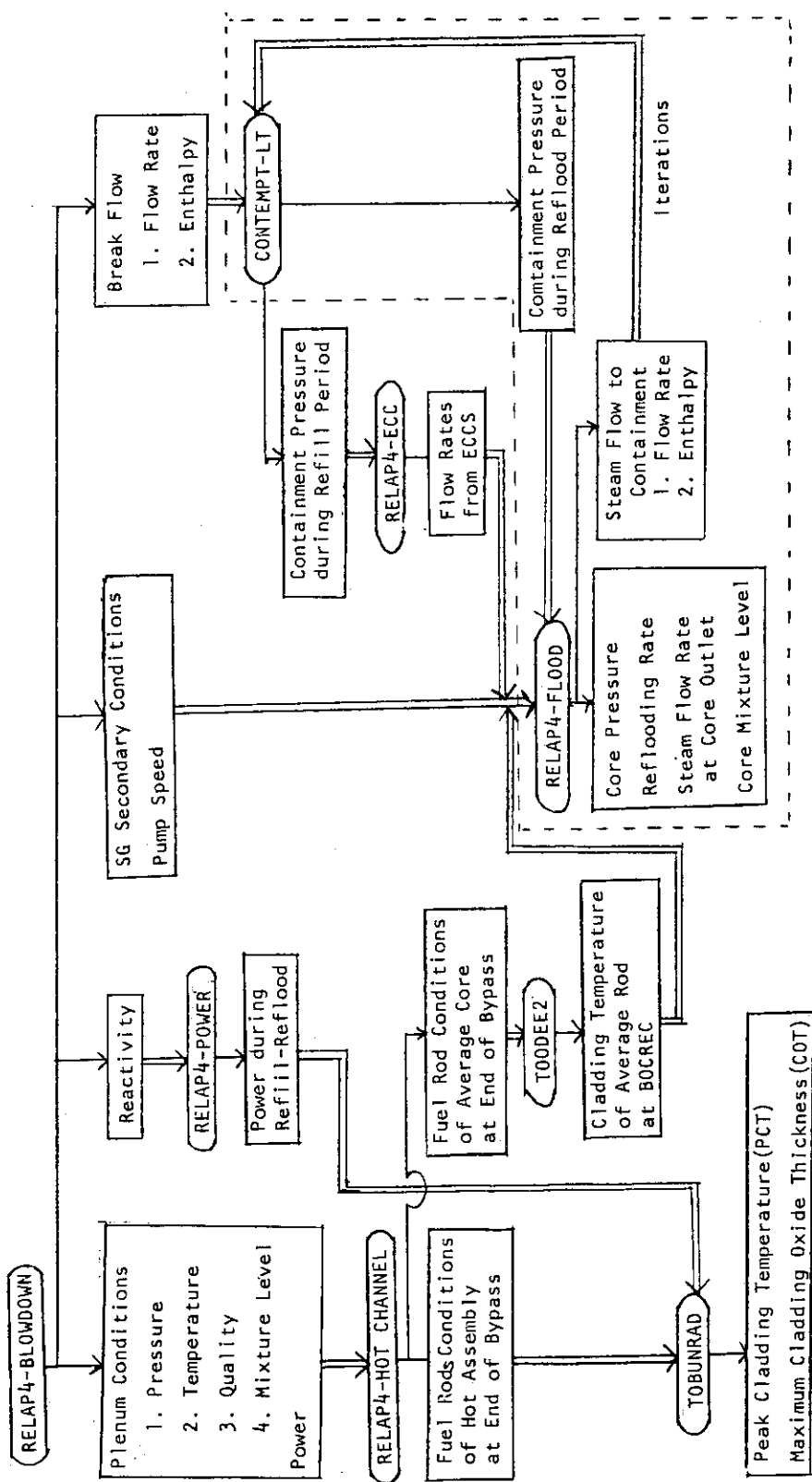


Fig. 2.3.2 Flow Chart of Analysis of PWR Large Break LOCA by Using WREM-J2

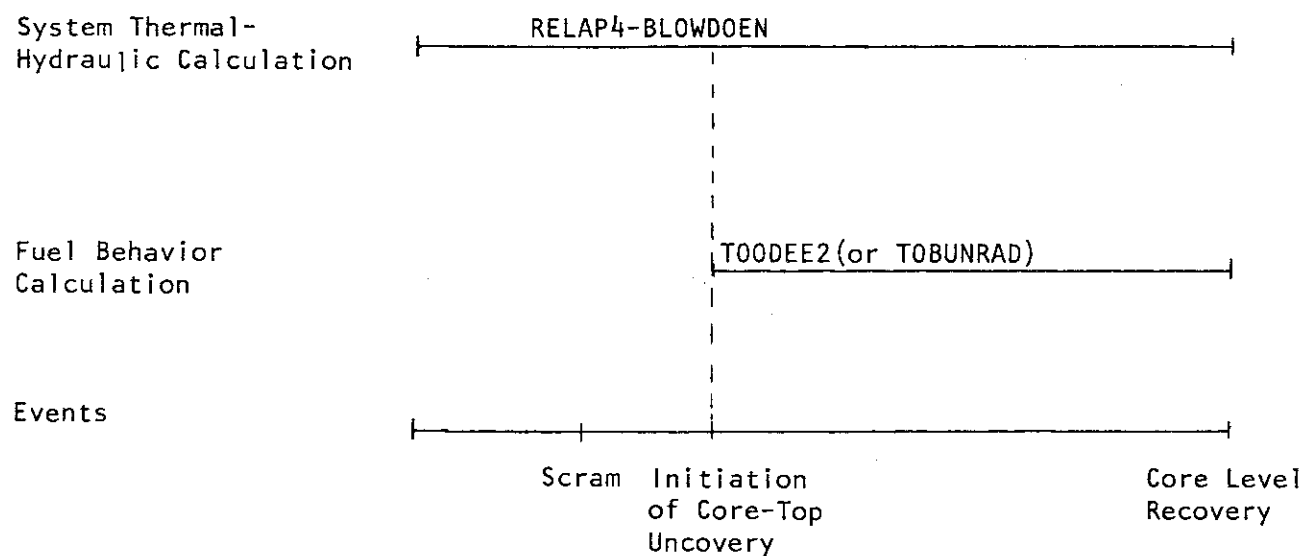


Fig. 2.3.3 Series of Calculations in Analysis of PWR Small Break LOCA

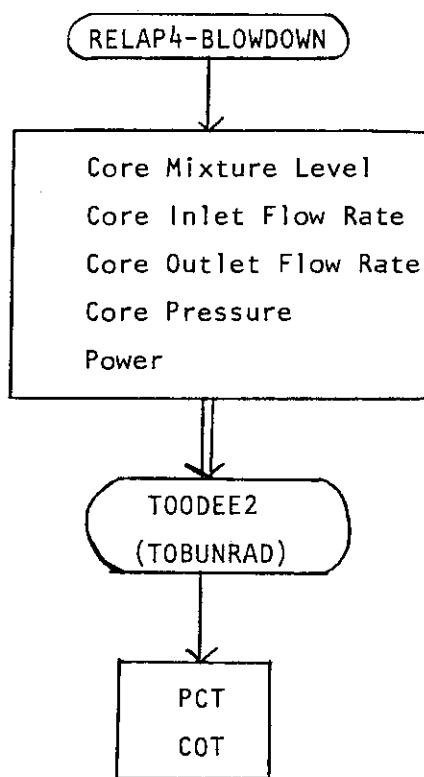


Fig. 2.3.4 Flow Chart of Analysis of PWR Small Break LOCA by Using WREM-J2

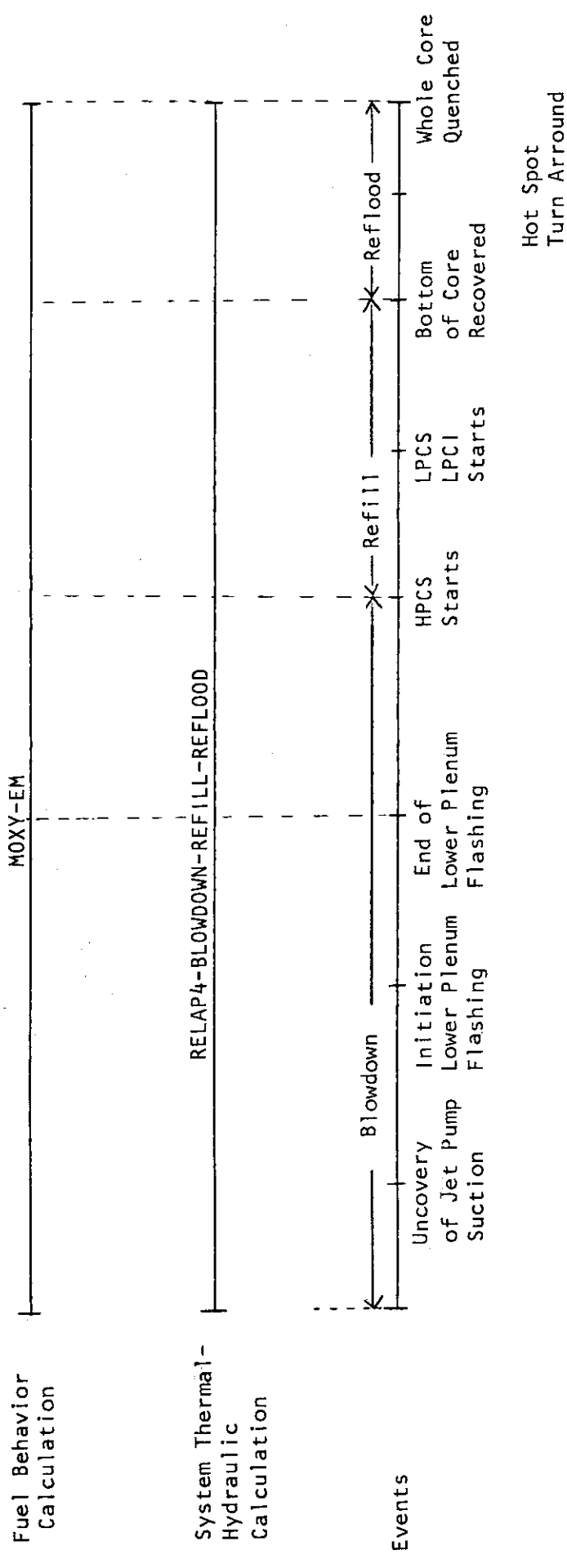


Fig. 2.3.5 Series of Calculations in Analysis of BWR Large Break LOCA by Using wREM-J2

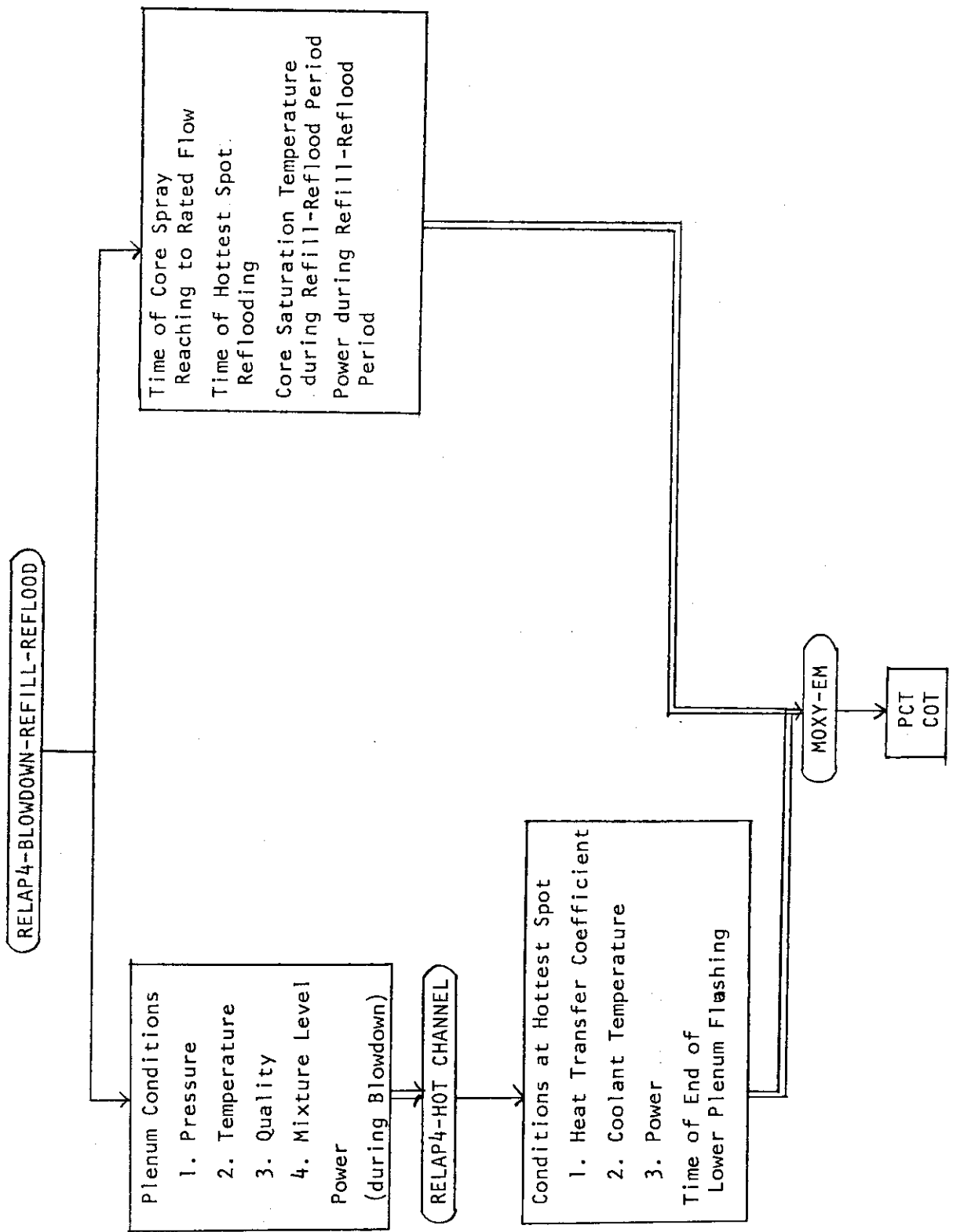


Fig. 2.3.6 Flow Chart of Analysis of BWR Large Break LOCA by Using WREM-J2

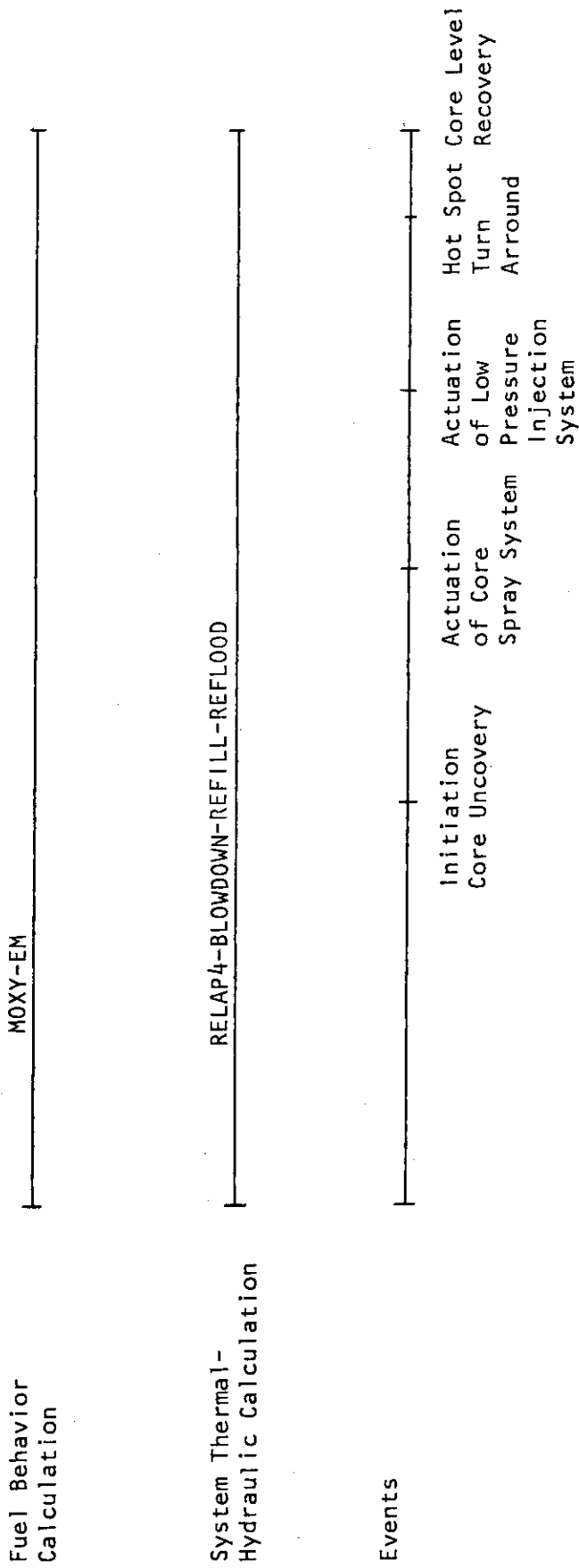


Fig. 2.3.7 Series of Calculations in Analysis of BWR Small Break LOCA by Using WREM-J2

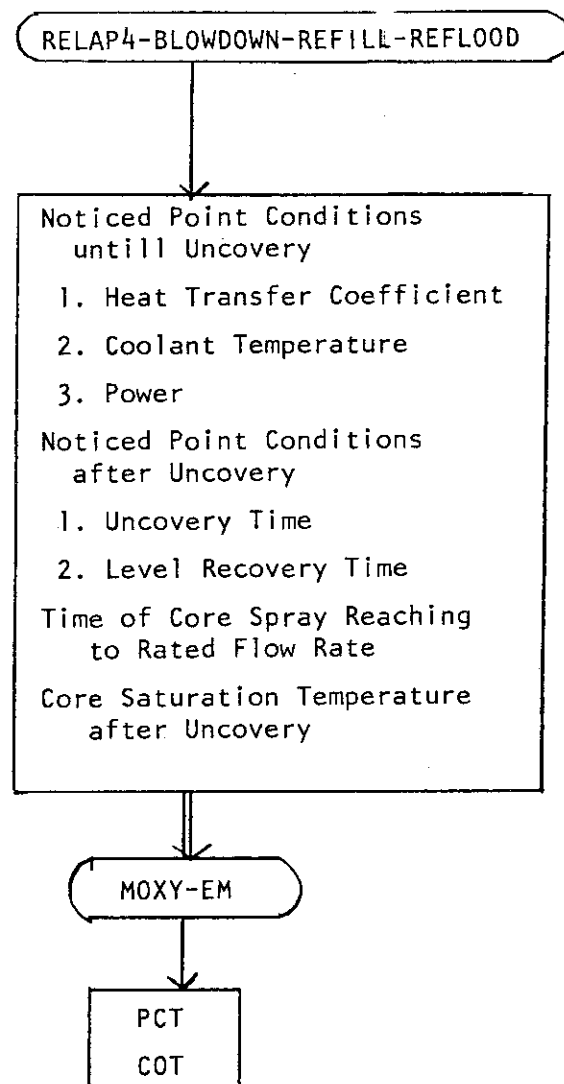


Fig. 2.3.8 Flow Chart of Analysis of BWR Small Break LOCA by Using WREM-J2

3. WREM-J2のための改良・修正

WREM-J2 コード・システムを構成するコードのうち TOBUNRAD, RELAP 4/MOD6 /U4/J3, RELAP/REFLA, RELAP 4-EM/SUS, および TOODEE 2/SUS についての報告はそれぞれ独立に JAERI - M レポートとして公刊済みか, 又は刊行予定である。そのためここでは独立に公刊の予定はないが重要と思われる WREM-J2 コード・システムのための改良点を記述する。

3.1 RELAP 4 の改良

3.1.1 気泡離脱モデルの改良

3.1.1.1 はじめに

RELAP 4/MOD 5 の気泡離脱モデルでは, 気泡離脱速度は入力で一定値を与える形式をとっており, その値は経験的に 3ft/sec が適当とされている。しかし, 気泡離脱速度を Wilson の相関式²⁷⁾から求めた方がより実験に近いことが実験解析でわかっている。小破断解析では, 水位が大きな役割をしめるのでより適切に水位を計算するために, RELAP 4/MOD 5 に Wilson の相関式を組み込むことにした。

3.1.1.2 改造の内容

i) 入力に関する内容

Wilson の相関式により気泡離脱速度を求めるオプションは, ボリュームデータの IBUB を負にすることによって指定し, 気泡密度勾配は, バブルデータの |IBUB| 番目のデータで指定するように変更した。

ii) Wilson の相関式による気泡離脱速度の計算

Wilson の相関式を以下に示す。

$$\alpha = C_1 \left(\frac{\rho_g}{\rho_f - \rho_g} \right)^{0.32} \left(\frac{\sqrt{\frac{\sigma}{\rho_f - \rho_g}}}{d} \right)^{0.19} \left(\frac{V_{BUB}}{g \sqrt{\frac{\sigma}{\rho_f - \rho_g}}} \right)^{0.5} C_2$$

..... (3.1.1)

V_{BUB} : 気泡離脱速度 (ft/sec)

α : 気液混合相のボイド率

ρ_f : 液相密度 (lb_m/ft³)

ρ_g : 気相密度 (lb_m/ft³)

d : 热水力学的等価直径 (ft)

σ : 表面張力 (lb_f/ft³)

g : 重力加速度 (ft/sec^2)

α

$$\left. \begin{array}{l} C_1 = 0.136 \\ C_2 = 1.78 \end{array} \right\} \text{ただし } \overline{\left(\frac{\rho_g}{\rho_f - \rho_g} \right)^{0.32} \left(\sqrt{\frac{\sigma}{\frac{\rho_f - \rho_g}{d}}} \right)^{0.19}} \leq 28408$$

$$\left. \begin{array}{l} C_1 = 0.75 \\ C_2 = 0.78 \end{array} \right\} \text{ただし } \text{同上} \leq 28408$$

$$\sigma = 1.2 \times 10^{-5} \cdot (500 - 0.707 T_{\text{sat}}) \text{ lb/ft}$$

T_{sat} : 鮎和温度 ($^{\circ}\text{F}$)

以上より、気泡離脱速度 : V_{BUB} を求めるには、

$\alpha, \rho_f, \rho_g, d, T_{\text{sat}}$

が必要であり、式は比較的単純であるから、新たに以下に示すようなサブルーチンを作成した。

FUNCTION WLSNV (I, X, VF, VG, TSAT, DEQV)

X : 気液混合相クオリティ

VF : 液相比容積 (ft^3/lb)

VG : 気相比容積 (ft^3/lb)

TSAT : 鮎和温度 ($^{\circ}\text{F}$)

DEQV : 水力学的等価直径 (ft)

I : ボリューム番号

iii) 気泡離脱速度計算の Implicit 化

ii) の (3.1.1) 式で示したように、 V_{BUB} は α の依存性が強く、気液混合相より気泡が離脱したときの前後の V_{BUB} の変化は大きい。したがって、気泡離脱の式を V_{BUB} に関して Implicit に取り扱うほうが計算が安定する。気泡離脱の式は次のとおりである。

$$\dot{M}_B = \dot{M}_S - \sum_j \phi_j V_j W_j - A \rho_{\text{top}} V_{\text{BUB}} \quad \dots \quad (3.1.2)$$

M_B : 気液混合相内の気泡質量 (lb)

M_S : ボリューム内の全蒸気量 (lb)

ϕ_j : ボリューム内の蒸気相部に出入するジャンクションの流れのうち蒸気の占める割合。

X_j : ジャンクションクオリティ

W_j : ジャンクション流量 (lb/sec)

A : ボリュームの水平断面積 (ft^2)

ρ_{top} : 気液混合相表面の気泡密度 (lb/ft^3)

V_{BUB} : 気泡離脱速度 (lb/sec)

(3.1.2) 式を Implicit に差分化すると

$$\begin{aligned}
 & \frac{M_B(t + \Delta t) - M_B(t)}{\Delta t} \\
 &= \frac{M_S(t + \Delta t) - M_S(t)}{\Delta t} - \sum_j \phi_j(t + \Delta t) X_j(t + \Delta t) W_j(t + \Delta t) \\
 &\quad - A_{\rho_{top}}(t + \Delta t) V_{BUB}(t + \Delta t) \quad \dots \dots \dots \quad (3.1.3)
 \end{aligned}$$

となる。上式において

$$\begin{aligned} M_B(t + \Delta t) &= M_B(t) + \Delta M_B \\ M_S(t + \Delta t) &= M_S(t) + \Delta M_S \\ \rho_{top}(t + \Delta t) &= \rho_{top}(t) + \Delta \rho_{top} = \rho_{top} + \Delta \rho_{top} \\ V_{BUB}(t + \Delta t) &= V_{BUB}(t) + \Delta V_{BUB} = V_{BUB} + \Delta V_{BUB} \\ W_j(t + \Delta t) &= W_j' \\ \phi_j(t + \Delta t) &= \phi_j' \\ X_j(t + \Delta t) &= X_j' \end{aligned}$$

とおく(3.1.3)式は次のようになる。

$$DM_B = \frac{dM_S}{dt} - \sum_j \phi'_j X'_j W'_j - A (\rho_{top} + d\rho_{top}) (V_{BUB} + dV_{BUB})$$

$$\doteq \frac{dM_S}{dt} - \sum_j \phi'_j X'_j W'_j - A \rho_{top} V_{BUB} - A (d\rho_{top} V_{BUB} + \rho_{top} dV_{BUB})$$

$$DM_B = \frac{dM_S}{dt} - \sum_j \phi'_j X'_j W'_j - A \rho_{top} V_{BUB} \text{とおくと}$$

$$\Delta M_B = DM_B \cdot \Delta t - \Delta t A (\Delta \rho_{top} V_{BUB} + \rho_{top} \Delta V_{BUB}) \quad \dots \dots \quad (3.1.4)$$

上式(3.1.4)において DM_B , V_{BUB} , ρ_{top} は既知である。

ρ_{top} は気液混合相のボイド率 $\bar{\alpha}$ および蒸気の密度 ρ_g を用いて次のように表わせる。

$$\rho_{top} = \rho_g (C_0 \bar{\alpha} + C_1)$$

上式を差分化して (Δt 間で ρ_g は一定とする。)

$$\Delta \rho_{top} = C_0 \rho_g \Delta \bar{\alpha} \quad \dots \dots \dots \quad (3.1.5)$$

また、気泡質量： M_B は次のように表わせる。

$$\Delta M_B = A Z_m \bar{\alpha} \rho_g$$

Z_m ：気液混合相水位

この差分は（ Δt 間で ρ_g は一定とする。）

$$\Delta M_B = A \rho_g (\Delta Z_m \bar{\alpha} + Z_m \Delta \bar{\alpha}) \quad (3.1.6)$$

さらに液相の体積は

$$V_1 = A Z_m (1 - \bar{\alpha})$$

これより

$$\begin{aligned} \Delta V_1 &= A \{ \Delta Z_m (1 - \bar{\alpha}) - Z_m \Delta \bar{\alpha} \} \\ \Delta Z_m &= \frac{1}{A (1 - \bar{\alpha})} (\Delta V_1 + Z_m A \Delta \bar{\alpha}) \quad (3.1.7) \\ &\quad (\Delta V_1 \text{ は既知}) \end{aligned}$$

(3.1.7)を(3.1.6)に代入して

$$\Delta \dot{M}_B = \frac{\rho_g}{1 - \bar{\alpha}} (\bar{\alpha} \Delta V_1 + A Z_m \Delta \bar{\alpha}) \quad (3.1.8)$$

(3.1.1)式より V_{BUB} は

$$V_{BUB} = N_0 \bar{\alpha}^{N_1}$$

と表わされ、これを差分すると

$$\Delta V_{BUB} = N_0 N_1 \Delta \bar{\alpha} \bar{\alpha}^{N_1-1} = \frac{N_1 \Delta \bar{\alpha}}{\bar{\alpha}} N_0 \bar{\alpha}^{N_1} = \frac{N_1 \Delta \bar{\alpha}}{\bar{\alpha}} V_{BUB} \quad (3.1.9)$$

(3.1.5), (3.1.8), (3.1.9)を(3.1.4)に代入すると

$$\begin{aligned} &\frac{\rho_g}{1 - \bar{\alpha}} (\bar{\alpha} \Delta V_1 + A Z_m \Delta \bar{\alpha}) \\ &= D M_B \Delta t - A \Delta t (C_0 \rho_g V_B \Delta \alpha + \rho_{top} \frac{\Delta \bar{\alpha}}{\bar{\alpha}} N_1 V_B) \\ &\Delta \alpha \left\{ \frac{A Z_m \rho_g}{1 - \bar{\alpha}} + A \Delta t V_B (C_0 \rho_g + \rho_{top} N_1 \frac{1}{\bar{\alpha}}) \right\} = D M_B \Delta t - \frac{\bar{\alpha} \rho_g}{1 - \bar{\alpha}} \Delta V_1 \\ &\{ \dots \} = K \text{として} \end{aligned}$$

$$\Delta \bar{\alpha} = \frac{1}{K} (D M_B \Delta t - \frac{\bar{\alpha} \rho_g}{1 - \bar{\alpha}} (\Delta V_1)) \quad (3.1.10)$$

(3.1.10)式より $\Delta \bar{\alpha}$ を求め、それを(3.1.8)に代入すれば ΔM_B が求まり、 $M_B(t + \Delta t)$ も求まる。

具体的には、サブルーチン“BAL”に(3.1.10.), (3.1.8.)を追加し、さらに $\bar{\alpha}(t)$, $M_B(t)$, $V_1(t)$ を記憶するための領域を新たに設けた。

IV) エディットおよびテープ出力に関する改良

V_{BUB} , $\bar{\alpha}$ をマイナーエディット, メジャーエディットおよびプロッタに出力できるように改良を行った。さらに、スリップジャンクションの液相, 気相の流速および流量に関しても、同様なことができるようにした。変更サブルーチンは EDIT, INEDIT, EDINED, EDEDIT, PLT-APE である。また V_{BUB} , $\bar{\alpha}$ を記憶する COMMON; BUBBLV をサブルーチン; BAL, EDIT, PLTAPE, に追加した。変更追加した変数は以下の通りである。

○削除した変数

FV : ジャンクション流速 (流路面積が時間依存のジャンクションのみ)

JK : ジャンクションの比運動エネルギー (流路面積が時間依存のジャンクションのみ)

○マイナーエディットとプロット出力のみ可能であったものを、テープユデエトも可能にした変数。

AM : 空気の質量 [lb]

PC : 燃料棒内圧 [psia]

TP : 燃料棒プレナムガス温度 [°F]

○新たに追加した変数

VB : 気泡離脱速度 [ft/sec]

MA : 気液混合相平均ボイド率

MX : 気液混合相平均クオリティ

LV : ジャンクション液相速度 [ft/sec]

GV : ジャンクション気相速度 [ft/sec]

LW : ジャンクション液相流量 [lb/sec]

GW : ジャンクション気相流量 [lb/sec]

V) 変速サブルーチン一覧

BAL	DATC	EDEDIT
EDINED	EDIT	INEDIT
INVOL	PLTAPE	PREW
VAPOR 1	WLSNV (新規作成)	

3.1.2 小破断解析のための改良

3.1.2.1 はじめに

PWR, BWR をとわず小破断解析においては、炉心水位が燃料棒温度を決める上で大きな役割を果たす。したがって水位計算をより適切に取扱う必要がある。ここで報告する内容は、小破断解析を行う過程で圧力容器内水位の変化の計算をより現実に近いものにするためと、垂直スリップジャンクションモデルをより矛盾の少ないものにするために行った RELAP 4/MOD 5 のプログラム修正と修正前、後の計算の比較である。修正したのは RELAP 4/MOD 5 と MOD 6 である。

3.1.2.2 プログラムの修正

i) 気泡離脱速度をWilsonの相関式で計算するための修正

前節参照

ii) スタッキングオプションを用いたときの水位計算の修正

オリジナルプログラムでは、次に示すような方法で水位が求められる。

まず気泡離脱モデルに基づき、各ボリュームの水位が他のボリューム条件と関係なく求められる（Fig. 3.1.1 参照）。この水位を ZM_i , ZM_k とする。スタッキングオプションを用いるとさらに次のような操作が行われる。

Fig. 3.1.1

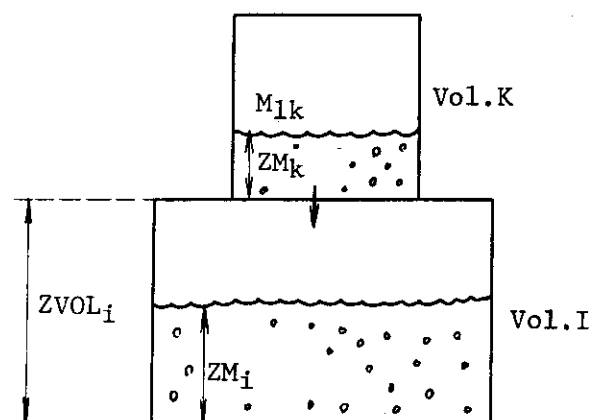


Fig. 3.1.1 Mixture Level Calculations in Stacked Volumes

$$Z' = \frac{2 M_{1k}}{\rho_i A_i}$$

 M_{1k} : ボリューム k 内の液相水の質量

$A_i = V_i / ZVOL_i$

 V_i : ボリューム I の体積 $ZVOL_i$: ボリューム I の高さ $\bar{\rho}_i$: ボリューム I の平均密度上式で求めた Z' より ZM'_i を再計算する。

$ZM_i \leq ZM'_i + Z' \leq ZJ_i \text{ なら } ZM'_i = ZM_i + Z'$

$ZJ_i \leq ZM_i + Z' \text{ なら } ZM'_i = ZJ_i$

さらに

$ZM'_i > ZVOL_i \text{ なら } ZM'_i = ZVOL_i$

新たに求められた水位 ZM'_i より、ボリューム I の気液混合相の状態を求める。

$MIXV_i = ZM'_i \cdot A_i$

 $MIXV_i$: ボリューム I 内の気泡混合相の体積

$$BUBM_i = M_{gi} - (V_i - M_i X V_i) / SATVG_i$$

M_{gi} : ボリューム I 内の蒸気量

$SATVG_i$: ボリューム I 内の飽和蒸気の比体積

$$MIXQ_i = BUBM_i / (BUBM_i + M_{li})$$

$MIXQ_i$: ボリューム I 内の気液混合相のクオリティ

以上がスタッキングオプションを用いたときのオリジナルプログラムの計算の流れである。この方法の問題点は炉心と下部プレナムのように、ボリュームの流路断面 (A_i) に大きな差がある場合、 $ZM_i < ZVOL_i$ となり、炉心、下部プレナムの両方に水位ができてしまう。

そこでこれをさけるために、スタッキングオプションを用いたときの計算を次のように修正した。

ボリューム k の水位が 0.05 ft 以上の場合、ボリューム I の水位 ZM_i は

$$ZM_i = ZVOL_i$$

として、 $MIXV_i$, $BUBM_i$, $MIXQ_i$ を求める。 $ZM_k < 0.05 \text{ ft}$ の場合は、何の操作も行わない。修正サブルーチンは “BAL” である。

iii) ジャンクションエンタルピの平滑化の修正

複数個のボリューム間で連続的な水位の変化を計算する場合、ボリューム k とボリューム I の間を水位がよぎるとき (Fig. 3.1.2 参照)，ジャンクション J のエンタルピが急変し、計算が不安定になる。これを避けるために、普通は、ボリューム I とボリューム k をオーバーラップしたノーディングにし、オーバーラップ部分でジャンクションエンタルピの平滑化を行う方法をとっている。小破断解析の場合、この方法を用いると、スタッキングオプションとの関係で水位の変化が物理的に妥当でない計算になる。

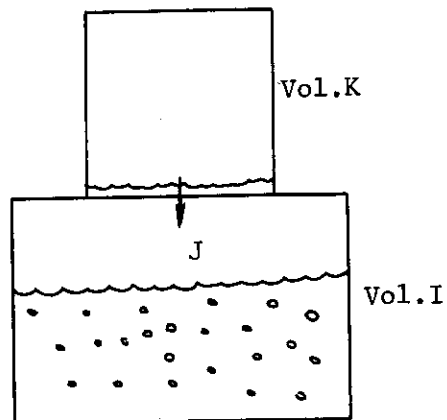


Fig. 3.1.2 Enthalpy Smoothing Calculation at Junction between Stacked Volumes

そこでジャンクションデータでDIAMJ(J)=0, J VERTL(J)=1を指定した場合, DIAMJ=0.05 ftと仮定してエンタルビの平滑化を行うように修正した修正サブルーチンは"BUBB"である。

iii) 垂直スリップジャクションのスリップ速度の計算の修正

オリジナルプログラムでは次のようにスリップ速度を求めている(Fig. 3.1.3参照)。

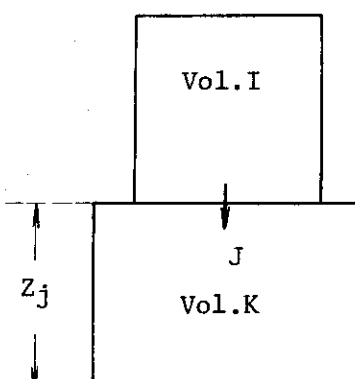


Fig. 3.1.3 Vertical Slip Velocity Calculation at Vertical Junction

$$\text{AVEVS} = \frac{\text{GASV}(I) + \text{GASV}(k)}{\text{GASM}(I) + \text{GASM}(k)}$$

$$\text{AVEVL} = \frac{\text{LIQV}(I) + \text{LIQV}(k)}{\text{LIQM}(I) + \text{LIQM}(k)}$$

$$\text{SUMMS} = \text{GASM}(I) + \text{GASM}(k) + \text{LIQM}(I) + \text{LIQM}(k)$$

$$\text{AVX} = \frac{\text{GASM}(I) + \text{GASM}(k)}{\text{SUMMS}}$$

$$\text{ALPHA} = \frac{\text{AVEVS} \cdot \text{AVX}}{\text{AVEVL}(I - \text{AVX}) + \text{AVEVS} \cdot \text{AVX}}$$

$$\text{ATOP} = \frac{\text{XTOP} \cdot \text{VS}(I)}{\text{VTOP}}$$

$$\text{ABOT} = \frac{\text{XBOT} \cdot \text{VS}(k)}{\text{VBOT}}$$

$$\text{VSLIP} = \{10. + 4.(\text{ABOT} - \text{ATOP})\} \cdot \text{ALPHA} \cdot (1. - \text{ALPHA})^{(1 - 1.25 \text{ALPHA})}$$

但し

GASV(I) : ボリューム I の蒸気相の体積

LIQV(I) : ボリューム I の液相相の体積

GASM(I) : ボリューム I の蒸気の質量

LIQM(I) : ボリューム I の液相の質量

AVEVS : ジャンクション J における蒸気相の平均比容積

AVEVL : ジャンクションJにおける液相の平均比容積
 AVX : ジャンクションJにおける平均クオリティ
 ALPHA : ジャンクションJにおける平均ボイド率
 XTOP : ジャンクションJの上方近傍におけるクオリティ
 XBOT : ジャンクションJの下方近傍におけるクオリティ
 VTOP : ジャンクションJの上方近傍における比容積
 VBDF : ジャンクションJの下方近傍における比容積
 VS(I) : ボリュームIの蒸気相の体積
 VSLIP : ジャンクションJにおけるスリップ速度

上に示したようにジャンクションの平均ボイド率 (ALPHA) として、上下のボリュームの平均値を用いている。これは上下のボリュームの状態が均一の場合は妥当と思われるが、ボリュームIに水位がある場合は不適当である。したがってVSLIPを計算しているサブルーチン "VSLP" を次のように修正した。

ITOP : 上方のボリューム番号
 IBOT : 下方のボリューム番号
 RTOP : ジャンクションJの上方近傍における密度
 RBOT : ジャンクションJの下方近傍における密度

$$\left\{ \begin{array}{l} \text{IF (GASM(ITOP), LE, ZERO, AND, GASM(IBOT), LE, ZERO) GO TO 250} \\ \text{IF (LIQM(ITOP), LE, ZERO, AND, LIQM(IBOT), LE, ZERO) GO TO 250} \end{array} \right.$$

↓

$$\left\{ \begin{array}{l} \text{IF (XTOP, LT, ZERO, AND, XBOT, LE, ZERO) GO TO 250} \\ \text{IF (XTOP, GE, ONE, AND, XBOT, GE, ONE) GO TO 250} \\ \text{IF (IAMBLLD(IBOT), EQ, ITOP, AND, XBOT, GE, ONE) GO TO 250} \end{array} \right.$$

↓

$$\left\{ \begin{array}{l} \text{AVEVS = (GASV(ITOP) + GASV(IBOT)) / (GASM(ITOP) + GASM(IBOT))} \\ \text{AVEVL = (LIQV(ITOP) + LIQV(IBOT)) / (LIQM(ITOP) + LIQM(IBOT))} \end{array} \right.$$

↓

$$\left\{ \begin{array}{l} \text{AVEVS = (XTOP * RTOP * VS(ITOP) + XBOT * RBOT * VS(IBOT))} \\ \quad / (XTOP * RTOP + XBOT * RBOT) \\ \text{AVEVL = ((ONE - XTOP) * RTOP * VL(ITOP) + (ONE - XBOT) * RBOT *} \\ \quad VL(IBOT)) / ((ONE - XTOP) * RTOP + (ONE - XBOT) * RBOT) \end{array} \right.$$

↓

$$\text{AVX = (GASM(ITOP) + GASM(IBOT))} \\ \quad / (GASM(ITOP) + GASM(IBOT) + LIQM(ITOP) + LIQM(IBOT))$$

↓

$$\text{AVX = (XTOP * RTOP + XBOT * RBOT) / (RTOP + RBOT)}$$

3.1.2.3 プログラム修正前後の計算結果の比較

BWR 小破断解析用の例題を計算した結果を示す。この例題は RELAP 4/MOD 5 のマニアルに記載されているものをベースに、圧力容器内ノード間のオーバーラッピングを消去するように変更したものである。計算結果の代表的なものとして炉心、上下プレナム、炉心バイパスの水位

を示した。なお Fig. 3.1.4～Fig. 3.1.7 は下部プレナムボリュームの底部の高さを基準にとり 4 つのノードの水位をひとつの図に示したものである。

まず Fig. 3.1.4 に示した水位はオリジナルプログラムで計算した結果である。Fig. 3.1.5 は Wilson の相関式を組み込みボリュームスタッキングオプションを修正したプログラムで計算した結果である。Fig. 3.1.6 はさらにジャンクションエンタルピの平滑化の方法に修正をほどこしたプログラムにより計算したものである。すなわち Fig. 3.1.7 が RELAP 4/MOD 5/U 2/J 1 によって計算されたものである。

3.1.3 F.P. 崩壊熱評価部分の改良

3.1.3.1 はじめに

従来日本における商用発電炉の ECCS 性能評価解析において F.P. 崩壊熱として PWR では ANS × 1.2, BWR では GE (平均) + 3 σ の値が使用されてきた。今後の BWR の解析においては GE (平均) + 3 σ の値を使用する必要がある。

RELAP 4 では F.P. 崩壊熱としては ANS の値のみしか使えないでの、GE (平均) + 3 σ を計算できるように RELAP 4 を改造することとした。

3.1.3.2 GE (平均) + 3 σ F.P. 崩壊熱データの作成

GE (平均) + 3 σ F.P. 崩壊熱データを作成するにあたっては NEDO-10625²⁸⁾ を参考とした。ガンマエネルギー放出率 E_γ は NEDO-10625 の Table A 3, ベータエネルギー放出率 E_β は Table B 2 を使用し、σ の値としては (D-1) の式

$$\sigma(t) = a_0 + a_1 \ln t + a_2 (\ln t)^2 + a_3 (\ln t)^3 + \dots + a_6 (\ln t)^6$$

a ₀ = 2.536421	a ₁ = -1.336117 × 10 ⁻¹
a ₂ = -1.0176138 × 10 ⁻⁶	a ₃ = 2.706715 × 10 ⁻²
a ₄ = -1.979826 × 10 ⁻³	a ₅ = 1.662131 × 10 ⁻⁵
a ₆ = -2.067698 × 10 ⁻⁶	

を使用して

$$GE(\text{平均}) + 3 \sigma = (E_\gamma + E_\beta) (1 + 3 \sigma / 100)$$

によって計算される。

Table 3.1.2 の第 2 列、第 3 列にそれぞれ E_γ , E_β を第 4 列には $(E_\gamma + E_\beta)$ を示してある。第 5 列には (D-1) により計算された σ の値を、そして最後の列には GE (平均) + 3 σ の値を表示する。また参考のため第 6 列、第 7 列にそれぞれ GE (平均) + σ, GE (平均) + 2 σ の値を表示してある。

注) NEDO-10625 の Appendix C で与えられている実験の平均値は F.P. 崩壊熱にアクチニド崩壊熱を加えたものである。従って NEDO-10625 で与えられている GE (平均) + 2 σ の値はアクチニド崩壊熱の寄与も含むものである。

3.1.3.3 GE (平均) + 3 σ F.P. 崩壊熱データの指數関数の和によるフィッティング。

RELAP 4 は ANS の F.P. 崩壊熱データを下式のような 11 群の指數関数の和でフィッティングしている。

$$P_{fp}(t) = \sum_{j=1}^{11} E_j e^{-\lambda_j t} \quad \dots \quad (3.1.3.1)$$

したがって GE + 3 σ の E.P. 崩壊熱データも、複数の指数関数の和でフィッティングすることにした。この方法を用いれば、プログラムの修正は容易である。

3.1 カーブフィッティングの方法

データ点は 0.1 秒～ 3×10^6 秒の間の 66 点であるが、0.1 秒の値が 0.2 秒の値より小さいので 0.1 秒のデータは除外し、計 65 点のデータについてカーブフィッティングを試みた。カーブフィッティングは、JSSL の FITGS を用いて行った。

◎ 手順

① 65 点のデータを 11 群にわけた。時間の大きいほうから順に 1 群、2 群、… 11 群とし、1～10 群に含まれるデータ数は 60 点、11 群は 5 点とする。

② 1 群、2 群のデータに対して $E_1, E_2, \lambda_1, \lambda_2$ に適当な初期値を与える $E_1, E_2, \lambda_1, \lambda_2$ の最適値を求める。

③、②のデータに 3 群のデータを加え、 $E_1, E_2, \lambda_1, \lambda_2$ は②で求めた値に固定して、 E_3, λ_3 の最適値を求める。

④、③で求めた E_3, λ_3 および②で求めた $E_1, E_2, \lambda_1, \lambda_2$ を初期値として、 $E_1 \sim E_3, \lambda_1 \sim \lambda_3$ の最適値を求める。

⑤、③のデータに 4 群を加え、 $E_1 \sim E_3, \lambda_1 \sim \lambda_3$ は④で求めた値に固定して、 E_4, λ_4 の最適値を求める。

⑥、⑤で求めた E_4, λ_4 および④で求めた $E_1 \sim E_3, \lambda_1 \sim \lambda_3$ を初期値として $E_1 \sim E_4, \lambda_1 \sim \lambda_4$ の最適値を求める。

⑦ 以上の手順で 1～9 群のデータに対して $E_1 \sim E_9, \lambda_1 \sim \lambda_9$ を求め、さらに 10 群のデータを追加して E_{10}, λ_{10} を求めようとしたが計算が発散してしまうため、全データに対して、1～9 群のデータに関して求めた $E_1 \sim E_9, \lambda_1 \sim \lambda_9$ を初期値として新たに $E_1 \sim E_9, \lambda_1 \sim \lambda_9$ を求め、9 個の指数関数の和でフィッティングすることにした。

このようにして求められた E_j, λ_j を Table 3.1.3 に示し、Table 3.1.4 にデータと計算値の比較を示す。0.1～10000 秒の期間で 0.2 % の精度で一致している。

3.1.3.4 プログラムの修正と使用方法

プログラム修正は、RELAP 4/MOD 3, RELAP 4/MOD 5, RELAP 4/MOD 6 について行った。

1)

オリジナル RELAP 4 には、炉心出力計算に関して 5 つのオプションが指定できるが、今回の修正では、さらに 2 つオプションを追加する形で GE + 3 σ での出力計算が可能になるようにした。追加したオプションは以下の通りである。

NODEL = 4

核分裂 + F.P. (GE + 3 σ)

NODEL = 5

核分裂 + F.P. (GE + 3 σ) + アクチニド

注) NODEL とは RELAP 4 の入力データのうち、カード番号 140000において、出力計算のオプションを指定する変数である。詳細は各 RELAP 4 のバージョンのマニュアルを参照のこと。

修正サブルーチンは、INRKENのみであり、具体的な修正個所は Table. 3.1.5 の下線をほどこした部分である。修正内容は、NODEL に 4 あるいは 5 が入力された場合、オリジナルプログラム内の E_j , λ_j の値を Table 3.1.3 の値に置きかえるものである。ただし、 $E_{i_0} \cdot E_{i_1}$ は $E_{i_0} = E_{i_1} = 0.0$ とし、 λ_{i_0} , λ_{i_1} はオリジナルプログラムの値のままである。

ii) 使用方法

Table 3.1.6 に炉心出力計算のオプションの一覧表を示す。F.P. の崩壊熱を GE + 3 σ で計算する場合は

NODEL = 4 または 5

KMUL = 0

とすればよい。

NODEL = 4 または 5 として、KMUL も 0 とすると、入力のチェックでエラー終了するようにしたのは、GE + 3 σ の値をさらに 1.2 倍にすることは意味がないからである。

4.3 チェック計算

(1) Fig. 3.1.8 に大破断ケースに対応する反応度の時間変化を入力データとして、(a)核分裂のみ、(b)核分裂 + [GE + 3 σ], (c)核分裂 + [GE + 3 σ] + アクチニド崩壊熱の 4 つのケースの規格化出力の計算値を示す。ケース(b)で 100 秒以降では Table 3.1.4 の [GE + 3 σ] の値とよく一致しており、またケース(c)では(b)の値にアクチニド崩壊熱の寄与として約 0.3 % を加えた値になっている。

(2) Fig. 3.1.9 に小破断ケースに対応する反応度の時間変化を入力データとして、核分裂 + [GE + 3 σ] + アクチニド崩壊熱で計算した規格化出力を示す(ケース(e))。この場合は 0 ~ 5 秒の間は反応度が 0 から -0.1 まで変化するので規格化出力もゆっくりと減少し、10 秒で急激に負の反応度を挿入するので出力も急減する。

(3) Fig. 3.1.10 にケース(f)とケース(g)を示す。ケース(g)の反応度の変化はケース(f)よりも 100 秒だけ遅らせている。すなわちケース(g)では 100 秒まで反応度は 0.0 である。ケース(g)の規格化出力は(f)の計算値よりも 100 秒だけずれた値になるはずであり、実際の計算でもそうなる。

3.1.3.5 ANS × 1.2 と GE + 3 σ を使用した場合の計算の比較

Fig. 3.1.11 に PWR の NRC 標準問題を用いて、F.P. 崩壊熱として ANS × 1.2 を使用した場合と GE + 3 σ を使用した場合の比較をホットチャンネル平均出力燃料棒表面温度について行っている。7.4 秒近傍の第 1 ピークでは 24.5 °F, バイパス終了時(25 秒)で 25.5 °F だけ GE + 3 σ を使用した方が低くなっている。

Table 3.1.1-(1) List of Modified and Added Statements for Improving Bubble Rise Model in RELAP4

ISN	ST-NO	SOURCE PROGRAM	SEQUENCE
1		SUBROUTINE BAL (NVOL,NJUN,NSLB,NCOR,IPROGM,IEMHT,IEMPS,IEMEC,	BAL00010
	1	DT,STDATA)	BAL00020
2		IMPLICIT REAL*8 (A-H,O-Z)	BAL00030
		↓	
42	C	COMMON / BUBLV / BUBV(75), AMIX(75)	BAL03290
43	C	DIMENSION BUBOLD(75),L1QOLD(75)	BAL03300 追加
44	C	REAL*8 L1QOLD	BAL03310
45	C	COMMON / COEF / C1(75), CV(75)	BAL03320 追加
	C		BAL03325 :
	C		BAL03330 :
	C		BAL03340 追加
	C		BAL03350
		↓	
59	C	DO 5 I=1,NVOL	BAL03560
60	C	BUBOLD(I) = BUBM(I)	BAL03570 追加
61	C	L1QOLD(I) = L1QV(I)	BAL03580
62	C	IF(TIMEX .GT.ZERO) GO TO 5	BAL03590 追加
63	C	IF(BUB(I) .GE.0) GO TO 5	BAL03595 :
64	C	IF(MIXQ(I).EQ.ZERO) GO TO 6	BAL03600
65	C	IF(MIXQ(I).EQ.ONE) GO TO 7	BAL03605 追加
66	C	AMIX(I) = BUBM(I)*VS(I)/(BUBM(I)*VS(I) + L1QV(I))	BAL03610 :
67	C	BUBV(I) = WLSNV(I,MIXQ(I),VL(I),VS(I),SATT(I),DIAMV(I))	BAL03620 :
68	C	GO TO 5	BAL03630 :
69	C	6 AMIX(I) = ZERO	BAL03640
70	C	GO TO 5	BAL03650 追加
71	C	7 AMIX(I) = ONE	BAL03660 :
72	C	5 CONTINUE	BAL03670 :
	C		BAL03680
	C		BAL03690 :
	C		BAL03700 追加
	C		BAL03715 :
	C		BAL03716
	C		BAL03717 追加
	C		BAL03720
	C		BAL03730 追加

Table 3.1.1-(2)

	C	IF BUBBLE RISE VELOCITY IS ZERO, ALL GAS IS IN BUBBLES	BAL05800
	C	K = BUB(I) + 1	BAL05810
238	C	K = ABS(1BUB(I)) + 1	BAL05820 变更
239	C	IF (VBUB(K)) 410,410,405	BAL05830
240	405	IF (WVBAR(I)*3600,-FLOWA(I)*2000000,) 420,420,410	BAL05840
241	410	BUBM(I) = GASM(I)	BAL05850
242	C	MIXQ(I) = AVEX(I)	BAL05860
243	C	MIXV(I) = V(I)	BAL05870
244	C	ZM(I) = ZVOL(I)	BAL05880
245	C	AMIX(I) = BUBM(I) * SATVG(I) / MIXV(I)	BAL05890
246	C	GO TO 640	BAL05895 追加
	C		BAL05900
	C		BAL05910
	C		BAL05920
247	420	IF (IREAD(I)) 440,430,440	BAL05930
	C		BAL05940
	C		BAL05950
	C		BAL05960
248	430	CONTINUE	BAL05970 追加
	C		BAL05980
249	C	IF (BUB(I) .GE.0) GO TO 435	BAL05990 追加
250	C	BUBCHK = WLSNV(I,MIXQ(I),VL(I),VS(I),SATT(I),DIAMV(I))	BAL06000
251	C	IF (BUBCHK.GT.ONE .AND. BUBCHK.LT.TEN) GO TO 432	BAL06001
252	C	BUBV(I) = BUBCHK	BAL06002
253	C	GO TO 436	BAL06003
	C		BAL06010
254	432	CONTINUE	BAL06015 追加
255	C	DBM = (GASM(I)+BUBM(I)-BUBOLD(I))/AC(I) = RGBT(I)*BUBV(I)*DT	BAL06020
256	C	DVL = L1QV(I) - L1QOLD(I)	BAL06021
257	C	AAA = DBM - AMIX(I)*DVL/(VS(I)*AC(I)*(ONE - AMIX(I)))	BAL06022
258	C	DAMIX = AAA/(ZM(I))/(ONE - AMIX(I))/VS(I) + DT*BUBV(I)*	BAL06030
	C	1 (C1(I) + RGBT(I)*CV(I)/AMIX(I))	BAL06040
259	C	BUBM(I) = BUBOLD(I) + (AC(I)*ZM(I)*DAMIX + AMIX(I)*DVL)	BAL06050
	C	1 /(VS(I)*(ONE - AMIX(I)))	BAL06055
260	C	GO TO 437	BAL06060
	C		BAL06070
261	430	BUBM(I) = BUBM(I) + GASM(I) - DT*VBUB(K)*RGBT(I)*AC(I)	BAL06140
262	435	BUBV(I) = VBUB(K)	BAL06150 变更
263	436	BUBM(I) = BUBM(I) + GASM(I) - DT*BUBV(I)*RGBT(I)*AC(I)	BAL06160
264	437	CONTINUE	BAL06170
	C	IF (ARMASS(I) .GT. ZERO) BUBM(I) = ZERO	BAL06180

Table 3.1.1-(3)

```

265     BUBM(I) = DMAX1(ZERO,DMIN1(GASM(I),BUBM(I)))      BAL06190
266     MIX0(I) = BUBM(I) / (BUBM(I)+L1QM(I))            BAL06200
267     MIXV(I) = L1QV(I) + BUBM(I)*SATVG(I)             BAL06210
268     AMIX(I) = BUBM(I)*SATVG(I)/MIXV(I)              BAL06220 追加
269     IF(1BUB(I),LT.0)                                BAL06230
270     1BUBV(I) = WLSNV(I,MIX0(I),VL(I),VS(I),SATT(I),DAMV(I))  BAL06240
271     ZM(I) = MIXV(I) / A(I)                          BAL06250
272     IF(ZM(I) *1.0000001D0 .GT. ZVOL(I)) ZM(I) = ZVOL(I)  BAL06260
273     GO TO 640                                         BAL06270
C
C     MIXTURE LEVEL KNOWN FROM CARDS OR TAPE
273     440 IF(ZM(I)=ZVOL(I)) 450 450,940                BAL06280
274     450 MIXV(I) = ZM(I) * A(I)                      BAL06290
275     BUBM(I) = GASM(I) - (V(I)-MIXV(I))/SATVG(I)       BAL06300
276     BUBM(I) = DMAX1(BUBM(I),ZERO)                   BAL06310
277     MIX0(I) = BUBM(I) / (BUBM(I)+L1QM(I))           BAL06320
278     AMIX_(I) = BUBM(I) * SATVG(I) / MIXV(I)          BAL06330
C
C     CHECK FOR POSSIBLE SLIP FLOW ADJUSTMENTS
283     700 DO 750 I= 1, NVOL                            BAL06340
C     K = 1BUB(I) + 1                                     BAL06350
284     K = IA6S(1BUB(I)) + 1                           BAL06440  变更
285     IF(VBUB(K),LE,ZERO) GO TO 750                  BAL06450
286     IF(PHASE(I),NE,2) GO TO 750                    BAL06460
287     K = IAMBL0(I)                                 BAL06470
288     IF(K,LE,0) GO TO 750                           BAL06480
289     IF(L1QM(K),LE,ZERO) GO TO 750                  BAL06490
C

```

Table 3.1.1-(4)

ISN	ST-NO	SOURCE PROGRAM	SEQUENCE
1		SUBROUTINE VAPOR1()	VAP00010
2		IMPLICIT REAL*8 (A-H,O-Z)	VAP00020
C		SUBROUTINE TO SET UP SLOPE AND INTERCEPT FOR CALC. OF PARTIAL	VAP00030
C		DENSITIES OF GAS BUBLES AND MIXTURE TO BE USED IN BUBL1.	VAP00040
C		RETURNS ALSO PARTIAL DENSITY OF BUBLES AT SURFACE	VAP00050
C			
7		COMMON / COEF / C1(75), CV(75)	VAP00390
C			VAP00392 追加
8		DATA ZERO, HALF, ONE, TWO / 0.00, 0.500, 1.00, 2.00 /	VAP00394
C			VAP00398
C		TWO PHASE MIXTURE	VAP00500
C		30 K = 1BUB(J) + 1	VAP00510
17		30 K = IA6S(1BUB(J)) + 1	VAP00520
18		VM = L1QM(J)*VL(J) + BUBM(J)*VS(J)	VAP00525 变更
19		G = BUBM(J) / VM	VAP00530
20		GT = (BUBM(J)+L1QM(J)) / VM	VAP00540
21		IF(G*VS(J)-HALF) 40,40,50	VAP00550
22		40 C = ALPH(K) * G	VAP00560
23		D = ALPH(K) * (GT-ONE/VM)	VAP00570
24		C1(J) = (ONE + ALPH(K))/VS(J)	VAP00580
25		GO TO 60	VAP00585 追加
26		50 C = ALPH(K) * (ONE/VS(J)-G)	VAP00590
27		D = ALPH(K) * (ONE/VS(J)-GT)	VAP00600
28		C1(J) = (ONE - ALPH(K))/VS(J)	VAP00610
29		60 A1(J) = TWO * C	VAP00615 追加
30		B(J) = G - C	VAP00620
31		E(J) = TWO * D	VAP00630
32		F(J) = GT - D	VAP00640
33		GO TO 80	VAP00650
			VAP00660

Table 3.1.1-(5)

ISN	ST-NO	SOURCE PROGRAM	SEQUENCE
1		FUNCTION WLSNV (I , X , VF , VG , TSAT , DEQV)	00000010 新規作成
2		IMPLICIT REAL*8 (A-H,O-Z)	00000020
C		THIS FUNCTION SUBROUTINE CALCULATES BUBBLE RISE VELOCITY USING	00000030
C		WILSON CORRELATION	00000040 ↓
C	I	= VOLUME INDEX	00000050
C	X	= MIXTURE QUALITY	00000060
C	VF	= LIQUID SPHECIFIC VOLUME AT SATURATION TEMP (FT3/LB)	00000070
C	VG	= VAPOR SPHECIFIC VOLUME AT SATURATION TEMP (FT3/LB)	00000080
C	TSAT	= SATURATION TEMPERATURE (F)	00000090
C	DEQV	= EQUIVALENT DIAMETER OF FLOW AREA (FT)	00000100
C	WLSNV	= BUBBLE RISE VELOCITY (FT/SEC)	00000110
C			00000120
3		DIMENSION C1(2) , C2(2)	00000130
C			00000140
4		COMMON / XUNITS / A , B , C , D , E , F , G , H , O , P , Q , R	00000150
C	G	= GRAVITY ACCELERATION CONST (FT/SEC2)	00000160
C			00000170
5		COMMON / COEF / CO(75) , CV(75)	00000180
C			00000190
6		DATA C1 , C2 / ,136D0 , ,75D0 , ,1.78D0 , ,78D0 /	00000200
7		DATA F1 , F2 / ,32D0 , ,19D0 /	00000210
8		DATA V1 , V2 , V3 / 12.D-6 , ,5.0D2 , ,707D0 /	00000220
9		DATA ONE , TEN / 1.0D0 , ,10.0D0 /	00000230
1		1 ,BNDRY / 2.8408525982427667D0 /	00000240
C			00000250
C	ALPHA	= VOID FRACTION IN MIXTURE	00000260
C	RHOF	= LIQUID DENSITY (LB/FT3)	00000270
C	RHOG	= VAPOR DENSITY (LB/FT3)	00000280
C	SIGMA	= BUBBLE SURFACE TENSIN (LBF/FT)	00000290
C			00000300
			00000310
			00000320
			00000330

Table 3.1.1-(6)

10		ALPHA = X * VG / (X * VG + (ONE - X) * VF)	00000340
11		RHOF = ONE / VF	00000350
12		RHOG = ONE / VG	00000360
13		SIGMA = V1 * (V2 - V3 * TSAT)	00000370
C			00000380
14	A0	= DSQRT (SIGMA / (RHOF - RHOG))	00000390
15	A1	= (RHOG / (RHOF - RHOG)) ** F1	00000400
16	A2	= (A0 / DEQV) ** F2	00000410
C			00000420
17	AAA	= ALPHA / A1 / A2	00000430
C			00000440
18	IRGN	= 1	00000450
19	IF	(AAA , GT , BNDRY) , IRGN = 2	00000460
C			00000470
20	CV(1)	= ONE / C2(IRGN)	00000480
21	WLSNV	= (AAA / C1(IRGN)) ** CV(1) * DSQRT (G * A0)	00000490
C			00000500
22	IF	(WLSNV , LT , ONE) , WLSNV = ONE	00000510
23	IF	(WLSNV , GT , TEN) , WLSNV = TEN	00000520
C			00000530
24	RETURN		00000540
25	END		00000550

Table 3.1.2-(1) A Sample Input Data for RELAP/REFLA Plotter Program (Case 1)

TIME	Ξ_γ	Ξ_β	Σ_{SGM}	$\Sigma_{\text{SGM} + \text{SGH}}$	Σ_{SGH}	$\Sigma_{\text{SGH} + 3\text{SGM}}$
0.10	3.3360000E-02	3.5000000E-02	6.9159999E-02	1.9176863E+00	7.0486272E-02	7.1612544E-02
0.20	3.2990000E-02	3.5400000E-02	6.8390001E-02	2.3616012E+00	7.0005100E-02	7.1620198E-02
0.30	3.2690000E-02	3.5000000E-02	6.7690000E-02	2.4983437E+00	6.9381129E-02	7.1072258E-02
0.40	3.2430000E-02	3.4700000E-02	6.7129999E-02	2.5511824E+00	6.8842608E-02	7.0555218E-02
0.50	3.2180000E-02	3.4300000E-02	6.6480001E-02	2.4706689E+00	6.8188982E-02	7.0897963E-02
0.60	3.1960000E-02	3.3900000E-02	6.5860001E-02	2.3743761E+00	6.7553483E-02	7.0946493E-02
0.70	3.1740000E-02	3.3600000E-02	6.5339999E-02	2.3698109E+00	6.7019193E-02	7.0377460E-02
0.80	3.1540000E-02	3.3200000E-02	6.4740000E-02	2.3608629E+00	6.6397903E-02	6.8053803E-02
0.90	3.1350000E-02	3.2900000E-02	6.4250000E-02	2.5493369E+00	6.5887948E-02	6.7525897E-02
1.00	3.1170000E-02	3.2500000E-02	6.3670000E-02	2.5364210E+00	6.5284939E-02	6.6899879E-02
2.00	2.9710000E-02	2.9800000E-02	5.9510000E-02	2.4034768E+00	6.0940309E-02	6.2370618E-02
3.00	2.8650000E-02	2.7800000E-02	5.6450000E-02	2.2998492E+00	5.7748263E-02	5.9046530E-02
4.00	2.7620000E-02	2.6300000E-02	5.4120000E-02	2.2203294E+00	5.2321751E-02	5.6523202E-02
5.00	2.7130000E-02	2.5100000E-02	5.2230000E-02	2.1575618E+00	5.3356895E-02	5.4483790E-02
6.00	2.6950000E-02	2.4100000E-02	5.0650001E-02	2.1059934E+00	5.1716686E-02	5.2783372E-02
7.00	2.6040000E-02	2.3300000E-02	4.9340000E-02	2.0627269E+00	5.0357750E-02	5.1375499E-02
8.00	2.5600000E-02	2.2700000E-02	4.8300000E-02	2.0257334E+00	4.9278429E-02	5.0256859E-02
9.00	2.5200000E-02	2.2100000E-02	4.7300001E-02	1.9936234E+00	4.8242984E-02	4.9185968E-02
10.00	2.4840000E-02	2.1600000E-02	4.6440001E-02	1.9634088E+00	4.7392737E-02	4.8265472E-02
20.00	2.2420000E-02	1.8400000E-02	4.0820000E-02	1.7966557E+00	4.1933395E-02	4.2266769E-02
30.00	2.1000000E-02	1.6800000E-02	3.7800000E-02	1.7155846E+00	3.8448491E-02	3.9096982E-02
40.00	2.0020000E-02	1.5800000E-02	3.5620001E-02	1.6674526E+00	3.6417282E-02	3.7014564E-02
50.00	1.9260000E-02	1.5000000E-02	3.4260000E-02	1.6358171E+00	3.4820431E-02	3.5360862E-02
60.00	1.8630000E-02	1.4400000E-02	3.3050000E-02	1.6137958E+00	3.3583346E-02	3.4116692E-02

Table 3.1.2-(2)

TIME	GAMMA	BETA	EXPM	SGM	♦SGM	♦25GM	♦15GM
70.00	1.6130000E-02	1.3900000E-02	3.2030000E-02	1.5977829E+00	3.2541770E-02	3.3033340E-02	3.3565310E-02
80.00	1.7700000E-02	1.3500000E-02	3.1200000E-02	1.5839298E+00	3.1694610E-02	3.2189621E-02	3.2684430E-02
90.00	1.7310000E-02	1.3200000E-02	3.0510000E-02	1.5769960E+00	3.0991141E-02	3.1472262E-02	3.1953424E-02
100.00	1.6960000E-02	1.2900000E-02	2.9860000E-02	1.5702027E+00	3.0328863E-02	3.0797725E-02	3.1266588E-02
200.00	1.4830000E-02	1.1100000E-02	2.5930000E-02	1.5526264E+00	2.6532596E-02	2.6735192E-02	2.7137766E-02
300.00	1.3640000E-02	1.0100000E-02	2.3740000E-02	1.5624261E+00	2.4110920E-02	2.4481640E-02	2.4852776E-02
400.00	1.2630000E-02	9.4399999E-03	2.2270000E-02	1.5771611E+00	2.2621238E-02	2.2972477E-02	2.3323719E-02
500.00	1.2220000E-02	8.9600000E-03	2.1180000E-02	1.5925443E+00	2.1517301E-02	2.1854602E-02	2.2191903E-02
600.00	1.1740000E-02	8.5799999E-03	2.0320000E-02	1.6073498E+00	2.0646614E-02	2.0973227E-02	2.1299840E-02
700.00	1.1330000E-02	8.2600000E-03	1.9590000E-02	1.6212760E+00	1.9907609E-02	2.0225217E-02	2.0542825E-02
800.00	1.0990000E-02	7.9900001E-03	1.8960000E-02	1.6342793E+00	1.9290186E-02	1.9600373E-02	1.9910559E-02
900.00	1.0700000E-02	7.7599999E-03	1.8460000E-02	1.6463957E+00	1.8763924E-02	1.9067849E-02	1.9371774E-02
1000.00	1.0440000E-02	7.5600001E-03	1.8000000E-02	1.6576983E+00	1.8296386E-02	1.8596772E-02	1.8895157E-02
2000.00	8.8310000E-03	6.3200000E-03	1.5151000E-02	1.7399294E+00	1.5414617E-02	1.5670233E-02	1.5941050E-02
3000.00	7.9780000E-03	5.6799999E-03	1.3658000E-02	1.7913051E+00	1.3902656E-02	1.4147313E-02	1.4391969E-02
4000.00	7.4140000E-03	5.2500000E-03	1.2664000E-02	1.8278089E+00	1.2895474E-02	1.3126947E-02	1.3358421E-02
5000.00	7.0000000E-03	4.9400000E-03	1.1940000E-02	1.8557193E+00	1.2161573E-02	1.2383146E-02	1.2604719E-02
6000.00	6.6760000E-03	4.7100000E-03	1.1386000E-02	1.8780938E+00	1.1599840E-02	1.1813680E-02	1.2027519E-02
7000.00	6.4160000E-03	4.5100000E-03	1.0926000E-02	1.8966379E+00	1.1133227E-02	1.1340453E-02	1.1547680E-02
8000.00	6.1940000E-03	4.3499999E-03	1.0544000E-02	1.9123939E+00	1.0745643E-02	1.0947286E-02	1.1148928E-02
9000.00	6.0060000E-03	4.2200000E-03	1.0226000E-02	1.9260422E+00	1.0422957E-02	1.0619914E-02	1.0816871E-02
10000.00	5.8420000E-03	4.1000000E-03	9.9420000E-03	1.9380497E+00	1.0134681E-02	1.0327362E-02	1.0520043E-02
20000.00	4.6699999E-03	3.4100000E-03	8.2800000E-03	2.0128608E+00	8.4466648E-03	8.6133296E-03	8.7799947E-03
30000.00	4.3760000E-03	3.0700000E-03	7.4460000E-03	2.0544878E+00	7.6010593E-03	7.7541110E-03	7.9071664E-03

Table 3.1.2-(3)

TIME	GAMMA	BETA	EXPH	SGM	+SGM	+2SGM	-	+3SGM
40000.00	4.0590001E-03	2.6500000E-03	6.9090001E-03	2.0857942E+00	7.0531076E-03	7.1972151E-03	7.3413227E-03	
50000.00	3.6220000E-03	2.7000000E-03	6.5220001E-03	2.1111848E+00	6.6596916E-03	6.7973830E-03	6.9350745E-03	
60000.00	3.6470000E-03	2.5800000E-03	6.2270000E-03	2.1335081E+00	6.3598533E-03	6.4927072E-03	6.6255607E-03	
70000.00	3.5010000E-03	2.4800000E-03	5.9810000E-03	2.1526952E+00	6.1096245E-03	6.2386490E-03	6.3674735E-03	
80000.00	3.3780000E-03	2.3900000E-03	5.7680000E-03	2.1729626E+00	5.8933365E-03	6.0186730E-03	6.1440095E-03	
90000.00	3.2720000E-03	2.3200000E-03	5.5920001E-03	2.1920749E+00	5.7145250E-03	5.8370499E-03	5.9595748E-03	
100000.00	3.1790000E-03	2.2600000E-03	5.4390000E-03	2.2084636E+00	5.3591103E-03	5.6792366E-03	5.7993550E-03	
200000.00	2.6120000E-03	1.9100000E-03	4.5220000E-03	2.3620628E+00	4.6286124E-03	4.7356249E-03	4.8424375E-03	
300000.00	2.3040000E-03	1.7300000E-03	4.0340000E-03	2.4977317E+00	4.1347585E-03	4.2355170E-03	4.3362755E-03	
400000.00	2.0920000E-03	1.6300000E-03	3.7220000E-03	2.6233372E+00	3.8196406E-03	3.9172612E-03	4.0149218E-03	
500000.00	1.9310000E-03	1.5700000E-03	3.5010000E-03	2.7415309E+00	3.5969810E-03	3.6929620E-03	3.7809430E-03	
600000.00	1.8000000E-03	1.5000000E-03	3.3000000E-03	2.8537639E+00	3.3941743E-03	3.4883484E-03	3.5825227E-03	
700000.00	1.6910000E-03	1.4700000E-03	3.1610000E-03	2.9609934E+00	3.2545971E-03	3.3481942E-03	3.4417912E-03	
800000.00	1.5960000E-03	1.4200000E-03	3.0160000E-03	3.0639209E+00	3.1084078E-03	3.2008157E-03	3.2932236E-03	
900000.00	1.5130000E-03	1.3900000E-03	2.9030000E-03	3.1630729E+00	2.9946240E-03	3.0866480E-03	3.1784719E-03	
1000000.00	1.4400000E-03	1.3500000E-03	2.7900000E-03	3.2568711E+00	2.8809225E-03	2.9718450E-03	3.0627675E-03	
199999.99	1.0866000E-03	1.2050000E-03	2.2916000E-03	4.08669849E+00	2.3852573E-03	2.4789147E-03	2.5725720E-03	
299999.99	7.3320000E-04	1.0600000E-03	1.7932000E-03	4.7668198E+00	1.6786786E-03	1.9641572E-03	2.0496359E-03	

Table 3.1.3 E_j and λ_j for Each Group of Exponential to Represent GE+3 σ

j	E_j	λ_j
1	1.4293374×10^{-2}	4.0373598×10^{-1}
2	1.4585988×10^{-2}	9.3893368×10^{-2}
3	1.1817469×10^{-2}	2.2064827×10^{-2}
4	9.6641711×10^{-3}	4.5052452×10^{-3}
5	7.9248464×10^{-3}	8.9024215×10^{-4}
6	6.1252875×10^{-3}	1.7214156×10^{-4}
7	3.8903882×10^{-3}	2.9417218×10^{-5}
8	2.9009148×10^{-3}	4.1246905×10^{-6}
9	3.7342456×10^{-3}	1.9632666×10^{-7}

Table 3.1.6 List of Statements of Modified Subroutines

MODEL	KMUL	Fission	F.P.	Acti.
1	0	Yes	No	No
	#0	Yes	No	No
2	0	Yes	ANS \times 1.0	No
	#0	Yes	ANS \times 1.2	No
3	0	Yes	ANS \times 1.0	Yes
	#0	Yes	ANS \times 1.2	Yes
4	0	Yes	GE + 3 σ	No
	#0	Error stop		
5	0	Yes	GE + 3 σ	Yes
	#0	Error stop		

NODEL = -1, 0 ; See ref. 1), 15), 25)

GE + 3GMA CURVE FITTING

Table 3.1.4-(1) Fitting of GE+3G FP Decay Heat by Summation of Exponentials

I	WEIGHT	INDEPENDENT VARIABLE (T_{Time})	DEPENDENT VARIABLE ($GE + 3G^*$)	CALCULATED FUNCTION ($\frac{1}{1} \frac{1}{1} \frac{1}{1}$)	DEVIATION	ERROR(%)	STD. DEV. OF PREDICTED MEAN
1	1.0000000E+00	2.0000000E-01	7.3235299E-02	7.3494166E-02	-2.9886670E-04	0.353	3.2823022E-05
2	1.0000000E+00	3.0000000E-01	7.2763400E-02	7.2807578E-02	-4.4178218E-05	0.060	2.7491556E-05
3	1.0000000E+00	4.0000000E-01	7.22267801E-02	7.2142946E-02	1.2485497E-04	-0.172	2.3432618E-05
4	1.0000000E+00	5.0000000E-01	7.1606901E-02	7.1499435E-02	1.0746531E-04	-0.150	2.0729910E-05
5	1.0000000E+00	5.9999999E-01	7.0946500E-02	7.0876254E-02	7.0245937E-05	-0.099	1.9378073E-05
6	1.0000000E+00	7.0000000E-01	7.0377501E-02	7.0272636E-02	1.0486506E-04	-0.149	1.9195071E-05
7	1.0000000E+00	8.0000000E-01	6.9713701E-02	6.9687845E-02	2.5855377E-05	-0.037	1.9855354E-05
8	1.0000000E+00	9.0000001E-01	6.9163779E-02	6.9121175E-02	4.2624772E-05	-0.062	2.1013643E-05
9	1.0000000E+00	1.0000000E+00	6.8514800E-02	6.8571948E-02	-3.7147816E-05	0.083	2.2398347E-05
10	1.0000000E+00	2.0000000E+00	6.3800899E-02	6.3907372E-02	-1.0647252E-04	0.167	3.0944432E-05
11	1.0000000E+00	3.0000000E+00	6.0344800E-02	6.0408426E-02	-6.3625164E-05	0.105	2.9194014E-05
12	1.0000000E+00	4.0000000E+00	5.7725300E-02	5.7715556E-02	9.7444281E-06	-0.017	2.6334898E-05
13	1.0000000E+00	5.0000000E+00	5.5610700E-02	5.5586285E-02	2.4414621E-05	-0.044	2.5445212E-05
14	1.0000000E+00	6.0000000E+00	5.3850100E-02	5.38556540E-02	-6.4391643E-06	0.012	2.5446643E-05
15	1.0000000E+00	7.0000000E+00	5.2393200E-02	5.2414789E-02	-2.1588989E-05	0.041	2.5479879E-05
16	1.0000000E+00	8.0000000E+00	5.1235300E-02	5.1184766E-02	5.0533563E-05	-0.099	2.5900966E-05
17	1.0000000E+00	9.0000000E+00	5.0129000E-02	5.0113910E-02	1.5090220E-05	-0.030	2.7392338E-05
18	1.0000000E+00	1.0000000E+01	4.9178200E-02	4.9169636E-02	1.2563542E-05	-0.026	3.0137220E-05
19	1.0000000E+00	2.0000000E+01	4.3020200E-02	4.3079595E-02	-5.9395097E-05	0.138	4.6528201E-05
20	1.0000000E+00	3.0000000E+01	3.9745500E-02	3.9742163E-02	3.3369298E-06	-0.008	3.5937294E-05
21	1.0000000E+00	4.0000000E+01	3.7611800E-02	3.7551892E-02	5.9908256E-05	-0.159	3.5699401E-05
22	1.0000000E+00	5.0000000E+01	3.5941300E-02	3.5941130E-02	1.7043203E-07	0.000	3.1706287E-05
23	1.0000000E+00	6.0000000E+01	3.4650000E-02	3.4664797E-02	-1.4796853E-05	0.042	2.7446885E-05

Table 3.1.4-(2)

24	1.0000000E+00	7.0000000E+01	3.3565300E-02	3.3507227E-02	-4.1927211E-05	0.125	2.6959790E-05
25	1.0000000E+00	8.0000000E+01	3.2684400E-02	3.2707201E-02	-2.2801571E-05	0.070	2.8683075E-05
26	1.0000000E+00	9.0000000E+01	3.1953400E-02	3.1927897E-02	2.5503337E-05	-0.080	3.0811877E-05
27	1.0000000E+00	1.0000000E+02	3.1266600E-02	3.1264522E-02	2.2077933E-05	-0.071	3.3205994E-05
28	1.0000000E+00	2.0000000E+02	2.7137800E-02	2.7110757E-02	1.9042753E-05	-0.070	5.0670690E-05
29	1.0000000E+00	3.0000000E+02	2.4892800E-02	2.4889120E-02	-3.6320183E-05	0.146	3.5097664E-05
30	1.0000000E+00	4.0000000E+02	2.3923700E-02	2.3939142E-02	-1.54441794E-05	0.066	3.6049545E-05
31	1.0000000E+00	5.0000000E+02	2.2191900E-02	2.2176471E-02	1.5428755E-05	-0.070	3.2219193E-05
32	1.0000000E+00	6.0000000E+02	2.1299800E-02	2.1266861E-02	3.2939017E-05	-0.155	2.7294138E-05
33	1.0000000E+00	7.0000000E+02	2.0542800E-02	2.0329564E-02	1.3236422E-05	-0.064	2.6452214E-05
34	1.0000000E+00	8.0000000E+02	1.9910600E-02	1.9912802E-02	-2.2016466E-06	0.011	2.8531037E-05
35	1.0000000E+00	9.0000000E+02	1.9371800E-02	1.9382770E-02	-1.0769583E-05	0.057	3.1018371E-05
36	1.0000000F+00	1.0000000E+03	1.8895200E-02	1.8917129E-02	-2.1925196E-05	0.116	3.3207550E-05
37	1.0000000E+00	2.0000000E+03	1.5941900E-02	1.5956093E-02	-1.4192890E-05	0.089	4.7056944E-05
38	1.0000000E+00	3.0000000E+03	1.4392000E-02	1.4362136E-02	2.9864259E-03	-0.208	3.5893700E-05
39	1.0000000E+00	4.0000000E+03	1.3358400E-02	1.3345139E-02	1.3260869E-05	-0.099	3.4433815E-05
40	1.0000000E+00	5.0000000E+03	1.2604700E-02	1.2613136E-02	-8.4363855E-06	0.067	3.2977662E-05
41	1.0000000E+00	6.0000000E+03	1.2027500E-02	1.2039260E-02	-1.1760509E-05	0.098	2.8066077E-05
42	1.0000000E+00	7.0000000E+03	1.1547700E-02	1.1565148E-02	-1.7447630E-05	0.151	2.5653143E-05
43	1.0000000E+00	8.0000000E+03	1.1148900E-02	1.1161541E-02	-1.2641074E-05	0.113	2.712379E-05
44	1.0000000E+00	9.0000000E+03	1.0816900E-02	1.0811965E-02	4.9353112E-05	-0.046	3.1460596E-05
45	1.0000000E+00	1.0000000E+04	1.0520000E-02	1.0505891E-02	1.4109304E-05	-0.134	3.4684449E-05
46	1.0000000E+00	2.0000000E+04	8.7799900E-03	8.7467956E-03	3.3194199E-05	-0.378	4.3337631E-05
47	1.0000000E+00	3.0000000E+04	7.9071701E-03	7.9202217E-03	-1.3051555E-05	0.165	3.7496351E-05
48	1.0000000E+00	4.0000000E+04	7.3413200E-03	7.3703936E-03	-2.9073562E-05	0.396	3.0363815E-05

Table 3.1.4-(3)

49	1.0000000E+00	5.0000000E+04	6.9350700E-03	6.9529245E-03	-1.7654501E-03	0.257	2.9921634E-05
50	1.0000000E+00	6.0000000E+04	6.6253600E-03	6.6216090E-03	3.9910196E-06	-0.060	2.6727140E-05
51	1.0000000E+00	7.0000000E+04	6.3674700E-03	6.3529659E-03	1.4506164E-05	-0.228	2.6430913E-05
52	1.0000000E+00	8.0000000E+04	6.1440100E-03	6.1314198E-03	1.2590201E-05	-0.205	2.5876639E-05
53	1.0000000E+00	9.0000000E+04	5.9953699E-03	5.9456934E-03	1.3876590E-05	-0.232	2.8347301E-05
54	1.0000000E+00	1.0000000E+05	5.7993500E-03	5.7874073E-03	1.1942699E-05	-0.206	3.2653162E-05
55	1.0000000E+00	2.0000000E+05	4.8424400E-03	4.8726571E-03	-2.0217110E-05	0.624	4.0707166E-05
56	1.0000000E+00	3.0000000E+05	4.3362800E-03	4.3628879E-03	-2.6607886E-05	0.614	3.3345117E-05
57	1.0000000E+00	4.0000000E+05	4.0149200E-03	4.0094315E-03	5.4885168E-06	-0.137	3.2811217E-05
58	1.0000000E+00	5.0000000E+05	3.7889400E-03	3.7539653E-03	2.4974719E-05	-0.923	2.8656927E-05
59	1.0000000E+00	6.0000000E+05	3.5825200E-03	3.5634814E-03	1.9038562E-05	-0.531	2.4557680E-05
60	1.0000000E+00	7.0000000E+05	3.4417900E-03	3.4164159E-03	2.5374058E-05	-0.737	2.3990945E-05
61	1.0000000E+00	8.0000000E+05	3.2931200E-03	3.2985006E-03	-5.2805408E-06	0.160	2.6442723E-05
62	1.0000000E+00	9.0000000E+05	3.1784700E-03	3.2002826E-03	-2.1812564E-05	0.686	2.9634138E-05
63	1.0000000E+00	1.0000000E+06	3.0627700E-03	3.1154965E-03	-3.2726470E-05	1.017	3.2222477E-05
64	1.0000000E+00	2.0000000E+06	2.5725700E-03	2.5223555E-03	5.0214469E-05	-1.95	3.4095227E-05
65	1.0000000E+00	3.0000000E+06	2.0496400E-03	2.0721190E-03	-2.2478984E-05	1.096	5.2302330E-05

Table 3.1.5 Options to Calculate Decay Heat of FP and Actinides

ISN	ST-NO	SOURCE PROGRAM	SEQUENCE
1		SUBROUTINE INRKEN (NCOR,NSC,MAXCOR,MAXNSC,MAXTRP,MAXTBL,IN2,	00000010
1		1 ISPROG, LENGTH, DATA, FA, IA)	00000020
2		IMPLICIT REAL*8 (A-H,O-Z)	00000030
3		REAL*8 DATA(1),FA(1)	00000040
4		INTEGER IA(2+1)	00000050
5		DIMENSION LENGTH(1)	00000060
C		NCOR = NUMBER OF CORE REGIONS	00000080
C		NSC = NUMBER OF SCRAM CURVES	00000090
C		MAXCOR = MAXIMUM NUMBER OF CORE REGIONS	00000100
C		MAXNSC = MAXIMUM NUMBER OF SCRAM CURVES	00000110
C		MAXTRP = MAXIMUM TRIP TYPE	00000120
C		MAXTBL = MAXIMUM NUMBER OF ENTRIES TO TABLES	00000130
C		IN2 = FLAG TO SET UP OLD PLOT TAPE	00000140
C		LENGTH = COMMON BLOCK LENGTHS	00000150
C		COMMON / CORPOW / DPOW, FA(50), LAMBDA, MQ(50), PPOW, PROMPT,	00000170
1		1 QDMOD(50), QFRAC(50), GN(21), QPMOD(50), SE(50), TAU, TM(50),	00000180
2		2 TS(50), VW(50), ISLB(50), IVOL(50)	00000190
7		REAL*8 LAMBDA, MQ	00000200
C		PROMPT = FRACTION OF TOTAL POWER APPEARING AS PROMPT. DEFAULT=1.0	00000220
C		00000230	
8		COMMON / IREKIN / ALPHA(20), CONKIN(3), EGAM(14), FI(6),	00000240
10MAX, 0MIN		00000250	
C		00000260	
9		COMMON / RKENER / BOVL, DT, RHOIN, W1, UDUF, NODEL, KMUL	00000270
C		00000280	
C		BOVL = BETA / MEAN NEUTRON LIFETIME	00000290
C		DT = IREKIN TIME INTERVAL	00000300
C		RHOIN = INITIAL REACTIVITY	00000310
C		W1 = PERIOD AT PREVIOUS TIME STEP	00000320
C		NODEL = NUMBER OF DELAYED GROUPS	00000330
C		LE 0 = POWER VS TIME	00000340
C		GE 1 = REACTIVITY VS TIME	00000350
C		KMUL = MULTIPLYING FACTOR FOR DECAY ENERGY RELEASE RATES	00000360
C		EB 0 = 1.0 ANS RATES	00000370
C		NE 0 = 1.2 ANS RATES	00000380
C		UDUF = U-238 ATOMS CONSUMED PER U-235 ATOMS FISSIONED	00000390
C		THE DEFAULT VALUE IS 1.0	00000400
10		DIMENSION ALPHG(11), EGAMG(11)	00000401
11		DATA ALPHG/	00000402
*		-4.0373598D-1, -9.389336D-2, -2.2064827D-2, -4.5052452D-3,	00000403
*		-8.9024215D-4, -1.7214156D-4, -2.9417218D-5, -4.1246905D-6,	00000404
*		-1.9632656D-7, -2.9590000D-8, -0.7585000D-9/	00000405
12		DATA EGAMG/	00000406
*		1.4293374D-2, 1.4585988D-2, 1.1817469D-2, 9.6641711D-3,	00000407
*		7.4248464D-3, 6.1252875D-3, 3.8903882D-3, 2.9009148D-3,	00000408
*		3.7342456D-3, 0.0000000D+0, 0.0000000D+0/	00000409
C		00000410	
13		DIMENSION L3(11)	00000420
14		DATA L3 /140000,0,4,8,0,1,0,0,2,1,1/	00000430
C		00000440	
15		IF (NCOR.LE.0) GO TO 200	00000450
C		00000460	
C		WRITE PAGE HEADING	00000470
C		00000480	
C		READ KINETICS DATA	00000490
16		PROMPT = 1.0	00000500
17		L3(6) = 1	00000510
18		CALL INP2(DATA,FA,L3,IA)	00000520
19		IF (L3(6) .GT. 0) GO TO 101	00000530
20		CALL FAIL	00000540
21		GO TO 200	00000550
22	101	NODEL = IA(2,1)	00000560
23		KMUL=IA(2,2)	00000570
24		BOVL=FA(3)	00000580
25		RHOIN=FA(4)	00000590
26		UDUF=FA(5)	00000600
27		IF (NODEL.GT.1) PROMPT = EGAM(14)	00000610
28		IF (L3(6).GE.6, AND , FA(6).GT.0.0) PROMPT = FA(6)	00000620
29		WRITE (6,611) NODEL, BOVL,RHOIN,UDUF	00000630
30		IF (L3(6),LE,6) GO TO 50	00000640
31		LAMBDA = FA(7)	00000650

```

32      TAU = FA(8)                               00000660
33      WRITE (6, 630) LAMBDA, TAU               00000670
34      LAMBDA = LAMBDA/3600.0                  00000680
35 50    CONTINUE                                00000690
36 650   FORMAT (1HO,'FRACTION OF SURFACE HEAT FLUX UTILIZED IN PRODUCING 500000700
*SUBCOOLED VAPOR BUBBLES =', 1PE12.5/1HO,'VAPOR BUBBLE LIFETIME 000000710
* (SEC)                                         =',1PE12.5) 000000720
C     IF (NODEL.LT.(-1).OR.NODEL.GT.3) GO TO 120 00000730
37      IF (NODEL.LT.(-1).OR.NODEL.GT.5) GO TO 120 00000732
38      IF ((NODEL.EQ.4.0H.NODEL.EH.5).AND.KMUL.NE.0) GO TO 125 00000734
39      IF ( NODEL.EW.4.OR.NODEL.EH.5) GO TO 60 00000736
40      IF (IABS(ISPROG).NE.1) GO TO 60 00000740
41      IF ((NODEL .EQ. 3 .AND. KMUL .NE. 0).OR. NODEL.EW.-1) GO TO 60 00000750
42      WRITE (6,601) 00000760
43      601 FORMAT(54H0***** ERROR -- EM ACCEPTANCE CRITERIA FOR KINETICS. 00000770
1        48H HAVE NOT BEEN MET. NODEL MUST EQUAL 3 AND KMUL. 00000780
2        18H MUST NOT EQUAL 0. ) 00000790
44      WRITE (6,602) 00000800
45      602 FORMAT(100X,27H***** EXECUTION DELETED.) 00000810
46      ISPROG = -1 00000820
47      CALL FAIL 00000830
48      GO TO 60 00000832
49      125 WRITE (6,635) 00000834
50      CALL FAIL 00000836
51      60 CONTINUE 00000840
52      NODEL = NODEL + 2 00000850
53  C     GO TO (130,160,170,180,30), NODEFL 00000860
53  C     GO TO (130,160,170,180,30,190,190), NODEFL 00000862
C     BAD POWER TYPE 00000870
54 120  WRITE (6,612) 00000880
55  CALL FAIL 00000890
56  IF (NODEL) 130,160,180 00000900
C     POWER VERSUS TIME FROM TAPE 00000910
57 130  NODEL = -1 00000920
58  WRITE (6,613) 00000930
59  IF (IN2) 140,140,150 00000940
60 140  CALL INRCD1(0.0.LENGTH) 00000950
61  GO TO 200 00000960
62 150  WRITE (6,615) 00000970
63  GO TO 200 00000980
C     POWER VERSUS TIME FROM CARDS 00000990
64 160  NODEL = 0 00000990
65  WRITE (6,616) 00001000
66  GO TO 200 00001000
C     NORMAL REACTOR KINETICS EQUATIONS 00001010
67 170  NODEL = 7 00001020
68  WRITE (6,617) 00001030
69  GO TO 200 00001040
70 190  WRITE (6,634) 00001050
71  SUM = 0.000 00001060
72  DO 210 I=1,11 00001070
73  EGAM(I) = EGAMG(I) 00001080
74  ALPHA(I+7) = ALPHG(I) 00001090
75 210  SUM = SUM + EGAM(I) 00001100
76  PROMPT = 1.0D0 - SUM 00001105
77  1GE = NODEL - 3 00001110
78  GO TC (180,30) + 1GE 00001115
79 180  NODEL = 18 00001120
80  WRITE (6, 618) PROMPT 00001130
81  GO TO 200 00001140
C
82 30  NODEL=20 00001150
83  WRITE (6,621) 00001160
84  IF (UDUF.GT.0.001D0) GO TO 40 00001170
85  UDUF=1.0D0 00001180
86  WRITE (6,622) 00001190
87 40  IF (KMUL.NE.0) WRITE (6,632) 00001200
88  WRITE (6, 633) PROMPT 00001210
C     READ SCRAM DATA OR POWER VERSUS TIME 00001220
89 200  CALL INSCRM (NCOR,NSC,NODEL,MAXNSC,MAXTRP,MAXTBL,DATA,FA,[A]) 00001230
C                                         00001240

```

```

90   C      READ REACTIVITY DATA                                00001250
90   CALL INREAC (NCOR,NODEL,MAXCOR,MAXTBL,DATA,FA,IA)        00001260
91   RETURN                                                 00001270
91   C
91   C
92   611 FORMAT (29H1REACTOR KINETICS PARAMETERS, /          00001280
92   11H0     POWER,12X,51H#ETA OVER INITIAL                 U-238 ATOMS C000001310
92   2NSUMED /
92   36X,    4HTYPE ,12X,55HLIFETIME   REACTIVITY           00001320
92   4 FISSIONED /
92   51H0,19,10X,2E15,6.5X,E15,6)                         00001340
92   00001350
93   612 FORMAT (70X,40H#ERROR IN POWER TYPE, EXECUTION DELETED, ) 00001360
94   613 FORMAT (37H0NORMALIZED POWER RETRIEVED FROM TAPE ) 00001370
95   615 FORMAT (49H0TAPE WAS POSITIONED BY A PREVIOUS INPUT ROUTINE,) 00001380
96   616 FORMAT (37H0TABLE OF NORMALIZED POWER FROM CARDS ) 00001390
97   617 FORMAT (38H01 PROMPT AND 6 DELAYED NEUTRON GROUPS ) 00001400
98   618 FORMAT (38H01 PROMPT AND 6 DELAYED NEUTRON GROUPS .
98   *            31H PLUS 11 DELAYED GAMMA EMITTERS /26H PROMPT ENERGY FRAC00001420
98   C
98   *TION = , F6.3)                                     00001430
98   *TION = , F8.5)                                     00001435
99   621 FORMAT (38H01 PROMPT AND 6 DELAYED NEUTRON GROUPS *
99   1            32H PLUS 11 DELAYED GAMMA EMITTERS./       00001440
99   2            22H PLUS U-238 AND NP-239 )               00001450
100  622 FORMAT(1H0,01X,97H*** CAUTION - THE RATIO OF U-238 CONSUMED TO U-200001470
100  135 FISSIONED, UDUF, HAS BEEN DEFAULTED TO 1.0 ***/) 00001480
101  632 FORMAT (65H   THE ANS DECAY ENERGY RELEASE RATES HAVE BEEN MULTIPL00001490
101  1IED BY 1.2/)                                     00001500
102  C633 FORMAT (1H0,25HPROMPT ENERGY FRACTION = ,F6.3) 00001510
102  633 FORMAT (1H0,25HPROMPT ENERGY FRACTION = ,F8.5) 00001511
103  634 FORMAT('0 FISSION PRODUCTS DECAY MEAT IS CALCULATED BY GE + 3 SIGMO0001512
103  *A,1)                                              00001513
104  635 FORMAT('0 NODEL AND KMUL ARE INCONSISTENT. *** EXECUTION DELETED00001514
104  *,')                                              00001515
105  END                                                 00001520

```

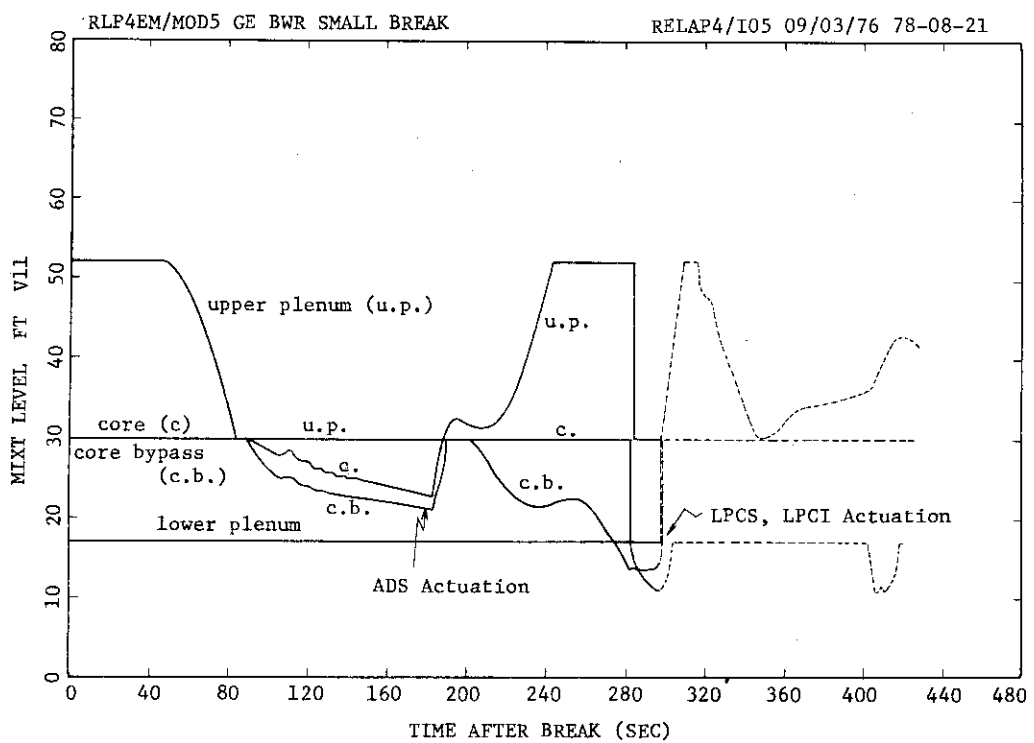


Fig. 3.1.4 Mixture Level in In-Shroud Region during BWR Small Break LOCA,
Which is Calculated by Original RELAP4/MOD5

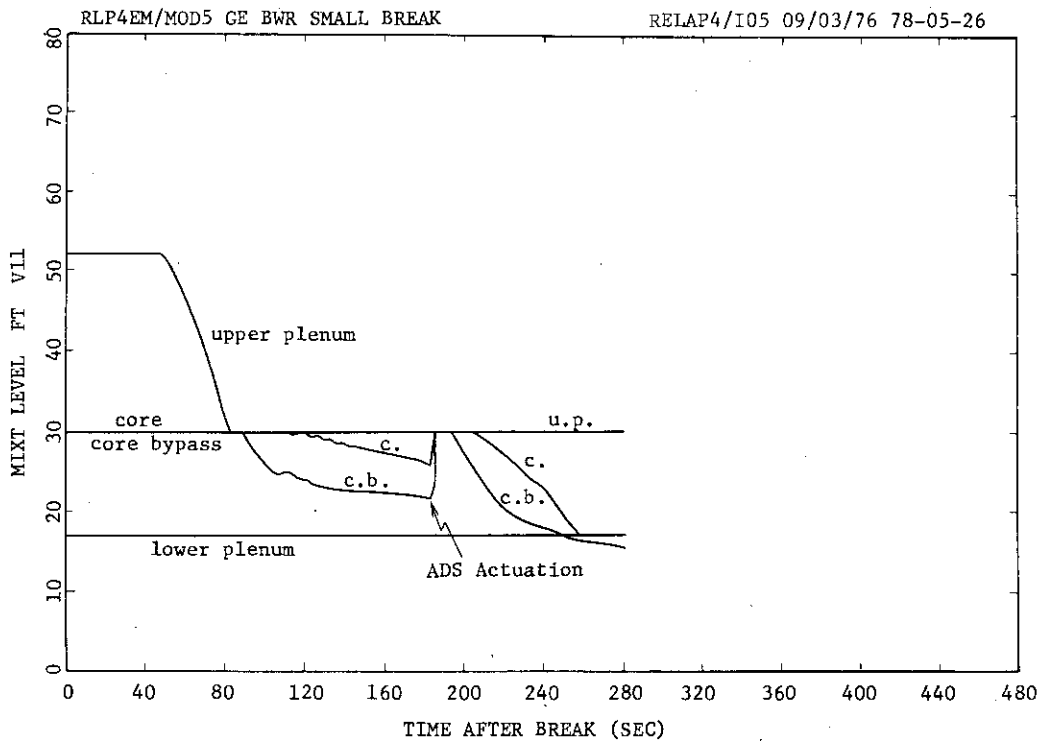


Fig. 3.1.5 Mixture Level in In-Shroud Region during BWR Small Break LOCA,
Which is Calculated by RELAP4/MOD5 with Modified Stacking Option
and Wilson's Bubble Velocity Correlation

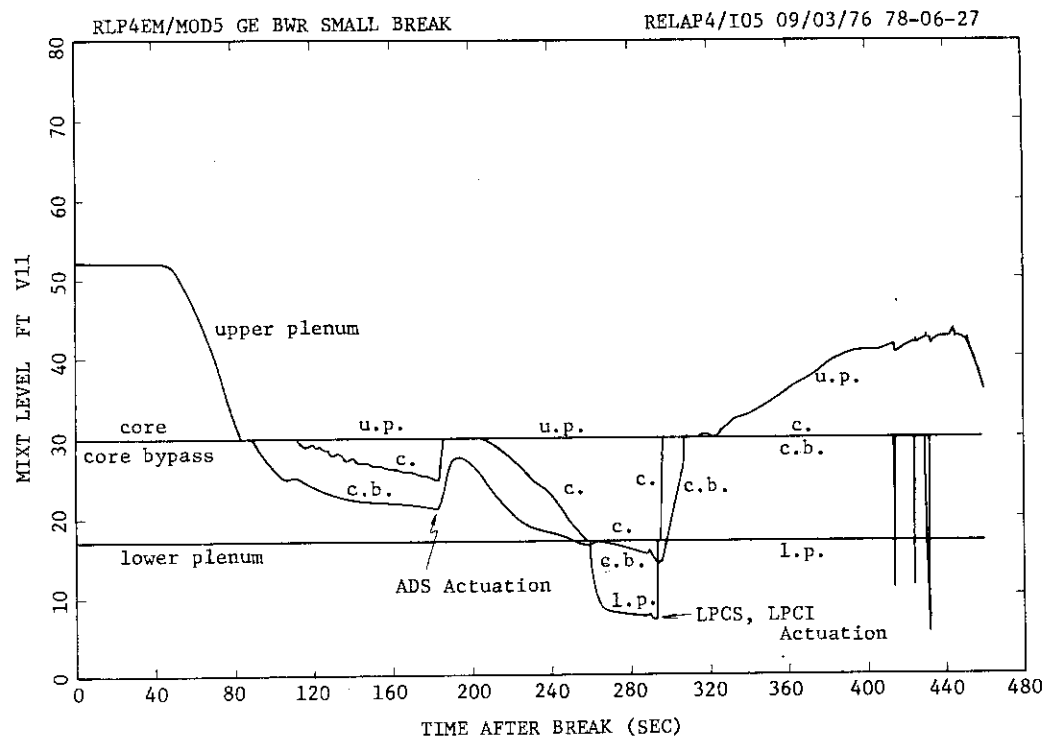


Fig. 3.1.6 Mixture Level in In-Shroud Region during BWR Small Break LOCA,
 Which is Calculated by RELAP4/MOD5 with Modified Enthalpy
 Smoothing in Addition to the Case of Fig.3.1.5

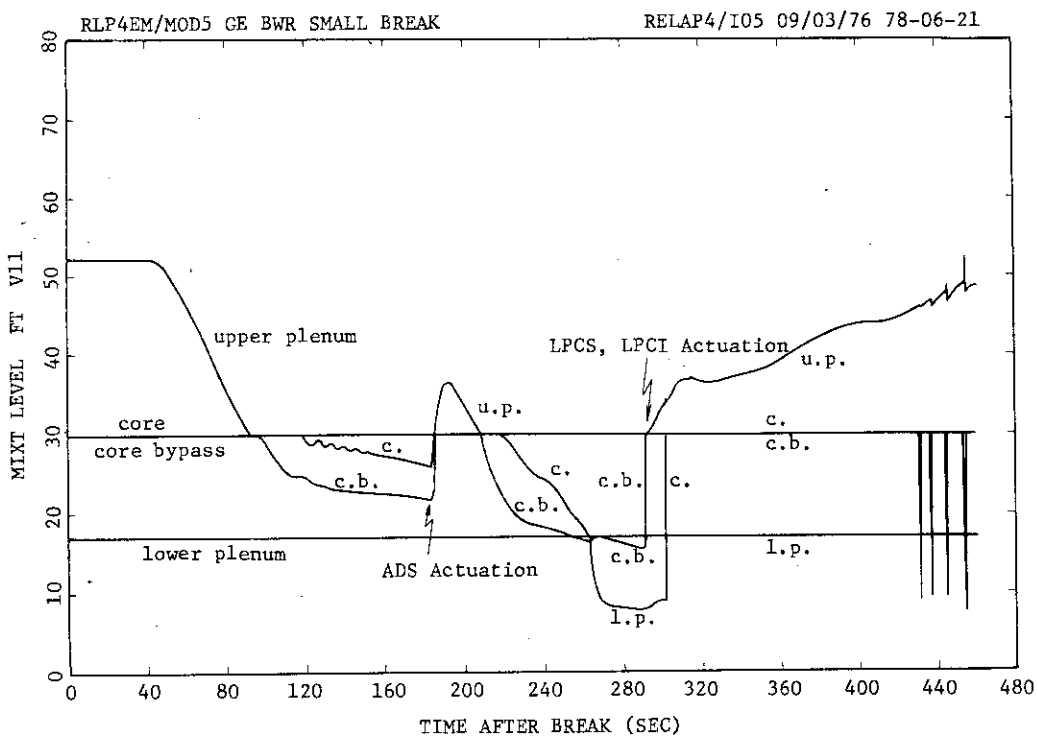


Fig. 3.1.7 Mixture Level in In-Shroud Region during BWR Small Break LOCA,
 Which is Calculated by RELAP4/MOD5 with Modified Vertical Slip
 Velocity in Addition to the Case of Fig. 3.1.6

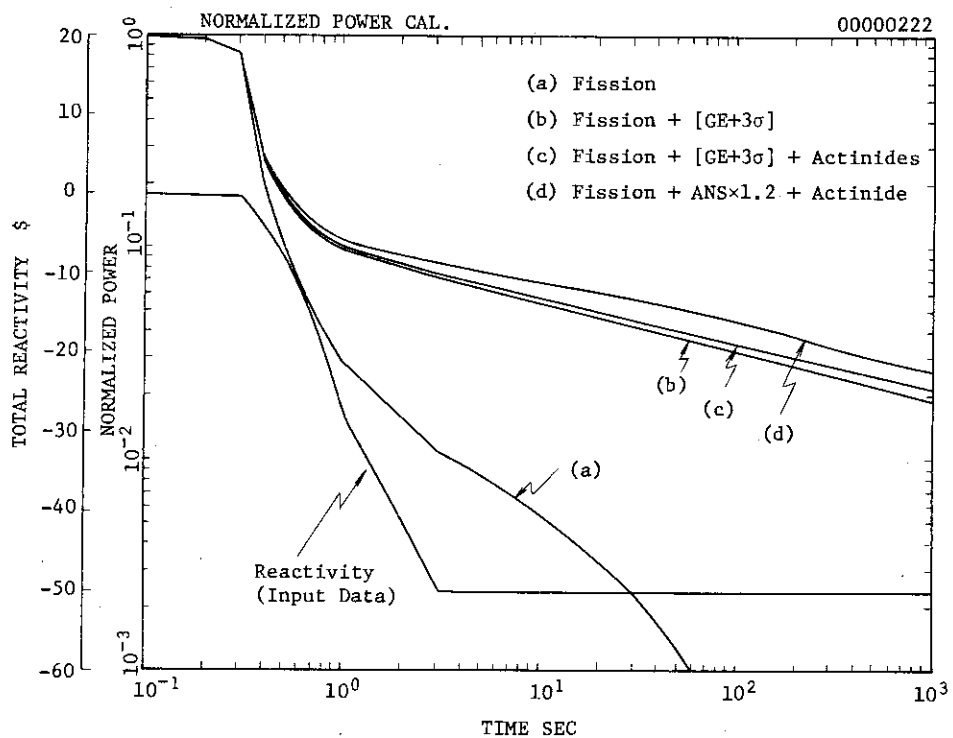


Fig. 3.1.8 Power Curve Claculation by RELAP4 Power Calculation in the Case of PWR large Break LOCA

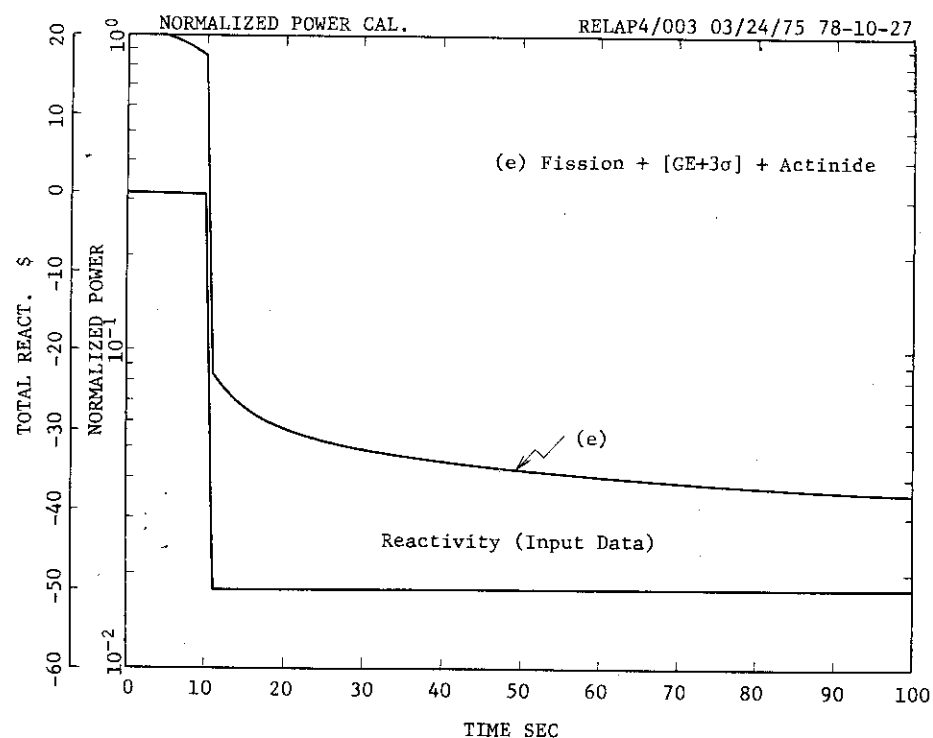


Fig. 3.1.9 Power Curve Calculated by RELAP4 Power Calculation in the Case of PWR Small Break LOCA

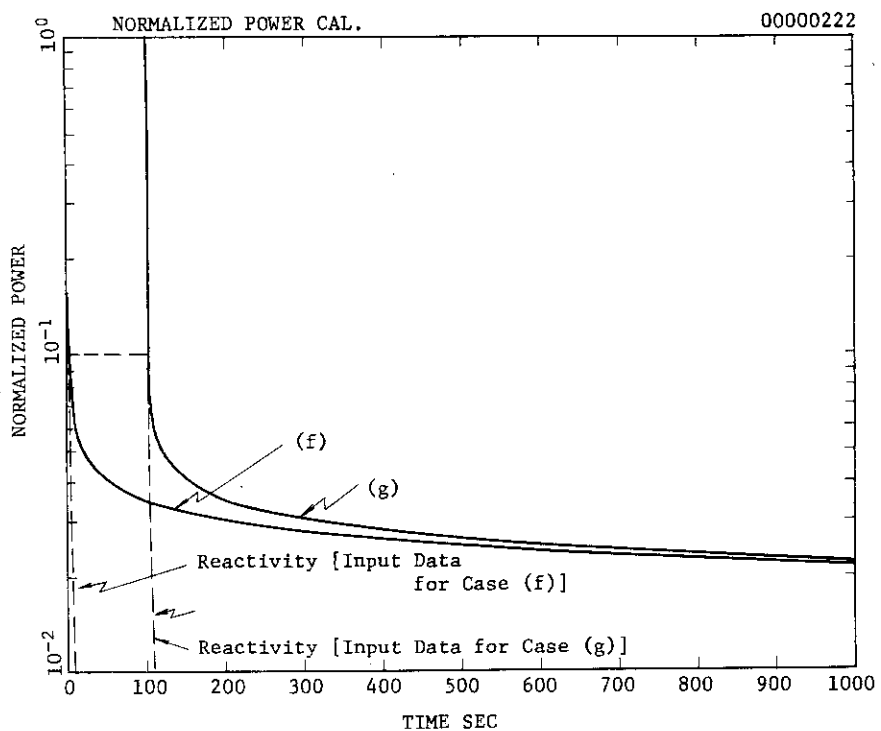


Fig. 3.1.10 Power Curve Calculated by RELAP4 Power Curve Calculation for Checking

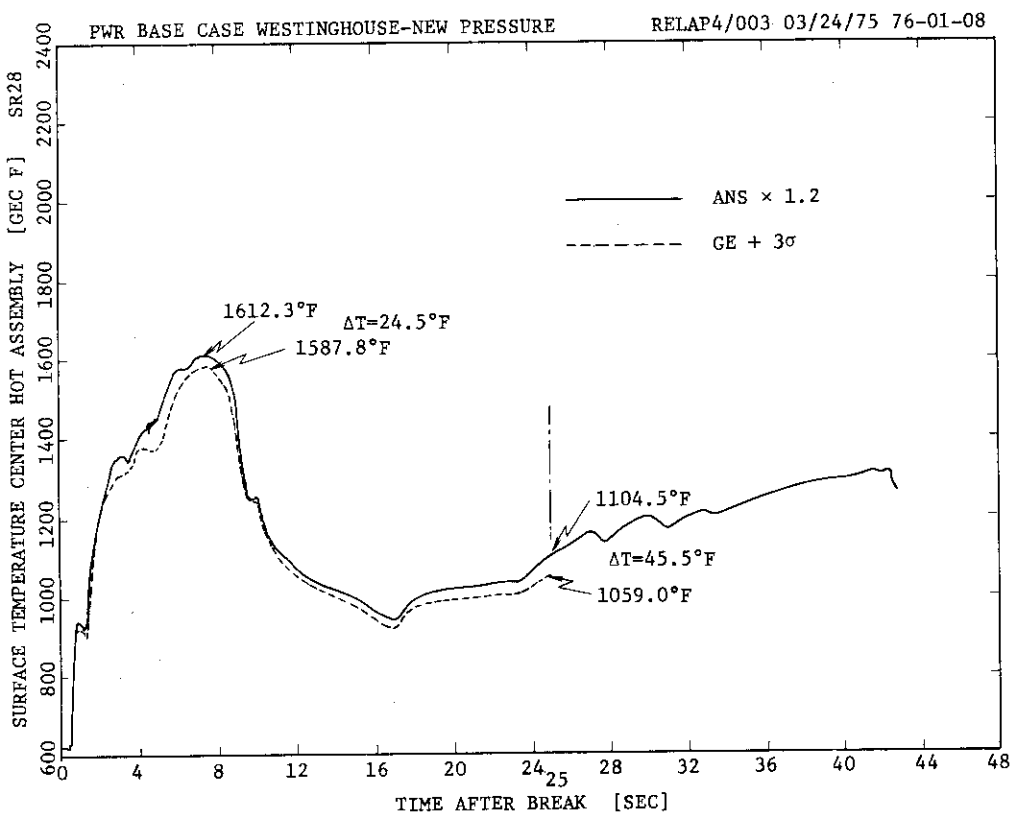


Fig. 3.1.11 Difference in Cladding Temperature with ANS 1.2 and GE+3σ

3.2 RELAP/REFLA用プロッタ・ルーチンの整備

3.2.1 はじめに

RELAP/REFLAの計算結果のプロットは、その母体となったRELAP 4のプロッタールーチン(PLOT 5)を使用している関係上、コードのREFLA部分で計算される炉心内のクエンチに関する情報や、燃料棒温度やボイド率等の軸方向の詳しい分布の情報は、その一部分(RELAP部分の変数に代入されている物理量)を除いては、プロッターによる作図が出来なかった。

そこでREFLA部分で計算されている物理量の中で重要なものを、RELAP 4の物理量とほとんど同等の取り扱いでプロット可能なようにRELAP/REFLA及びプロッタールーチンを改造した。改造に際しては、RELAP/REFLA実行時のプロットテープへの書き形式がオリジナルのRELAP 4のものと同型式になるようにしたので、プロッタージョブの実行時の入力形式もRELAP 4のプロッタールーチンによるジョブと同様の形式で行うことができる。またRELAP 4による出力テープ単独、及びRELAP 4とRELAP/REFLAの両方のテープ(2本以上)から同時にプロットすることも可能である。

3.2.2 追加された変数

新たにプロット可能な変数として追加された物理量と対応する識別符号(プロッタージョブの際入力として用いる)は以下の通りである。

GROUP 1 (炉心軸方向分布(91メッシュ)を持つもの)

(物理量)	(単位)	(識別記号)	(インデックス)
1. 燃料表面温度	°C	T W	1 ~ 91
2. 熱伝達係数	kcal/hr °C · m ²	H T	"
3. 対流熱流束	kcal/hr · m	H C	"
4. 輻射熱流束	kcal/hr · m	H R	"
5. ボイド率	—	A G	"
6. 流体温度(*)	°C	T L	"
7. 蒸気流束	cm/sec	U G	"
8. 圧力	kg/m ²	D P	"
9. DUMMY	—	D 1	"
10. DUMMY	—	D 2	"

GROUP 2 (クエンチ情報とバウンダリレベル)

11. クエンチ速度(Bottom, Top)	cm/sec	V Q	1, 2
12. クエンチ温度("", "")	°C	T Q	1, 2
13. バウンダリレベル	m	Z B	1 ~ 7

GROUP 3 (スカラーラー量)

14. 入口流速(体)	cm/sec	V I	
15. 出口流速(体)	cm/sec	V O	
16. 最高線出力	kcal / m	Q L	

17. キャリーオーバ (**)	—	C F
18. 飽和温度	°C	R S
19. 出口流速(蒸気)	cm/sec	V V
20. 軸長(炉心高さ) (***)	m	R L
21. } DUMMY	—	D { 3 24. } D 6

*) 流体温度：サブクール及び飽和二相領域では水温，

過熱蒸気が存在する場合は蒸気温度を示す。

**) キャリーオーバ：出口流量中に水の占める質量割合

***) 軸長：これは時間の関数でなく入力値であるがグラフの横軸スケールを決めるためデータとしてプロットテープに記入してある。

3.2.3 プロットテープへの書き込み

上記2で述べた変数に対応するデータをサブルーチン PLTAPE へ COMMON 文で送り、 PELAP 部分のデータに引き続いでテープへ書き込んでゆく。そのためテープに書き込まれる時間間隔は RELAP の minor edit の間隔になる (REFLA 部分の edit 間隔とは異なるので注意)。

3.2.4 プロッタージョブの入力形式

RELAP 4 のプロッタプログラム PLOT 5 におけるものに準じており、以下に述べるような追加のステートメントが使用できる。

1) 入力 FORMAT

(コラム)	(型)	(変数)	(内 容)
1 ~ 2	A 2	VAR	識別符号
3 ~ 5	I 3	INDX	インデクス
6	AI	L	軸の種類(リニア, Log)等の指示
7 ~ 8	I 2	LNTH	目盛数(軸長 / 2 cm)
9 ~ 14	E 6, 2	MIN	最小値
15 ~ 20	E 6, 2	MAX	最大値
21 ~ 26	E 6, 2	SCALE	スケール(倍数)
27 ~ 72	(13A4, A2)	LABEL	Y軸に沿って記入するタイトル

2) 入力カードのセット

入力形式は RELAP 4 の物理量を取り扱う場合と全く同様である。追加機能に関係した新しい入力カードは、次のようなものである。

(2-1) EV カード

Group 1 (3.2.2) のデータに関して軸方向分布をプロットしたい時に入力する "Elevation" についてのカードである。このカードにより、X軸の変数は炉心内の高さ(m)となる。次に EV 又は TI カードが現われるまで有効。"INDX" 欄はブランク。

例) EV □□□10 □ 0.00 □ 4.00

(…… 高さ 0 ~ 4 m を指定)

(2 - 2) TT カード

Group 1 のデータに関して軸方向分布をプロットする際、パラメータとしての時刻を指定する。EV カードと合わせて用いる。“MIN”欄に時刻(秒)，他はブランク。

例) TT □□□1.00 E1

(…… 10 秒における分布を指定)

(2 - 3) OV カード

従来からある重ね書き用のカードであるが、今回新たに付け加えられた機能として、重ね書きの各曲線上に識別のためのマーク(数字又は記号)を打つことができる。

L 欄がブランク …… マークなし。

L 欄が「N」 …… 1 ~ 9 の数字を各曲線につける。

「S」 …… ① □ ×などの記号をつける。

また、マークと変数の対応が図の右肩部に表示される。(変数名は単独書きの時にも右肩部に表示される)

以上の追加コードとの組み合わせで各種のプロットが可能である。

Group 1 のデータに対しては、変数の時間変化をプロットする時(X 軸用に TI カードを用いる時)は、変数カードの“INDX”欄にメッシュ番号を記入する。軸方向分布をプロットする時(X 軸用に EV カードを用いる時)は“INDX”欄はブランクまたは 0 とする。

Group 2 のデータに対しては“INDX”欄は必ず記入する。

Group 3 のデータに対しては“INDX”欄はブランクまたは 0。

例) TI □□□1 0 □ 0. 0 0 □ 2 0 0. 0

TW □ 1 5 □ 8 □ 0. 0 0 □ 1. 0 E 3

EV □□□1 0 □ 0. 0 0 □ 4. 0 0

TW □□□□ 8

TT □□□□ 2 0. 0

(説明) 初めに No 15 のメッシュ点の燃料棒温度の時間変化を 0 ~ 200 秒にわたって書く。

次に高さ 0 ~ 4 m の範囲の時刻 20 秒における燃料棒温度分布を書く。

以上に述べた以外の従来の RELAP 4 用プロッターラーチンに備えられていた機能は、すべて従来通りの形式で REFLA 部分の変数に対しても適用可能である。また RELAP 部分のデータと、REFLA 部分のデータを同時にプロットすることも可能である。変数カード及び EV カードの“LABEL”部分をブランクにしておくと、自動的に各変数の内容を示す簡単なタイトルが表示される。

3.2.5 プロッタジョブの入力例と作図例

次に入力データの例を Table 3.2.1 と Table 3.2.3 に示す。

一枚のタイトルカードの書き方は、RELAP 4 の場合と同じく、2 ~ 12 コラムが元の計算で用いたタイトルと一致しなければならない。第 1 コラムは

RELAP/REFLAの出力テープ * (星印)

RELAP 4 の出力テープ ブランク

を記入する。

2枚目には TI ないしは EV カード、あるいは他の X 軸指定のためのカードが置かれる。以下は例に従って説明する。

(Fig. 3.2.1) X 軸に炉心高さ (単位 m) Y 軸に REFLA で計算された燃料棒温度 (単位 °C) をとり、0, 20, 40, 60, 80, 100, 150 秒の 7 時刻についての分布を重ね書きし、各々の曲線にシンボルマーク (○□×等) をつける。

(Fig. 3.2.2) X 軸に炉心高さ (m) をとり熱伝達係数 (kcal/hr • °C • m²) の 80 秒における分布をリンアスケールで書く。

(Fig. 3.2.3) Fig. 3.2.3 と同じ熱伝達係数だが、Y 軸に Log スケールを用いて書く。

(Fig. 3.2.4) X 軸に時間をとり、No 15, 46, 61, 76 の 4 つのメッシュ点での燃料棒温度の時間変化を重ね書きする。各曲線には番号をつける。

(Fig. 3.2.5) X 軸に時間をとり、キャリーオーバ率 (出口流量中に水の占める質量割合) をプロットする。

Table 3.2.3 は Table 3.2.1 に示した入力データの、Table 3.2.4 は Table 3.2.3 に示した入力データのそれぞれ対応する出力リストである。なお横軸に炉心高さをとった場合にはプロットされる変数の 91 個の値がリスト上に出力される。

Table 3.2.1 A Sample Input Data for RELAP/REFLA Plotter Program (Case 1)

"RELAP4-MOD5 PLOTTER" INPUT DATA CARD IMAGE LIST.

PAGE = 1

SEQ.	1	2	3	4	5	6	7	8
1	REFLOOD152PSIA RELAP/REFLA PLOT DEMONSTRATION							
2	EV	100,00E04,00E0						
3	OV	7S 1						
4	TW	8						
5	TT	0,00E1						
6	TT	2,00E1						
7	TT	4,00E1						
8	TT	6,00E1						
9	TT	8,00E1						
10	TT	1,00E2						
11	TT	1,50E2						
12	HT	8						
13	TT	8,00E1						
14	HT	L 8 0,10 1,00E4						
15	TT	8,00E1						
16	HC	8						
17	TT	8,00E1						
18	HR	8						
19	TT	8,00E1						
20	OV	2S 1						
21	TL	8						
22	TT	4,00E1						
23	TT	8,00E1						
24	AG	8						
25	TT	8,00E1						
26	UG	8						
27	TT	8,00E1						
SEQ.	1	2	3	4	5	6	7	8

Fig. 3.2.1

Fig. 3.2.2

Fig. 3.2.3

Fig. 3.2.4

Fig. 3.2.5

Fig. 3.2.6

Fig. 3.2.7

Table 3.2.2 Output List of RELAP/REFLA Plotter Program for Sample Input (Case 1)

RELAP4 MUD5 PLUT PACKAGE * U6/23/76 HCY *
 REFLOOD152PSIA RELAP/REFLA PLOT DEMONSTRATION
 78-11-27

EV	0	10	0.0	4,00000E+00	0.0
OV	7				

THE TAPE IS A RELAP4 DATA TAPE,

TITLE TO BE USED ON PLOTS IS

REFLOOD152PSIA RELAP/REFLA PLOT DEMONSTRATION

RELAP/REFLA (MOD/0) 78-11-25

ORIGINAL PROBLEM WAS TITLED *

REFLOOD152PSIA R-R SAMPLE4

AND HAD 26 VOLUMES, 30 JUNCTIONS AND 14 SLABS.

VRBL	VRBL	LOG AXIS	MINIMUM	MAXIMUM	SCALING
TYPE	indx	PLOT LNTH			
TW	0	8	0.0	0.0	0.0
HT	0	8	0.0	0.0	0.0
HT	0	L	1.00000E+01	1.00000E+04	0.0
HC	0	8	0.0	0.0	0.0
HR	0	8	0.0	0.0	0.0
OV	2	8	0.0	0.0	0.0
TL	0	TIME=	8.00000E+01	8.00000E+01	HEAT TRANSFER COEFF. (KCAL/HRR/C/M2)
AG	0	TIME=	8.00000E+01	8.00000E+01	0.0
UR	0	TIME=	8.00000E+01	8.00000E+01	0.0

END OF PLOTTING RESULTS.

SURF TEMP C	TIME=	0.0	SEC
ELEVATION(M)	VALUE		
0.0	1.06894E+02		
4.00000E-02	2.00000E+02		
8.00000E-02	2.02000E+02		
1.20000E-01	2.09000E+02		
1.60000E-01	2.18000E+02		
2.00000E-01	2.26000E+02		
2.40000E-01	2.34000E+02		
2.80000E-01	2.42000E+02		
3.20000E-01	2.50000E+02		
3.60000E-01	2.60000E+02		
4.00000E-01	2.70000E+02		
4.40000E-01	2.80000E+02		
4.80000E-01	2.90000E+02		
5.20000E-01	3.06000E+02		
5.60000E-01	3.22000E+02		
6.00000E-01	3.38000E+02		
6.40000E-01	3.54000E+02		
6.80000E-01	3.70000E+02		
7.20000E-01	3.86000E+02		
7.60000E-01	4.02000E+02		
8.00000E-01	4.18000E+02		
8.40000E-01	4.34000E+02		
8.80000E-01	4.50000E+02		
9.20000E-01	4.66000E+02		
9.60000E-01	4.82000E+02		
1.00000E+00	4.90000E+02		
1.04000E+00	4.99000E+02		
1.08000E+00	5.08000E+02		
1.12000E+00	5.16000E+02		
1.16000E+00	5.24000E+02		
1.20000E+00	5.32000E+02		
1.24000E+00	5.38000E+02		
1.28000E+00	5.45000E+02		
1.32000E+00	5.51000E+02		
1.36000E+00	5.58000E+02		
1.40000E+00	5.65000E+02		
1.44000E+00	5.71000E+02		
1.48000E+00	5.76000E+02		
1.52000E+00	5.81000E+02		
1.56000E+00	5.85000E+02		
1.60000E+00	5.90000E+02		
1.64000E+00	5.94000E+02		
1.68000E+00	5.98000E+02		
1.72000E+00	6.01000E+02		
1.76000E+00	6.03000E+02		

2.240001+00
 2.28000L+00
 2.32000L+00
 2.36000E+00
 2.40000E+00
 2.44000E+00
 2.48000E+00
 2.52000E+00
 2.56000E+00
 2.60000E+00
 2.64000E+00
 2.68000E+00
 2.72000E+00
 2.76000E+00
 2.80000E+00
 2.84000E+00
 2.88000E+00
 2.92000E+00
 2.96000E+00
 3.00000E+00
 3.04000E+00
 3.08000E+00
 3.12000E+00
 3.16000E+00
 3.20000E+00
 3.24000E+00
 3.28000E+00
 3.32000E+00
 3.36000E+00
 3.40000E+00
 3.44000E+00
 3.48000E+00
 3.52000E+00
 3.56000E+00
 3.60000E+00
 6.02466E+U2
 6.08285E+U2
 6.11348E+U2
 6.14223E+U2
 6.16663E+U2
 6.18531E+U2
 6.19870E+U2
 6.20488E+U2
 6.20499E+U2
 6.20058E+U2
 6.19043E+U2
 6.17462E+U2
 6.15337E+U2
 6.12675E+U2
 6.09485E+U2
 6.05783E+U2
 6.01735E+U2
 5.96251E+U2
 5.90173E+U2
 5.83517E+U2
 5.76118E+U2
 5.68290E+U2
 5.59898E+U2
 5.51460E+U2
 5.42544E+U2
 5.33109E+U2
 5.23154E+U2
 5.12682E+U2
 5.01661E+U2
 4.90259E+U2
 4.78044E+U2
 4.65136E+U2
 4.50013E+U2
 4.36109E+U2
 4.21808E+U2

*** READ END OF FILE UNIT= 1 ***

END OF FILE AFTER 2526 PLOT RECORDS WERE READ. 19K = 3
 NUMBER OF PLOT RECORDS = 2526, NUMBER OF ERRORS = 0,

NUMBER OF POINTS FOR EACH REQUEST

Table 3.2.3 A Sample Input Data for RELAP/REFRA Plotter Program (Case 2)
RELAP4-MOD5 PLOTTER INPUT DATA CARD IMAGE LIST
 PAGE -

PAGE 1

Fig. 3.2.4

SEQ.	T1	2	3	4	5	6	7	8
1	100.00E02,0.0E2							
2	OV 4N 1							
3	TW 15 8 0,0	800,0						
4	TW 46 8 0,0	800,0						
5	TW 61 8 0,0	800,0						
6	TW 76 8 0,0	800,0						
7	VG 1	8						
8	TG 1	8						
9	VI 7							
10	VO 7							
11	CF 7							
12	QL 7							
13	OV 5N 1							
14	ZB 1 9 0,00	3,60	MOVEMENT OF BOUNDARIES					
15	ZB 2 9 0,00	3,60						
16	ZB 3 9 0,00	3,60						
17	ZB 4 9 0,00	3,60						
18	ZB 7 9 0,00	3,60						
19	ZB 35 3							
20	ZB 5 9 0,00	3,60						
21	ZB 6 9 0,00	3,60						
22	ZB 7 9 0,00	3,60						
23	ML 1 8 0,0	8,00	CORE INLET FLOW (LB/S)					
24	JW 12 8-200,0	800,0	CORE OUTLET FLOW (LB/S)					
25	JW 1 8							
26	AP 1 8							
27								

Fig. 3.2.5

SEQ.	1	2	3	4	5	6	7	8
1	100.00E02,0.0E2							
2	T1							
3	OV 4N 1							
4	TW 15 8 0,0	800,0						
5	TW 46 8 0,0	800,0						
6	TW 61 8 0,0	800,0						
7	TW 76 8 0,0	800,0						
8	VG 1	8						
9	TG 1	8						
10	VI 7							
11	VO 7							
12	CF 7							
13	QL 7							
14	OV 5N 1							
15	ZB 1 9 0,00	3,60	MOVEMENT OF BOUNDARIES					
16	ZB 2 9 0,00	3,60						
17	ZB 3 9 0,00	3,60						
18	ZB 4 9 0,00	3,60						
19	ZB 7 9 0,00	3,60						
20	ZB 35 3							
21	ZB 5 9 0,00	3,60						
22	ZB 6 9 0,00	3,60						
23	ZB 7 9 0,00	3,60						
24	ML 1 8 0,0	8,00	CORE INLET FLOW (LB/S)					
25	JW 12 8-200,0	800,0	CORE OUTLET FLOW (LB/S)					
26	JW 1 8							
27	AP 1 8							

Table 3.2.4 Output List of RELAP/REFLA Plotter Program for Sample Input (case 2)

~~RELAP4~~ MOD5 PLOT PACKAGE * U6/23/76 RCY *

REFLOOD152PSIA RELAP/REFLA PLOT DEMONSTRATION

78-11-27

T1 0 10 0,0 2.00000E+02 0,0
 OV 4 1

THE TAPE IS A RELAP4 DATA TAPE.

TITLE TO BE USED ON PLOTS IS

REFLOOD152PSIA RELAP/REFLA PLOT DEMONSTALION

RELAP/REFLA (MOD/0) 78-11-25

ORIGINAL PROBLEM WAS TITLED

REFLOOD152PSIA R-R SAMPLE4

*
 AND HAD 26 VOLUMES, 30 JUNCTIONS AND 14 SLABS,

VRBL	VRBL	LOG AXIS	MINIMUM	MAXIMUM	SCALING	LABEL
TW	15	8	0,0	8.00000E+02	0,0	
TW	46	8	0,0	8.00000E+02	0,0	
TW	61	8	0,0	8.00000E+02	0,0	
TW	76	8	0,0	8.00000E+02	0,0	
VQ	1	0	0,0	8.00000E+02	0,0	
TO	1	8	0,0	0,0	0,0	
V1	0	7	0,0	0,0	0,0	
VO	0	7	0,0	0,0	0,0	
CF	0	7	0,0	0,0	0,0	
QL	0	7	0,0	0,0	0,0	
OV	5	1	0,0	3.60000E+00	0,0	MOVEMENT OF BOUNDARIES
ZB	1	9	0,0	3.60000E+00	0,0	
ZB	2	9	0,0	3.60000E+00	0,0	
ZB	3	9	0,0	3.60000E+00	0,0	
ZB	4	9	0,0	3.60000E+00	0,0	
ZB	7	9	0,0	3.60000E+00	0,0	
OV	3	3	0,0	3.60000E+00	0,0	
ZB	5	9	0,0	3.60000E+00	0,0	
ZB	6	9	0,0	3.60000E+00	0,0	
ZB	7	9	0,0	3.60000E+00	0,0	
ML	1	8	0,0	8.00000E+00	0,0	
JW	12	8	-2.00000E+02	8.00000E+02	0,0	CORE INLET FLOW (LB/S)
SURF,TEMP C	E15					

CORE INLET FLOW (LB/S)			
CV	3	3	3
ZB	5	9	0.0
ZB	6	9	0.0
ZB	7	9	0.0
MU	1	8	0.0
JW	12	8	-2,00000E+02
SURF, TEMP C		E15	

*** READ END OF FILE UNIT 1 ***

END OF FILE AFTER 2526 PI CI RECORDS WERE READ

NUMBER OF PLOT RECORDS = 2526, NUMBER OF ERRORS = 0.

NUMBER OF POINTS EOF EACH REQUEST

2526 2526 2526 2526 2526 2526 2526 2526

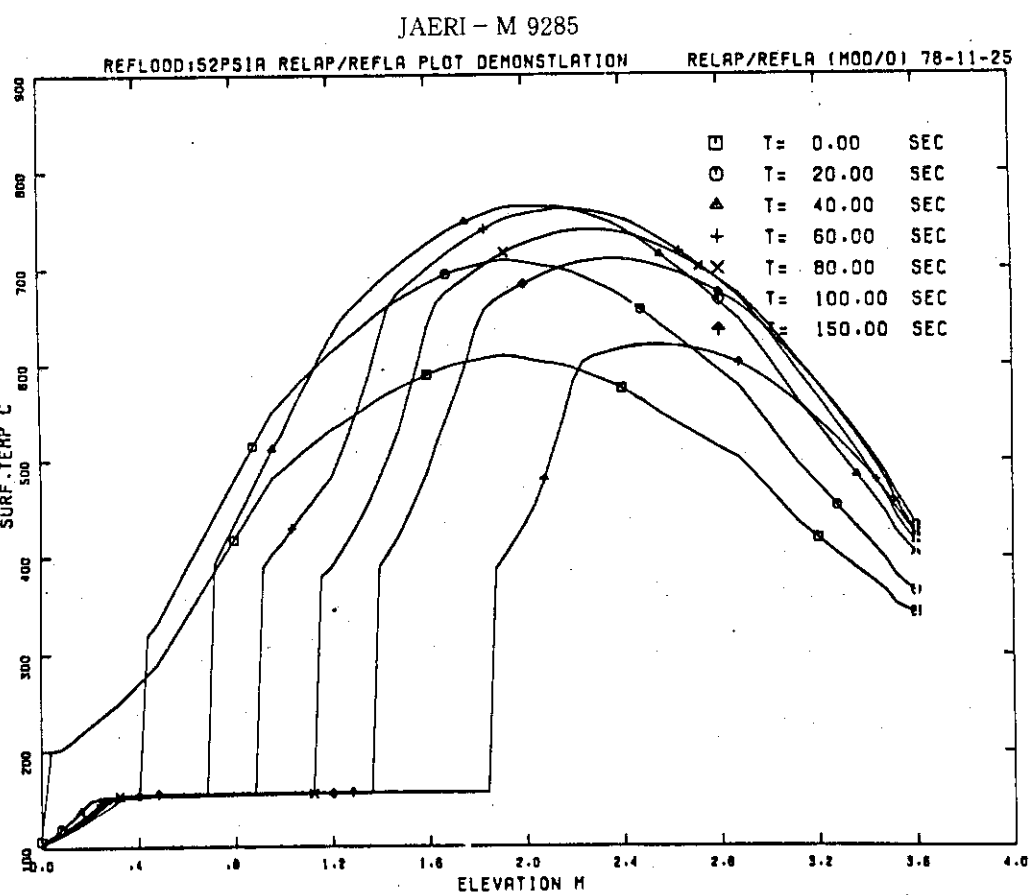


Fig. 3.2.1 Overlay Plot of Fuel Temperature Distributions for Various Times during Reflood (from Case 1)

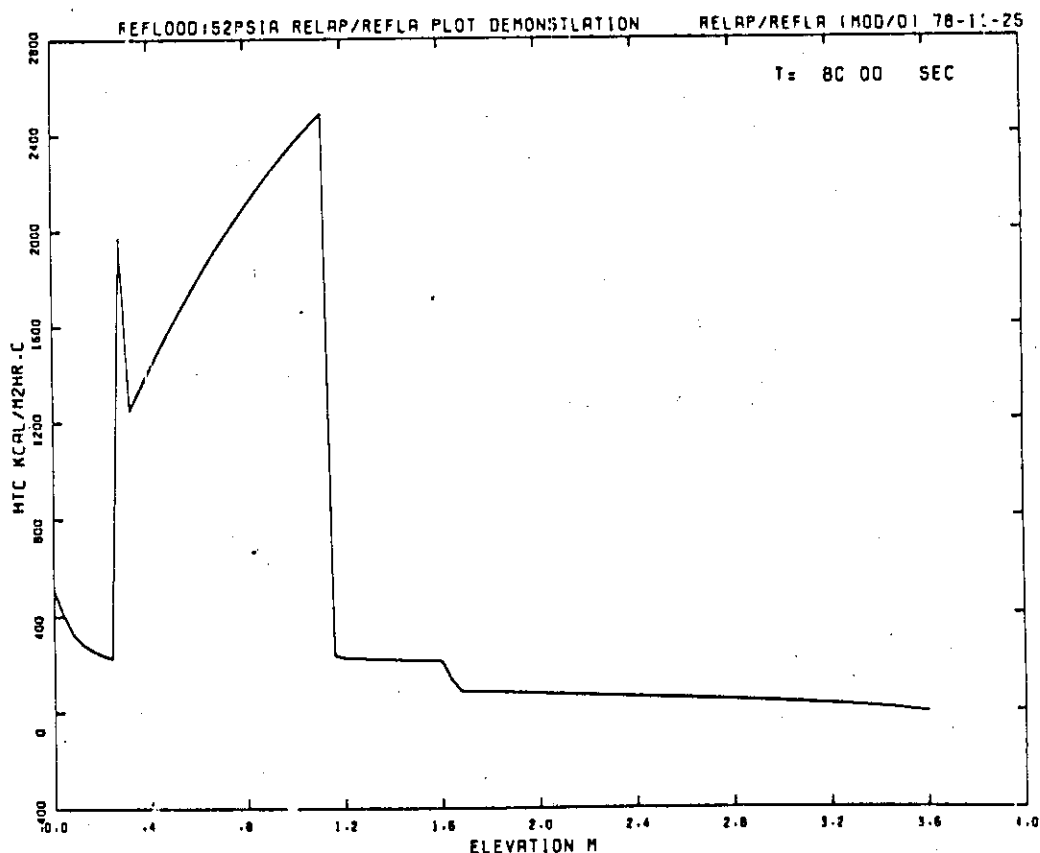


Fig. 3.2.2 Axial Distribution of Heat Transfer Coefficient at 80 Seconds during Reflood in Linear Scale (from Case 1)

T = 80.00 SEC

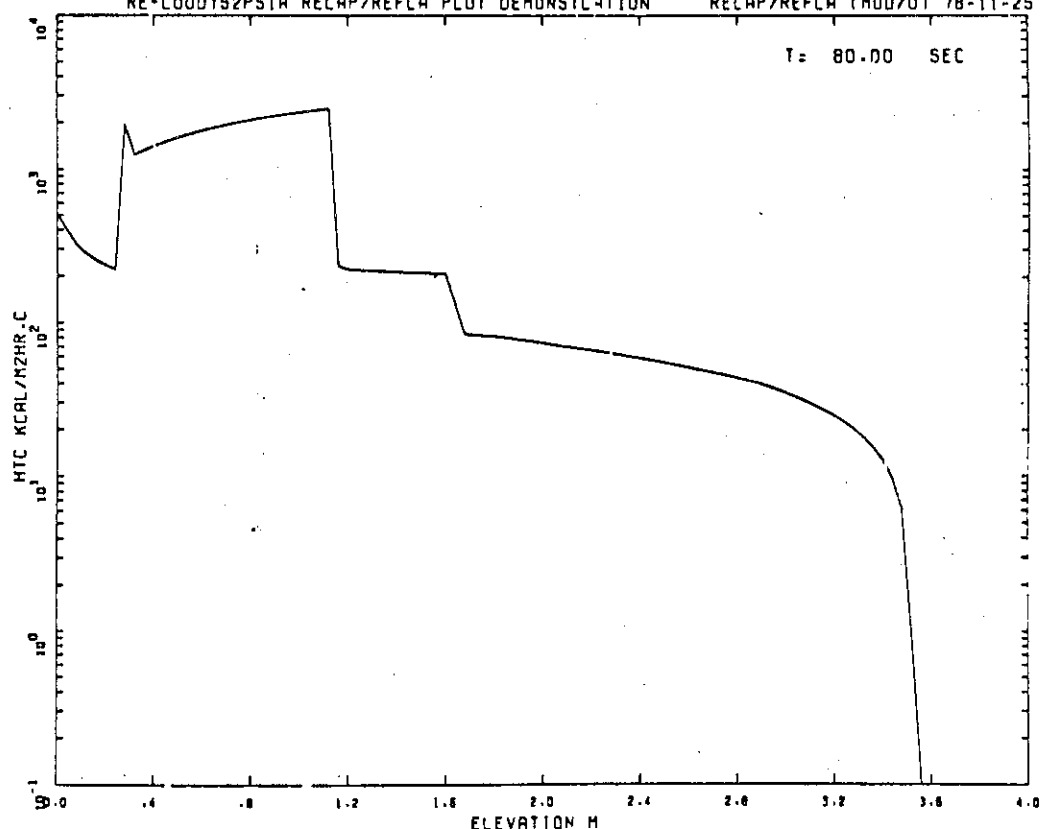


Fig. 3.2.3 Axial Distribution of Heat Transfer Coefficient at 80 Seconds during Reflood in Logarithmic Scale (from Case 1)

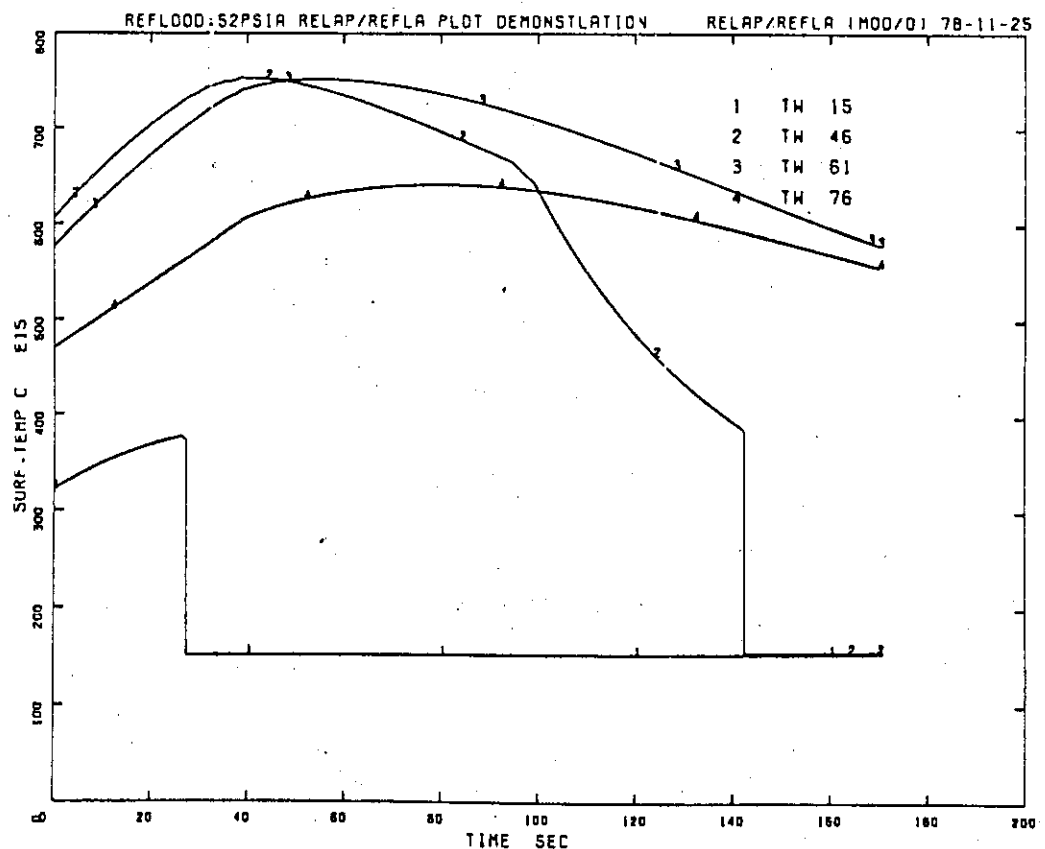


Fig. 3.2.4 Overlay Plot of Rod Temperature for Various Elevations (from Case 2)

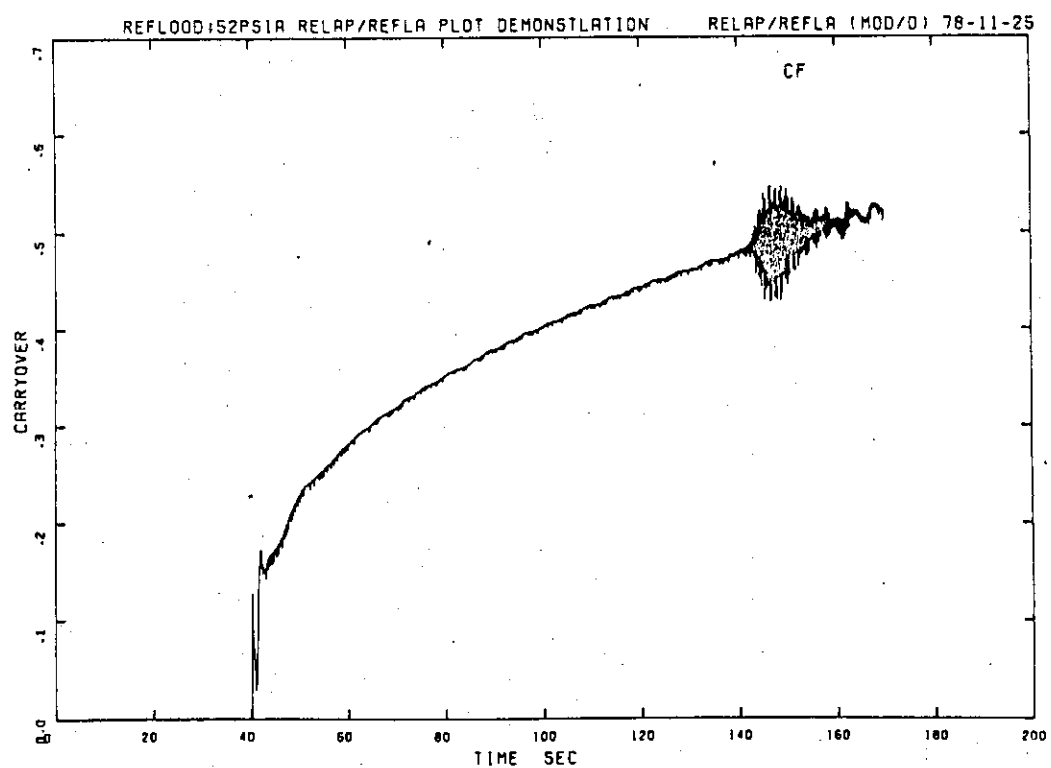


Fig. 3.2.5 Carryover Rate Fraction Calculated By
RELAP/REFLA (from Case 2)

3.3 CONTEMPT-LT(EM) 作成のための改良

3.3.1 はじめに

LWR の LOCA 時における格納容器内の圧力は、格納容器設計及び ECCS の特性評価において重要な量である。格納容器内壁及び構造材表面での蒸気凝縮による格納容器気相部からの熱除去が圧力上昇を抑える上で支配的な働きをする。CONTEMPT-LT / 022^{19) 20)} には蒸気凝縮の熱伝達係数を与える関係式として内田データ²⁸⁾の内挿式が内蔵されているが、CVTR (Carolina Virginia Tube Reactor) の実験解析等^{30) 31)}から内田データはプローダウン中は熱伝達係数を過小評価（すなわち内圧ピークを高めに評価）するという結果が出ている。一方、格納容器の設計及び圧力解析には田上の式³²⁾が用いられることが多い³³⁾。CVTR の実験解析³¹⁾によると、熱伝達係数のプローダンの最大値 h_{max} に対して田上の式を 4 倍したものを用いると実験のピーク圧力がよく再現できることが示されている。

大破断 LOCA 時の ECCS 性能評価においては、通常、格納容器圧力が低い程、被覆管表面最高温度 (Peak Cladding Temperature = PCT) を高く計算するので、性能評価指針では格納容器圧力を、なるべく低く見積ることを要求している。米国 NRC は Branch Technical Position CSB 6-1, "Minimum Containment Pressure Model for PWR ECCS Performance Evaluation"

において計算方法を定めている中で、格納容器内壁及び構造材表面での凝縮熱伝達係数について使用すべき関係式を定めている。その式は田上一内田の式を修正したような型になっている。

CONTEMPT-LT(EM) は、CONTEMPT-LT / 022 を上記の型の凝縮熱伝達係数が適用できるように修正したものである。

ここでは新たに組み込んだ関係式、修正箇所、使用方法、出力例等について説明する。

3.3.2 改良点

(1) 新たに組み込まれた凝縮熱伝達係数の関係式

(i) プローダウン期間

$$h = f_4 \cdot \{ f_2 + (h_{max} - f_2) (t/t_{BD}) \} \quad (3.3.1)$$

(ii) プローダウン終了後の期間

$$h = f_4 \cdot \{ h_{stag} + (h_{max} - h_{stag}) e^{-(d(t-t_B))} \} \quad (3.3.2)$$

ここで $h_{max} = f_1 \cdot h_{max}$ (Tagami)

$$h_{max} (\text{Tagami}) = 72.5 \left(\frac{Q_{BD}}{t_{BD} \cdot V} \right)^{0.62}$$

$$h_{stag} = f_3 \cdot h_{uchida}$$

h : 凝縮熱伝達係数 [Btu/hr · ft² · °F]

t : 破断開始からの時間 (秒)

t_{BD} : プローダウン持続時間 (秒)

Q_{BD} : プローダウン期間中に格納容器内へ放出されるエネルギー総和 (Btu)

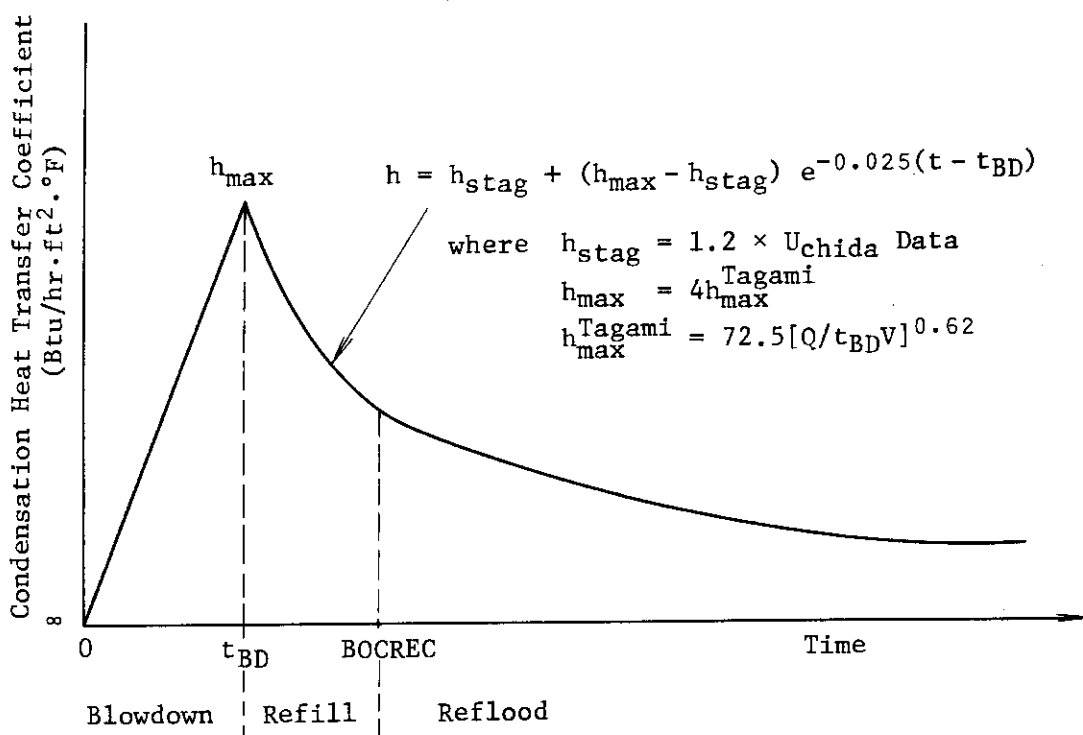
V : 格納容器気相部自由体積 (ft³)

h_{uchida} : Table 3.3.1 から内挿して求めたもの。

米国 NRC Branch Technical Position CSB 6-1 では、上の(3.3.1)(3.3.2)の式に対して $f_1 = 4$, $f_2 = 8$ [Btu/hr·ft²·°F], $f_3 = 1.2$, $f_4 = 1.0$, $d = 0.025$ の各値を使用するように定められている。Fig.3.3.1 に h の時間変化を図式的に示す。

Table 3.3.1 Uchida Heat Transfer Coefficient

UCHIDA HEAT TRANSFER COEFFICIENTS			
Mass Ratio (1b air/lb steam)	Heat Transfer Coefficient (Btu/hr·ft ² ·°F)	Mass Ratio (1b air/lb steam)	Heat Transfer Coefficient (Btu/hr·ft ² ·°F)
50	2	3	29
20	8	2.3	37
18	9	1.8	46
14	10	1.3	63
10	14	0.8	98
7	17	0.5	140
5	21	0.1	280
4	24		



t_{BD} : Time Interval to End of Blowdown (sec)

V : Net Free Containment Volume (ft³)

Q : Primary Coolant Energy Released to Containment by t_{BD} . (Btu)

h : Condensation Heat Transfer Coefficient (Btu/hr·ft²·°F)

Fig. 3.3.1 Schematic Behavior of Condensation Heat Transfer Coefficient.

(2) プログラム改造箇所

(1)に述べた関係式を使用するために CONTEMPT-LT / 022 を修正したサブルーチンはインプット・ルーチン (INPRO 2) と HTC を計算するルーチン (HEAT) の 2つであり、修正箇所は Table 3.3.2 に示してある。

(3) 使用方法

CONTEMPT-LT (EM) の入力マニアルは CONTEMPT-LT / 022 の入力マニアル²⁰⁾を以下のように修正したものとなる。

- Page C - 3 ; 下から 5 行目以下削除
- Page C - 3 ; 下から 5 行目以下次の文を挿入

12, the heat transfer coefficient is calculated from Tagami - Uchida type equation and needed constants are entered on Word 1 to 6 of card 420001.

13, the heat transfer coefficient which is f_4 times that of type 12, and the constant f_4 is entered on Word 1 of card 420002.

14, 15 or greater (up to 26 max), the heat transfer coefficient used is the heat transfer coefficient of the same type number.

These heat transfer coefficient are entered on card 4200XX ($03 \leq XX \leq 20$).

For example entering fifteen would cause the heat transfer coefficient type 15 entered on Word 2 of card 420003 to be used.

- Page C - 5 ; 下から 7 行目以下削除
- Page C - 5 ; 下から 7 行目以下次の文を挿入

Card 420001 (Constants for Tagami - Uchida Type Heat Transfer Coefficient)

Word 1 ; Blowdown duration time (sec)

Word 2 ; h_{max} of Tagami's equations = $72.5 (Q_{BD}/t_{BD} \cdot V)^{0.62}$

Word 3 ; f_1

Word 4 ; f_2

Word 5 ; f_3

Word 6 ; d

Card 420002

Word 1 ; f_4

Card 4200XX (Miscellaneous Heat-Transfer Coefficients)

$XX = 03, 04, \dots, 20$

These cards are needed only if any heat transfer coefficient type 14 through 26 was specified on any 1YY 400 card.

Word 1 ; Heat transfer coefficient type 14.

An arbitrary number of additional values may be entered on this and other cards as needed for type 14, 15, ..., 26.

Table 3.3.2-(1) List of Modified and Added Statements in CONTEMPT-LT(EM)

SUBROUTINE HEAT		
KK=1		HEAC1150
CALL SRCHF (TEMP,HJPT,2,15,1,KK,FR,ERROR)		HEAC1170
CALL INTRP (HJPT,2,15,2,KK,FR,TEMP)		HEAC1180
C FOLLOWING STATEMENT WAS ADDED TO USE TAGAMI-UCHIDA TYPE EQUATION	IF(IST01.GE.13) GO TO 840	HEAC1182
GO TO 268		HEAC1184
263 TEMP = .4		HEAC1200
GO TO 268		HEAC1210
264 TEMP = 10000.		HEAC1220
GO TO 268		HEAC1230
265 IF (IST4 .LT. 0 .AND. LSWMA) GO TO 262		HEAC1240
LSWMA = FALSE UNTIL MASS-ADDITION TABLE 1ST HAS C MASS, FOR H=-5	HEAC1250	
C FOR H= -5 OPTION, USE UCHIDA AFTER BLOWDOWN DONE		HEAC1250
ST01 = T		HEAC1270
CALL TABLU (ST01,HTCT,114,J14,2,TEMP,ERROR)		HEAC1280
276 ST01 = TV(NHT)		HEAC1290
TMP = DTV(NHT)		HEAC1400
C FOR BEST RESULTS SHOULD BALANCE TV,TL AFTER THIS CALL	HEAT	HEAC1410
GO TO 275		HEAC1420
273 IF (NHT .EQ. 0) GO TO 271		HEAC1430
IF (MWTL(NHT) .EQ. 0.) GO TO 276		HEAC1440
ST01 = TL(NHT)		HEAC1450
TMP = DTL(NHT)		HEAC1460
275 J16 = 1		HEAC1470
CALL TABLU (ST01,HTCTP,116,J16,2,TEMP,ERROR)		HEAC1480
IF(ERROR) GO TO 914		HEAC1490
GO TO 268		HEAC1500
267 IF ((IST01-1) .GE. 50) GO TO 274		HEAC1510
C		HEAC1511
C FOLLOWING STATEMENTS WERE ADDED BY F.TANABE(JAERI)		HEAC1512
TO USE TAGAMI-UCHIDA TYPE HTC EQUATION OF STEAM CONDENSING		HEAC1513
MODIFICATION WAS DONE ON JUNE 10,1977		HEAC1514
C		HEAC1515
800 CONTINUE		HEAC1516
IF((ISTG1-1).GE.14) GO TO 860		HEAC1517
TBD = HTC(1)		HEAC1518
HMXTGM= HTC(2)		HEAC1519
F1 = HTC(3)		HEAC1520
F2 = HTC(4)		HEAC1521
F3 = HTC(5)		HEAC1522
DD = HTC(6)		HEAC1523
HMAX = F1 * HMXTGM		HEAC1524
TSEC = T +3600.		HEAC1525
IF(TSEC.GT.TBD) GO TO 820		HEAC1526
TEMP = F2 +(HMAX-F2)*(TSEC/TBD)		HEAC1527
GO TO 850		HEAC1528
820 CONTINUE		HEAC1529
GO TO 262		HEAC1530
840 CONTINUE		HEAC1531
HUCHID= TEMP		HEAC1532
HSTAG = F3 * HUCHID		HEAC1533
TEMP = HSTAG + (HMAX - HSTAG)*DEXP(-DD*(TSEC - 150))		HEAC1534
850 CONTINUE		HEAC1535
IF(IST01.GE.13) GO TO 268		HEAC1536
F4 = HTC(7)		HEAC1537
TEMP = F4 * TEMP		HEAC1538
GO TO 268		HEAC1539
860 TEMP = HTC(IST01-7)		HEAC1540
C ABCVE STATEMENTS WERE ADDED BY F.TANABE		HEAC1541
C		HEAC1542
C		HEAC1543
C		HEAC1544
C		HEAC1545

Table 3.3.2-(2) SUBROUTINE INPRO2

800	WRITE(6,119) J,TUCVHC(I),TUCVHC(I+1)	IPR23580
119	FORMAT(5XI5,10X1PE17.6,10XE17.6)	IPR23590
	J = J +1	IPR23600
	I = I + 2	IPR23610
	IF(I .LE. I13) GO TO 800	IPR23620
	DO 281 I =1,NSL	IPR23630
	IF (BTG(1,I).LT.7 .AND. BTN(1,I).LT.7) GO TO 281	IPR23640
	IF (BTG(1,I).GE.7 .AND. BTG(1,I).LE.26) GO TO 290	IPR23650
	IF (BTN(1,I).GE.7 .AND. BTN(1,I).LE.26) GO TO 290	IPR23660
281	CONTINUE	IPR23670
	GO TO 280	IPR23680
290	ICS(1) = 420001	IPR23690
	ICS(2) = 420020	IPR23700
	ICS(3) = 1	IPR23710
	ICS(4) = 20	IPR23720
	ICS(6) = 1	IPR23730
	CALL INP2 (ARR,HTC,ICS)	IPR23740
	IF (ICS(6).EQ.-1) GO TO 900	IPR23750
	I= ICS(6)	IPR23760
C	FOLLOWING STATEMENTS WERE MODIFIED BY F.TANABE(JAERI)	IPR23761
C	TO USE TAGAMI-UCHIDA TYPE HTC OF STEAM CONDENSING	IPR23762
C	MODIFICATION WAS DONE ON JUNE 10,1977	IPR23763
C	WRITE(6,620)	IPR23764
620	FORMAT(1H0,' TAGAMI-UCHIDA TYPE HTC EQUATION (TYPE12 OR TYPE13)')	IPR23765
1'	(1) BLOWDOWN PERIOD H=F4*(F2+(HMAX-F2)*(T/TBD))'	IPR23766
2'	(2) POST BLOWDOWN PERIOD H=F4*(HSTAG+(HMAX-HSTAG)*EXP(-DD(T-TBDB)))'	IPR23767
3'	WHERE HMAX=F1*HMAX(TAGAMI) ,HMAX(TAGAMI)=72.5*(QBD/V/(5TBD)**0.62)'	IPR23771
4'	HSTAG=F3*HUCHILA '///)	IPR23772
5'	WRITE(6,625) (HTC(J),J=1,6)	IPR23774
625	FORMAT(26X,3HTBD,2X12HHMAX(TAGAMI),6X2HF1,10X2HF2,10X2HF3,10X2HDD	IPR23775
	1,10X2HF4)	IPR23777
630	FORMAT(14X,6HTYPE12,6F12.3,7X5H1.00C)	IPR23778
	IF(I.EQ.6) GO TO 660	IPR23779
	WRITE(6,640) (HTC(J),J=1,7)	IPR23780
640	FORMAT(14X,6HTYPE13,7F12.3)	IPR23781
	IF(I.EQ.7) GO TO 660	IPR23782
	WRITE(6,120) (J,HTC(J),J=8,1)	IPR23783
C	ABOVE STATEMENTS WERE ADDED BY F.TANABE	IPR23784
C	WRITE (6,120) (J,HTC(J),J=1,1)	IPR23786
		IPR23790

Table 3.3.3 List of Modified Output Format in CONTEMPT-LT(EM)

TABLES COMMON TO ALL HEAT STABS

THERMAL CONDUCTIVITY AND VOLUMETRIC HEAT CAPACITY TABLE
COMPOSITION NO., THERMAL CONDUCTIVITY, HEAT CAPACITY

1	9,390000D+00	6,0120000D+01
2	2,927000D+01	6,009000D+01
3	2,470000D+00	6,482900D+02
4	1,008000D+01	2,695000D+01
5	9,740000D+00	2,801000D+01
6	2,800000D-01	6,133000D+01

```

TAGAMI=UCHIDA TYPE HTC EQUATION (TYPE12 OR TYPE13)
(1) BLOWDOWN PERIOD H=F4*(F2+(HMAX-F2)*(T/TBD))
(2) POST BLOWDOWN PERIOD H=F4*(HSTAG+(HMAX-HSTAG)*EXP(-DD(T-TBD)))
WHERE HMAX=F1*HMAX(TAGAMI) HMAXC(TAGAMI)=72,5*(QED/V/TBD)**0,62
HSTAG=F3*HUCHIDA

```

	TBD	HMAX(TAGAMI)	F1	F2	F3	DD	F4
TYPE12	13.500	700,000	4,000	8,000	1,200	0,025	1,000
TYPE13	13.500	700,000	4,000	8,000	1,200	0,025	0,400

TABLE OF HEAT TRANSFER COEFF., TYPE(J=6), HEAT TRANSFER COEFF.,
 8 1,000000D+01 9 1,000000D+02
 10 1,000000D+03 11 1,000000D+04

TABLE OF TIME, HEAT TRANS. COEFF., (TYPE 5)

0,0	6,000000D+00	4,722220D-03	2,939800D+03
5,277780D-03	2,812900D+03	6,944440D-03	2,463020D+03
9,722220D-03	1,996630D+03	1,388890D-02	1,477630D+03
1,944440D-02	1,028810D+03	2,500000D-02	7,565900D+02
3,611110D-02	4,913330D+02	4,444440D-02	4,098810D+02
5,000000D-02	3,811890D+02	5,555560D-02	3,637860D+02
6,944440D-02	2,748000D+02	8,333330D-02	2,748000D+02
1,111110D-02	2,592000D+02	1,388890D-02	2,400000D+02
1,666670D-02	2,400000D+02	1,700000D-01	2,400000D+02

3.4 TOODEE2-J1のための改良・修正

3.4.1 Zr - H₂O 反応速度式の改良

1) はじめに

TOODEE 2 コードによる計算で、Baker-Just の式以外の酸化反応速度式を用いて被覆管酸化量についての感度解析を行えることが望ましい。そこで TOODEE 2 (および TOBUNRAD) に次の 4 つの酸化反応速度式を組み込む作業を行った。

i) 川崎の式 (BE)³⁴⁾

実験データに best fit させた式

ii) 川崎の式 (EM)³⁴⁾

実験データの誤差を考慮して安全側に評価した式

iii) 池田の式

iv) 任意の放物線則の式

2) 反応式の変換

1) で示した各式とも酸化は放物線則に従って進行し酸化による重量増加は次式で表わされる。

$$W_g^2 = k_w t \quad \dots \dots \dots \quad (3.4.1)$$

k_w : 放物線則定数 [g² Q₂ / cm⁴ · sec]

t : 時間 [sec]

ここで各式の k_w は次のように表わされる。

$$\text{川崎の式 (BE)} : k_w = 0.468 \exp(-40710/RT) \quad \dots \dots \dots \quad (3.4.2)$$

$$\text{川崎の式 (EM)} : k_w = 0.6078 \exp(-40710/RT) \quad \dots \dots \dots \quad (3.4.3)$$

$$\text{池田の式} : k_w = 0.141 \exp(-37100/RT) \quad \dots \dots \dots \quad (3.4.4)$$

R : 気体定数 1.987 [cal/mol/°K]

T : 温度 [°K]

Fig. 3.4.1 には Baker-Just の式を含めて各 k_w を温度の関数として示した。川崎の式 (EM) は、すべてのデータ点の誤差範囲が直線の下になるように川崎の式 (BE) を上方へ平行移動したものである。

さて TOODEE 2 コードでの酸化層厚さは次のように計算される。時刻 t から $t + \Delta t$ の間に酸化層厚さが r_0 から $r_0 + \Delta r$ に変化するとすれば、

$$(r_0 + \Delta r)^2 - r_0^2 = k \Delta t$$

$$\therefore \Delta r = \sqrt{r_0^2 + k \Delta t} - r_0$$

ここで定数の k の単位は (ft²/hr) であるので式 (3.4.2) ~ (3.4.4) における k_w を単位変換する必要がある。また (3.4.1) における W_g は重量増加であるから Z_r と反応した酸素の量と考えてよい。したがって川崎の式 (BE) に対しては

$$0.468 [g_{Q_2}^2 / \text{cm}^4 \cdot \text{sec}] \left\{ \frac{91.22 [g_{Zr}]^2}{32.00 [g_{Q_2}]} \right\} \frac{3600 [\text{sec}/\text{hr}]}{\{6.5 [g_{Zr}/\text{cm}^3]\}^2 \{3048 [\text{cm}/\text{ft}]\}^2}$$

$$= 0.3488 [\text{ft}^2/\text{hr}]$$

ここで $91.22 [g_{Zr}]$, $32.00 [g_{Q_2}]$ は、それぞれジルコニウムと酸素の 1 グラム分子量を示す。また $6.5 [g_{Zr}/\text{cm}^3]$ は Zr の密度である。

同様にして、

$$(川崎 (EM)) \quad 0.6078 [g_{Q_2}^2 / \text{cm}^4 \text{sec}] = 0.4530 [\text{ft}^2/\text{hr}]$$

$$(池田) \quad 0.141 [g_{Q_2}^2 / \text{cm}^4 \text{sec}] = 0.1051 [\text{ft}^2/\text{hr}]$$

また指数関数の引数は

$$(川崎) - 40710/R [{}^\circ\text{K}]$$

$$= - 40710 [\text{cal}/\text{mol}] / 1.987 [\text{cal}/\text{mol}/{}^\circ\text{K}]$$

$$= - 40710 [\text{cal}/\text{mol}] \times 18 [{}^\circ\text{R}/{}^\circ\text{K}] / 1.987 [\text{cal}/\text{mol}/{}^\circ\text{K}]$$

$$= - 36879 [{}^\circ\text{R}]$$

$$(池田) - 37100/R [{}^\circ\text{K}] = - 33608 [{}^\circ\text{R}]$$

以上をまとめると次のようになる。

$$\text{川崎の式 (BE)} \quad k = 0.3488 \exp(-36879/T) [\text{ft}^2/\text{hr}] \quad (3.4.5)$$

$$\text{川崎の式 (EM)} \quad k = 0.4530 \exp(-36879/T) [\text{ft}^2/\text{hr}] \quad (3.4.6)$$

$$\text{池田の式} \quad k = 0.1051 \exp(-33608/T) [\text{ft}^2/\text{hr}] \quad (3.4.7)$$

ここで温度 T は $[{}^\circ\text{R}]$ で測る。

参考までに Baker-Just の式の k_w , k を示す。

$$k_w = 4.12 \exp(-45500/RT) \quad (3.4.8)$$

$$k = 3.054 \exp(-41218/T) \quad (3.4.8)$$

3) プログラムの変更

TOODEE 2 の入力には AVAIL (k) という配列があってオプションの指定あるいはパラメータの入力に用いられている。実際には AVAIL(1)~AVAIL(68) までが使用されていて残りの AVAIL(69) 以後は未使用状態であった。そこで以下に示すような入力データにより酸化反応速度式の指定ができるようにプログラムを変更した。

AVAIL(70) = 0. 又は入力なし : Baker-Just の式

= 1. : 川崎の式 (BE)

= 2. : 川崎の式 (EM)

= 3. : 池田の式

= 4. : 上記以外の式

AVAIL(71) = a [ft^2/hr] }
AVAIL(72) = b [${}^\circ\text{R}$] } : AVAIL(70)=4 の時のパラメータ

但し $k = a \exp(-b/T)$

AVAIL(73) = 0. 又は入力なし : 反応熱はプログラム内蔵の値 ($1.13892 \times 10^6 \text{ Btu}/\text{ft}^3$)

を用いる。

= 1. : 反応熱には AVAIL (74) で入力される値を用いる。

AVAIL (74) = Q : 反応熱 [Btu/ft³]

TOODEE 2 を複数個用いている TOBUNRAD についても同様の修正を行った。修正サブルーチンは

(TOODEE 2) INITM, ZRWAT

(TOBUNRAD) INITMA, INITMB, ……, INITMJ

ZRWATA, ZRWATB, ……, ZRWATJ

Table 3.4.1 に INITM, ZRWAT の具体的な修正個所を示す。INITMA ~ INITMJ, ZRWATA ~ ZRWATJ の修正個所も同一である。

4) チェック計算

i) 単体テスト

簡単なメインプログラムを作り、サブルーチン ZRWAT のみの単体テストを行った。1700°F ~ 2500°F の 8 通りの温度で 30 分間の酸化層厚さの増加を計算した。Fig. 3.4.2 は初期酸化層厚さ 0 で川崎の式 (BE) (式 (3.4.5)) により計算した結果である。各温度での酸化層厚さは時間とともに放物線状に変化し、各曲線の係数はそれぞれの温度について式 (3.4.5) より求めた値と一致することが確認できた。(3.4.6) 及び (3.4.7) の 2 式についても同様のチェックを行った。これらチェック計算により三つの酸応反応速度式は正しくプログラミングされたことが確認できた。

ii) サンプル問題によるチェック

TOODEE 2 コードのための標準問題 (WREM コードパッケージのチェック計算に用いた陸上 PWR のデータ) を、(3.4.5) ~ (3.4.8) の 4 つの式を用いて計算を行い比較した。Fig. 3.4.3 には各ケースの PCT ノード及び破裂ノードの被覆管表面温度を示す。被覆管表面温度が低い間は各ケース間で温度にはほとんど差がなく、PCT ノードの温度が 1700°F を越えるころより僅かながら差を生じるが、全体としてさほど大きな差ではなく、Baker-Just の式と川崎の式 (BE) を用いた 2 ケース間で最大約 60°F 程度である。Fig. 3.4.4 には PCT ノードの酸化層厚さの変化を示す。被覆管温度が 1850°F より高い時は Baker-Just の式による計算が最も酸化層が厚くなるが、1850°F 以下の場合は川崎の式 (EM) 及び池田の式の方が Baker-Just の式よりも酸化層が厚くなり、1600°F 以下の場合は、Baker-Just の式による結果が最も酸化層厚さが薄い。これは Baker-Just の式が高温領域で酸化を大目に見積るように作られていることからして当然の結果である。Fig. 3.4.5 には破裂ノードの内外面の酸化厚さを示した。

3.4.2 TOODEE 2 のその他の改良・修正

その他に改良・修正点は以下の点である。

- (1) 被覆管破裂後の逆流蒸気流の流量減衰のための改良
- (2) 燃料棒プレナム温度の取扱いについての改良
- (3) 無限ループの修正

(4) 実変数の比較方法の修正

(5) 水蒸気の分子量のエラー修正

これらについては既に TOODEE 2/SUS のレポート²⁶⁾の中に記述されているのでそれを参照されたい。

Table 3.4.1-(1) List of Modified and Added Statements in TOODEE2 for Introducing Various Equations of Zr-Water Reaction Rate

ISN	ST-NO	SOURCE PROGRAM	SEQUENCE
1		C***** SUBROUTINE INITEM C----- C----- D E S C R I P T I O N O F T H E P R O G R A M ----- C----- C THIS SUBROUTINE READS AN INITIAL TEMPERATURE DISTRIBUTION AND C ASSIGNS THE PERMANENT COOLANT TEMPERATURES. WHEN MORE THAN ONE C TEMPERATURE IS ASSIGNED TO THE SAME POINT, THE LAST ASSIGNED C VALUE IS USED. WHEN NO TEMPERATURE IS ASSIGNED TO A POINT, AN C ERROR STOP RESULTS. C VARIOUS PROGRAM OPTIONS AND INITIAL ZIRC OXIDE THICKNESSES ARE C READ IN C THIS SUBROUTINE ALSO READS THE POWER DISTRIBUTION DATA AND C VARIOUS CONSTANTS.	IN 00010 IN 00020 IN 00030 IN 00040 IN 00050 IN 00060 IN 00070 IN 00080 IN 00090 IN 00100 IN 00110 IN 00120 IN 00130 IN 00140 IN 00150
9		C***** EQUIVALENCE (AVAIL(2),PB),(AVAIL(3),PO,DEN),(AVAIL(4),PNT),IN 00580 (AVAIL(16),TEND),(AVAIL(20),TMAX),IN 00590 1 2 (AVAIL(21),EPS),(IPC*(1,1),TP(1,1),U(1,1)),(AXPO*(1),STR(1,1)),IN 00600 * (VOL(1,1)*RCP(1,1)),IN 00610 3 (RAPOW(1),STA(1,2)),(AVAIL(70),IZRO2),(AVAIL(73),IHEAT),IN 00620 DIMENSION E(:,:AMF(5,3))IN 00630 10 11 DATA EUNAME /'KAWA1','SAKI','EW',' ','(BE',' ') ',IN 00631 'KAWA1','SAKI','EW',' ','(EM',' ') ',IN 00632 'IXED','A EW',' ','(D',' ') ',IN 00633 ' ',IN 00634 C-----IN 00640	
370		371 WRITE (6,1006) J1,J2 372 WRITE (6,930) IXT,JYT,TMAX 373 TMAX=TMAX+459.7 374 WRITE (6,932) TSA,FIL 375 IF(CABS(AVAIL(70)).LT.1.0E-3) IZRO2 = 0 376 IF(AVAIL(70).GT. .999.AND.AVAIL(70).LT.1.001) IZRO2 = 1 377 IF(AVAIL(70).GT.1.999.AND.AVAIL(70).LT.2.001) IZRO2 = 2 378 IF(AVAIL(70).GT.2.999.AND.AVAIL(70).LT.3.001) IZRO2 = 3 379 IF(AVAIL(70).GT.3.999.AND.AVAIL(70).LT.4.001) IZRO2 = 4 380 IF(CAES(AVAIL(73)).LT.1.0E-3) IHEAT = 0 381 IF(AVAIL(73).GT. .999.AND.AVAIL(73).LT.1.001) IHEAT = 1 382 IF(IZRO2.NE.0.AND.IZRO2.NE.4) WRITE(6,701)(E,,AMF(L,IZRO2),L=1,5) 383 IF(IZRO2.EQ.4) WRITE(6,702)AVAIL(71),AVAIL(72) 384 IF(IHEAT.EQ.1) WRITE(6,703)AVAIL(74) 385 701 FORMAT(' 9A,1 /R OXIDE THICKNESS WILL BE CALCULATED BY ',524) 386 702 FORMAT(' 9A,1 /R OXIDE THICKNESS WILL BE CALCULATED BY ', 1 'NEXT EQUATION')/9X,'K = ',F10.7,'* EXP(-',F0.1,'/T)') 387 703 FORMAT(1H ,9A,1 /R-O2 REACTION HEAT RATE IS ',F10.1,' (BTU/FT3)') 388 N=0 IMI=1	IN 07360 IN 07370 IN 07380 IN 07390 IN 07391 IN 07392 IN 07393 IN 07394 IN 07395 IN 07396 IN 07397 IN 07398 IN 07399 IN 07400 IN 07401 IN 07402 IN 07403 IN 07404 IN 07405 IN 07410

Table 3.4.1-(2)

ISN	ST-NO	SOURCE PROGRAM	SEQUENCE
1		SUBROUTINE ZNWAT	Z*T00010
		C-----DESCRIPTION OF THE PHUGMA MODEL	Z*T00020
		C-----	Z*T00030
		C THIS SUBROUTINE CALCULATES THE AMOUNT OF ZIRCONIUM - STEAM	Z*T00050
		C REACTION ACCORDING TO THE KINETICS OF BAKER-JUST. THE HEAT IS	Z*T00060
		C APPLIED AS A HEAT FLUX APPLIED TO THE NEXT-TO-LAST GRID LINE	Z*T00070
		C-----	Z*T00080
9		DIMENSION DXR1(18),DXH2(18),DXP3(8),DXH4(8)	Z*T00560
10	1	REAL K1(5),K2(5),H(2)	Z*T00570
11		DATA (K1(I),I=1,4)/ 3.054, .3483, .4530, .1051 /	Z*T00571
12		DATA (K2(I),I=1,4)/ 4.1218E4, 3.6679E4, 3.6679E4, 3.3600E4 /	Z*T00572
13		DATA H (1) / 1.13692E6 /, LLL / 0 /	Z*T00573
14			Z*T00574
15		IF(LLL,NE,0) GO TO 40	Z*T00781
16		I = ILR02 + 1	Z*T00782
17		H = IHET + 1	Z*T00783
18		K1(5)=AVAIL(1/)	Z*T00784
19		K2(5)=AVAIL(1/2)	Z*T00785
20		H (2)=AVAIL(1/4)	Z*T00786
21		LLL = 1	Z*T00787
22	40	DO 36 J=2,JM	Z*T00790
23		DXR1S=DSQRT(XR1(J)**2+2.*K1(1)*DT/DEXP(K2(1)/TES(J)))-XR1(J)	Z*T00800
24		CT=RA(IM)+DELRA(IM,J)-RA(IM2)-DELRA(IM2,J)	Z*T00810
25		X1=XR1(J)	Z*T00820
26		X2=XR2(J)	Z*T00830
27		XT=X1+X2+DXR1S	Z*T00840
28		IF (XT,GT,CT) DXR1S= CT-X1-X2	Z*T00850
29		DXR1(J)=DXR1S	Z*T00860
30	36	XR1(J)=DXR1(J)+XR1(J)	Z*T00870
31		HFM1(J)=H(11)*DXR1(J)/DT/2.	Z*T00880
32	38	CONTINUE	Z*T00890
33		IF (IRUP,EQ,0) RETURN	Z*T00900
34		DO 39 J=2,JM	Z*T00910
35		IF (J,NE,JS) GO TO 39	Z*T00920
36		DXR2S=DSQRT(XR2(J)**2+2.*K1(1)*DT/DEXP(K2(1)/TES(J)))-XR2(J)	Z*T00930
37		X1=XR1(J)	Z*T00940
38		X2=XR2(J)	Z*T00950
39		CT=RA(IM)+DELRA(IM,J)-RA(IM2)-DELRA(IM2,J)	Z*T00960
40		XT=X1+X2+DXR2S	Z*T00970
41		IF (XT,GT,CT) DXR2S= CT-X1-X2	Z*T00980
42		DXR2(J)=DXR2S	Z*T00990
43		XR2(J)= DXR2(J)+XR2(J)	Z*T01000
44		HFM1(J)=H(11)*DXR2(J)/DT/2.+HF1(J)	Z*T01010
45	39	CONTINUE	Z*T01020
46		RETURN	Z*T01030
47		END	Z*T01040
			Z*T01050

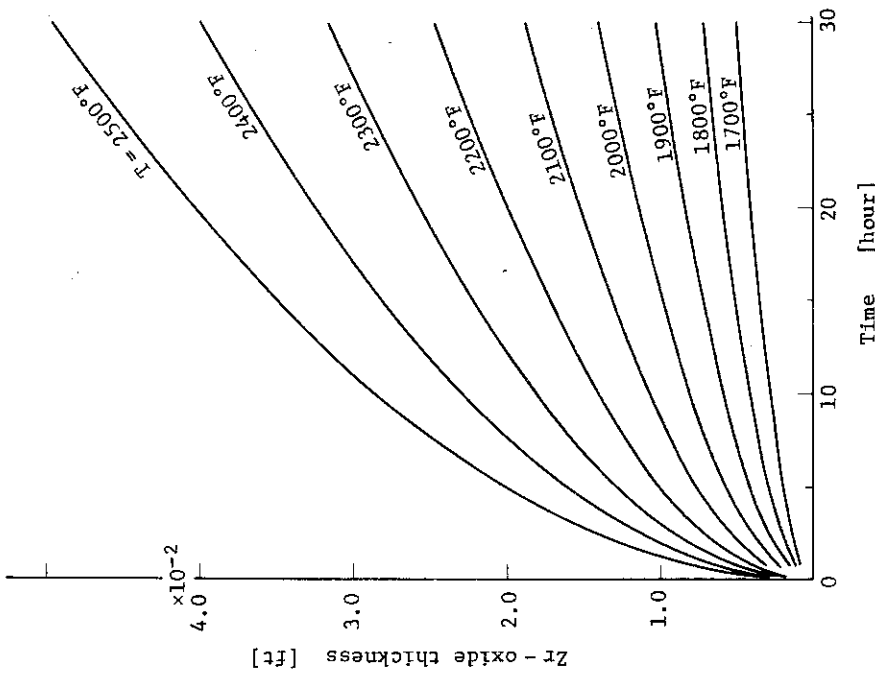


Fig. 3.4.2 Oxide Thickness as a Function of Heating Time

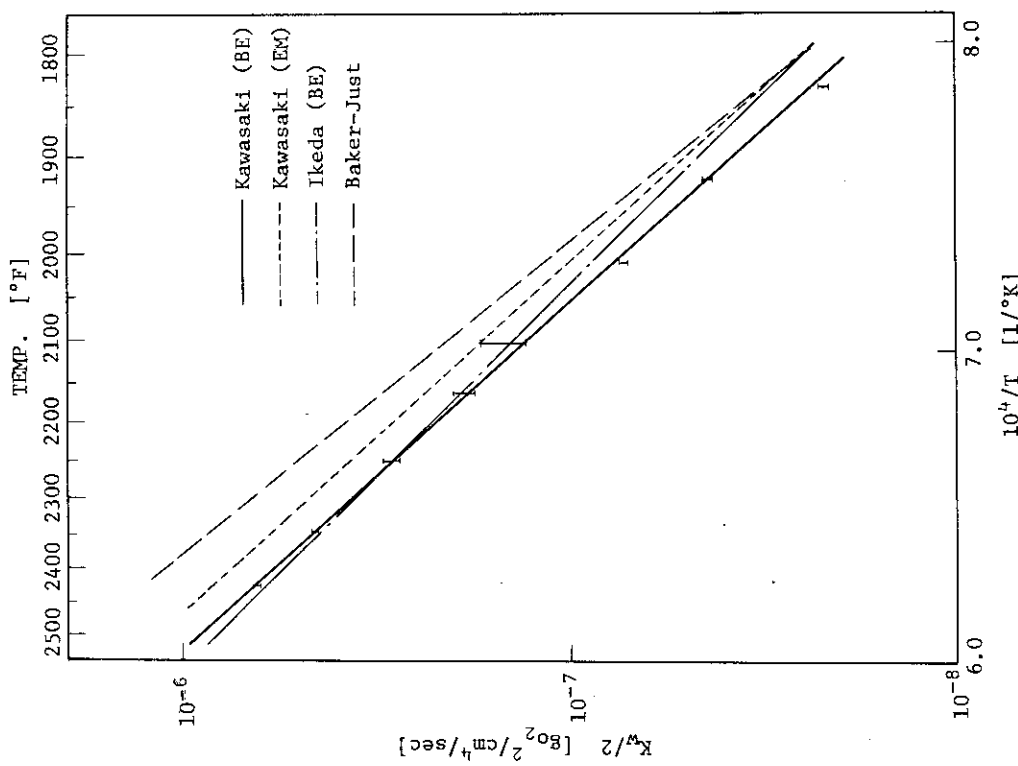


Fig. 3.4.1 Weight Gain in Zr-Water Reaction Estimated by Various Equations

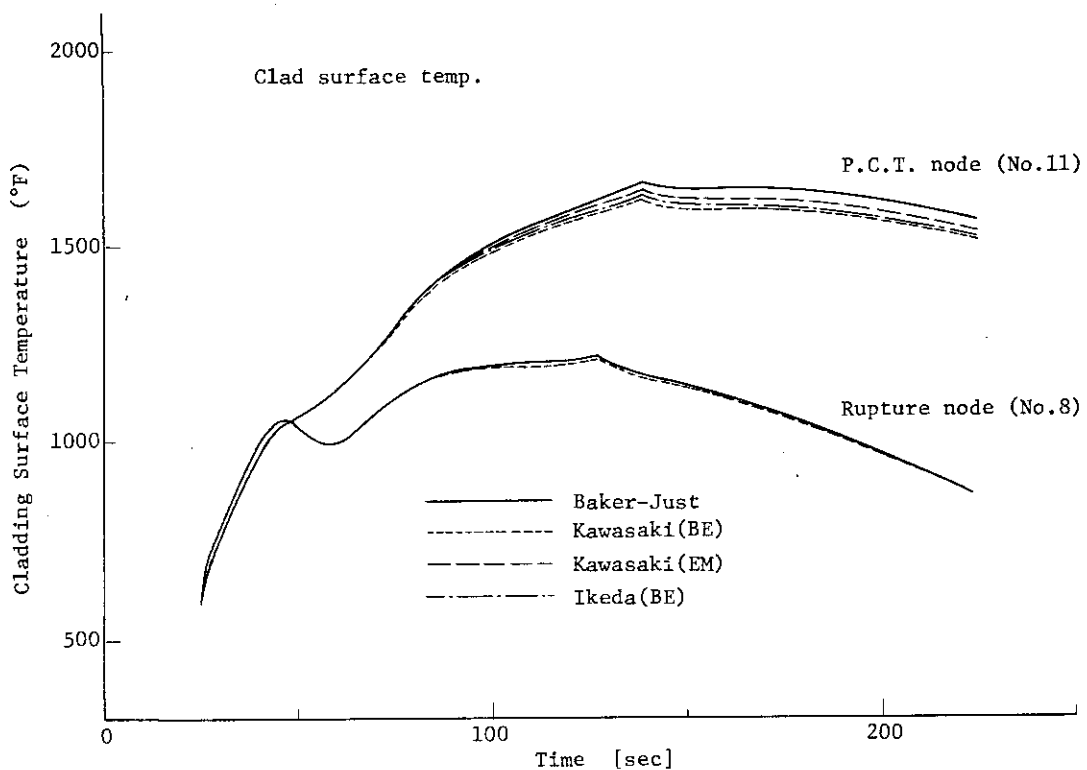


Fig. 3.4.3 Cladding Surface Temperatures Calculated with Various Equations for Zr-Water Reaction

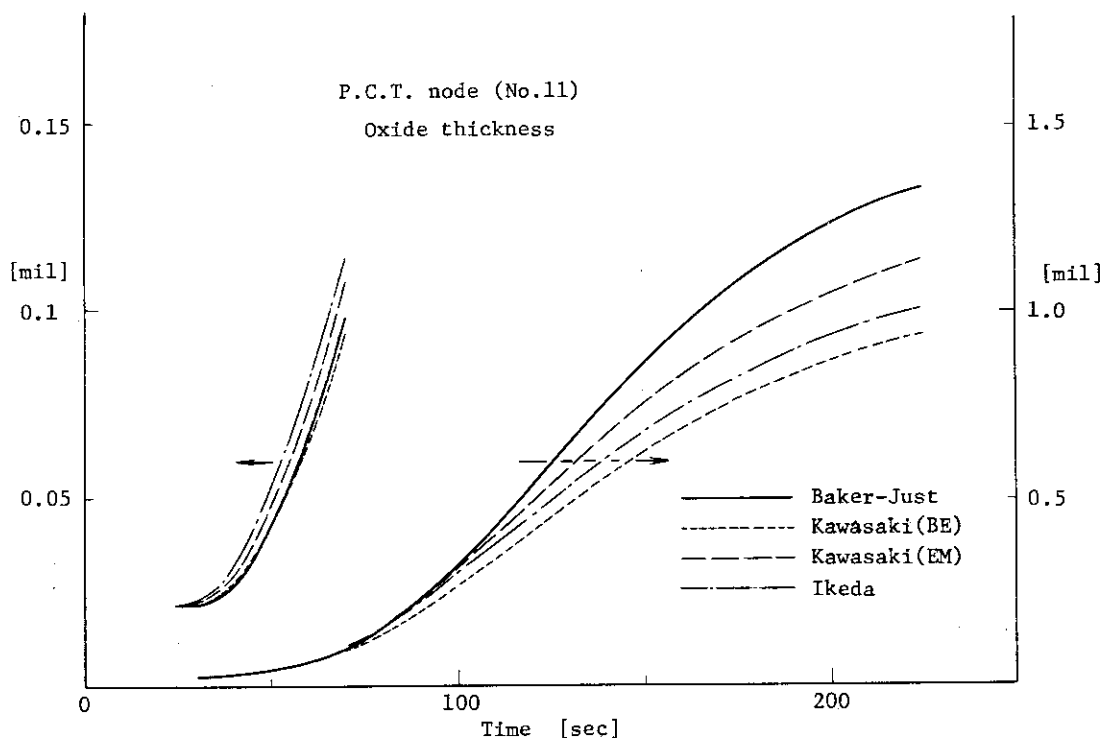


Fig. 3.4.4 Cladding Oxide Thickness at PCT Node Calcaulated with Various Equations for Zr-Water Reaction

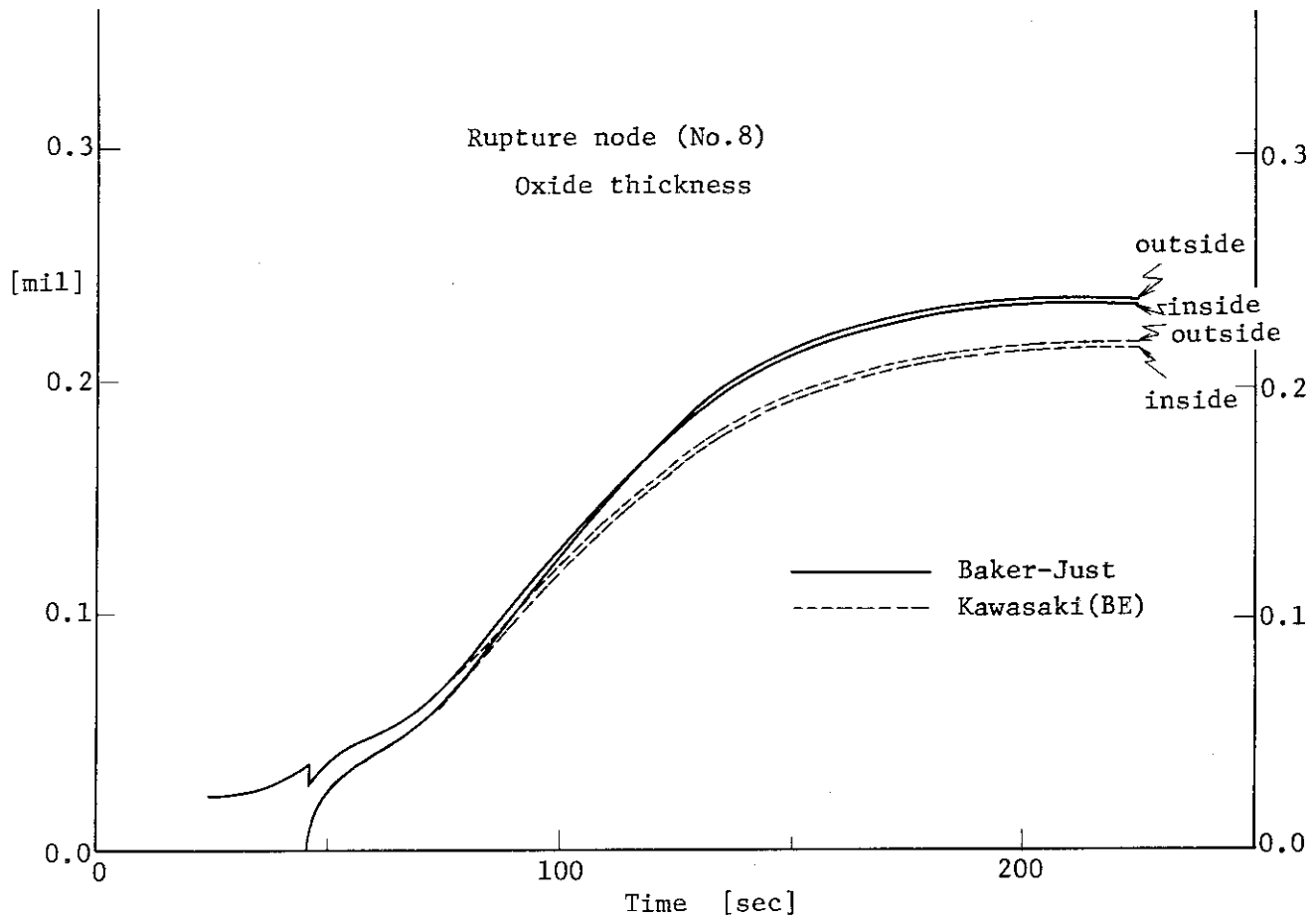


Fig. 3.4.5 Cladding Oxide Thickness at Ruptured Node Calculated with Various Equations for Zr-Water Reaction

3.5 MOXY および MOXY-PLOT の改良・修正

3.5.1 MOXY のプロッタ・ルーチンの改良

1) 症状

MOXY/MOD 32 Base Case の計算結果の報告書作成中に、輻射熱伝達率のプロッター図が、プリント出力されている値と大幅に異なることが発見された。

そこで、MOXY-PLOT コードで出力されるすべてのプロッター図を調べたところ

- ① 輻射熱伝達率
- ② 対流熱伝達率
- ③ 金属・水反応熱発生率

が、MOXY/MOD 32 のプリント出力と大きく異なることがわかった。

2) 診断

原因の可能性として考えられることとして

- i) 他の燃料棒の値をプロットしている。
- ii) 全く別の値をプロットしている。
- iii) そのエラーは MOXY/MOD 32 にある。
- iv) そのエラーは MOXY-PLOT にある。

などが考えられた。またこの診断中に、WREM コードの MOXY/MOD 30 で計算した Base Case でも同様の症状があることがわかった。今回発見されるまで、全く気付かなかつたものである。

1) の可能性を確かめるために、他の燃料棒のプロッター図とプリント出力の値を比較したところ、

「この症状がでているのは、対角線の燃料棒のみである。」
ことがわかった。また、さらに

「プロッター図から読みとった値は、プリント出力の値の約 $1/2$ になっている。」
ことがわかった。

そこで、MOXY 本体のプログラムの調査を行った結果、原因として次のことが判明した。なお以下の内容は、MOD 32, MOD 30 ともに共通である。

プリント出力を書くサブルーチン OUTPUT では、1.1 で示した①, ②, ③の計算値を書き出すときに、対角線上の燃料棒に対しては計算値を 2 倍して書いている。しかし、プロッター用のデータを書いている FTMAIN の中では、計算値そのものをテープ（又はディスク）に書いている。そして、MOXY-PLOT コードでは、テープ（又はディスク）に書かれた値そのものをプロットしている。

これについては、プリント出力のための処置が正しい。すなわち、上に述べたように、対角線によって分割されたバンドルの半分を計算上考える時、対角線上の燃料棒については、対角線で分けられた片側 $1/2$ に対して計算しているからである。したがって、温度、半径、酸化層厚さ等はそのままの値でよいが、集合体全体として考えた場合、発生熱などに関しては、計算値の 2 倍の値がその燃料棒の値となるべきである。

この調査の際に、金属・水反応熱発生率について、次のことがわかった。

MOXYコードでは、プロッタ用のデータとして、外側、内側別々に金属・水反応熱発生率を書いているが、プロッタ図にててくる金属・水反応熱発生率は外側についてのみである。そして内側のそれをプロットする入力オプションは MOXY-PLOT に用意されていない。

金属・水反応の情報として、酸化層厚さについては、内側、外側それぞれのプロット図がある方が便利であるが、反応熱発生率については、内側、外側合計の値すなわち、その燃料棒における反応熱発生率がプロット図として表わされた方が現象を見る上で便利と思われる。

また、MOXY-PLOT コードで金属・水反応熱発生率として、1つの入力が与えられるということからも、作者は内側、外側の合計の値をプロットしようとしたものと思われる。

3) 処置

プロッター用のデータは、FTMAIN の中で、サブルーチン DWRT を呼び、DWRT の中で実際に書いている。ただし、そのデータに DWRT を呼び、DWRT の中では 1 つの変数 (vector) で書いているので、この DWRT の中で対角線上の値を 2 倍することはできない。また、FTMAIN の中で、これを行うには、2 倍するものについてもう 1 つずつ、配列をもった変数をつくる必要がある。

そこで、2 倍する必要のあるデータをテープ（又はディスク）に書くためのサブルーチン DWRT2 をつくった。その中で、対角線上のものは 2 倍し、その他のものは、そのままの値を書くことにした。したがって、2 倍する必要のあるデータを書くときには、今まで DWRT を呼んでいたのを DWRT2 を呼ぶことになった。

ここで、対角線上であるか否かを判断するための変数 MIRRM が必要なので、これは FTM-AIN と DWRT2 とに COMMON 文をつくり、データを渡した。

次に、金属・水反応熱発生率については上記と同様であるが、内・外面合計の値をプロットするために、これまで、外面の reaction heat rate としてプロッター用のデータとしていた値 QMWRI を

$$QMWTOT = QMWRI + QMWI$$

として内外面合計の値 QMWTOT に変更した。MOXY-PLOT では、この MWR の値をプロットしていたので、上記のような変更を行ったことによって、金属・水反応熱発生率のプロッターグラフは、これまでの入力方法のままで、内・外面合計の値が表わされることになる。

以上の修正・変更点について関係するソースリストを本節の最後に載せておく。

4) MOXY-PLOT の改良

前記 1 部で述べた作業を行った際に、MOXY-PLOT で使用されているサブルーチンの中に RELAP 4 コードで使用されているものよりも古いバージョンのものがあり、グラフィックディスプレイを使用するのに不都合な点が出たため、これらを新しいバージョンのものに入れ換える作業を行った。

これは、プロッタや COM の場合は障害はないが、グラフィックディスプレイを使用して出力した場合、図の縦軸のスカラーの数字と題名が書けなかったことによる。また、この入れ換を行った際に、図のヘッダーとタイトルについてのみは、以前のサブルーチンを使用した方が見やすいので、そちらを使用することにした。

3.5.2 MOXY/MOD 32 中のサブルーチンの修正

MOXY/MOD 32 の Base Case 計算中に生じたエラーを解決するために、プログラムを以下のように修正した。

1. Error

サブルーチン, FIJ, STRING の中で、 DSQRT の中が負になった。
 $(-1.8 \dots \times 10^{-18})$

2. 検討

これは、ビューファクターを計算するところであり、このときは、 DSQRT の中はゼロになるべきところであった。

負の値といっても、ゼロとみなすことのできる小さい値であり、これは計算による虫と考えられる。

3. 修正

プログラム上で DSQRT (X - Y) とされていることから考えても $X \geq Y$ なる関係が必ず成立するので、 X - Y の値が無視できない程の負の値をもつことはないと思われる。したがって、これを、

$$\text{DSQRT}(\text{DABS}(X - Y))$$

と修正することによって、この問題を解決することにした。すなわち、 DSQRT の値は正に出るが、これもゼロとみなすことのできる程度の値であり、計算結果に影響を及ぼすものではないと判断したわけである。

4. 追記

今回のエラーは、計算機の差によって生じる可能性のあるエラーであろう。また、ビューファクターの再計算、しかも 3 本目の被覆管の破裂のところで生じており、導入したときのサンプル問題がたまたま破裂を生じないケースであったために、変換作業時には発見されなかったと考えられる。

Table 3.5.1-(1) List of Modified Statements in MOXY(MOD32)

ISN		ST-NO	SOURCE PROGRAM	SEQUENCE
C*****				
1		IMPLICIT REAL*8(A-H,O-Z)		MAIN0010
2		DIMENSION F(37,37),W(37),CONV(37),HODO(37), BS1(37),RHT1(37),HSTO(37),DRP(37),DRP1(37),OMWR(37),SORDK(8D), DKT1MC(80),HZ1(57),T21(57),TSINK(57),TME(57),TITLE(20)		MAIN0020 MAIN0030 MAIN0040 MAIN0050 MAIN0060 MAIN0070
3		DIMENSION H22(57),T22(57),HZ3(57),T23(57),HZ4(57),T24(57)		
4		DIMENSION NR1(37),NDR(37,3),DR(37,3),REGSZE(37,3),OA(37,6), Q(37,6),QB(37,6),FLUX(37),TAVG(37),T(37,25),TK(25),C(25), NI(37,3),VR1(37,3),NS1(37),A(37,25),S(37,25),V(37,25),B(25), D(25),A1(37,25),TL(37,25),Q(6),E(25)		MAIN0080 MAIN0090 MAIN0100
5		DIMENSION EXR(37),R2(37),CT(37),MIRRIM(8,37),OMWI(37),FLXI(37)		MAIN0110
6		DIMENSION BB(37),IROW(37),JCOL(37),SCALFC(37),HZ5(57),T25(57)		MAIN0120
7		DIMENSION F(65,65),RO(65),AEA(65),AREA(65),TA(65,35),TOD(4)		MAIN0130
8		DIMENSION DRP1(37),DRP2(37),GAPCON(37),GAPC2(37),INDOLD(7)		MAIN0140
9		DIMENSION DT1(10),TDT(10),NOUTP(10),TOUT(10),SO(30),TB(30)		MAIN0150
10		DIMENSION Z(5251),IZ(2,1),HEADR(15),TITLE(1),INTGR(250),LGCAL(50)		MAIN0160
11		DIMENSION Y(1500)		MAIN0170
12		DIMENSION RL(37),R5(37),CLDGAP(37),SWELL(37),RUPTUR(37)		MAIN0180
13		DIMENSION OMWTOT(37)		MAIN0185
14		C***		MAIN0190
15		C***		MAIN0195
16		COMMON/MMM/MIRRIM		MAIN0200
17		REAL TITLE,TOD,TRLR		MAIN0210
18		REAL EMFLAG,XMOD		MAIN0220
19		INTEGER SWT,HSCCE,ALTHRU,RECOMP,STFL0		MAIN0230
20		INTEGER RODTYP(37),ARYTYP		MAIN0240
21		REAL*8 MSTA,MOLEFR(6,36),MWT(7)		MAIN0250
22		REAL*8 MFN(3)		MAIN0260
23		LOGICAL ISCAN0,SWELL,SPRAY,ROD1,ISR0D0,IGAPCL		MAIN0270
24		LOGICAL LGCAL,EM,ERR,E@SWLR,EMFLG,SKIP,THETDA,GAPCAL,ABRV,RUPTUR		MAIN0280
25		C***		MAIN0290
26		EQUIVALENCE (LGCAL(7),IGAPCL), (INTGR(18),I0UEN0)		MAIN0300
		EQUIVALENCE (Z(1),IZ(1)),(TITLE(1),TITL(1)),(Z(1),Y(501))		MAIN0310
		EQUIVALENCE (Z(1001),DT1(1)),(Z(1011),TDT(1)),(Z(1021),TOUT(1))		MAIN0320
		EQUIVALENCE (Z(1031),T(1)),(Z(2031),REGSZE(1)),(Z(2301),SORDK(1))		MAIN0330
				MAIN0340

Table 3.5.1-(2)

```

390 DO 8150 J=1,NREG MAIN4640
391 8150 QZ(I,J)=QA(I,J) MAIN4650
C
C***** UPDATE DRP MAIN4660
C
392 IF(OMWR,E0,0) GO TO 7250 MAIN4670
393 DO 8000 I=1,N MAIN4680
394 DRP1()=DRP2() MAIN4690
395 8000 DRP() = DRP1() MAIN4700
396 7250 IF(N7,GE,LTS,OR,ALTHRU,E0,2) CALL OUTPUT(RHT1,CONV,OMWR,HSTO,DRP,MAIN4720
    1 T,TAVG,TT,DT,TITLE,IMWR,NTS,NCONV,RECOMP,N7,SWT,N,NN,LNPNG,TCON,MAIN4740
    2 TA,DRP1,GAPCON,RATIO,QA,MFN,RDATE,MIRRIM,NF,NSYM,ABRV,NI,NLIM,MAIN4750
    3 RO,OMWI,TOD,NA) MAIN4760
397 IF(SWT,E0,2) GO TO 9000 MAIN4770
398 SWT=2 MAIN4780
399 WRITE(7) N,NN,NREG,((NI(I,J),J=1,NREG),I=1,N),TITLE,MFN,RDATE,TOD,MAIN4790
400 9000 CALL DWRT1(TT,RATIO,TST,TST) MAIN4800
401 DO 9100 I=1,NN MAIN4810
402 CALL DWRT(T(1,I),N) MAIN4820
403 9100 CONTINUE MAIN4830
404 CALL DWRT(HODO,N) MAIN4840
405 CALL DWRT(FLUX,N) MAIN4850
406 CALL DWRT2(RHT1,N) ← Radiant Heat Transfer Rate MAIN4860
407 CALL DWRT2( CONV+N ) ← Convective Heat Transfer Rate MAIN4870
408 DO 9999 I=1,N MAIN4872
409 OMWTOT(I)=OMWR(I)+OMWI(I) ← Metal-Water Reaction Heat Rate MAIN4873
410 9999 CONTINUE MAIN4874
411 CALL DWRT2(OMWTOT,N) MAIN4880
412 CALL DWRT(GAPCON,N) MAIN4890
413 CALL DWRT(DRP,N) MAIN4900
414 CALL DWRT(DRP1,N) MAIN4910
415 CALL DWRT(RO,N) MAIN4920
416 CALL DWRT(CT,N) MAIN4930
417 CALL DWRT(FLX1,N) MAIN4940
418 CALL DWRT2(OMWI,N) MAIN4950
419 IF(ALTHRU,E0,1) GO TO 30 MAIN4960
420 WRITE(7) TRLR,TRLR,TRLR,TRLR MAIN4970
421 GO TO 15 MAIN4980
C
C***** COMPUTE INITIAL STEADY-STATE CONDITIONS MAIN4990
C
422 DO 450 I=1,NP MAIN5000
423 NP=N1 MAIN5010
424 CALL TEMZ(NRI,NDR,N1,NS1,DR,VR,A,S,V,B,D,GA,HODO,FLUX,TK,MAIN5040
    1 C,T,TAVG,P1,TST,TEP,N,NA,RHOF ,NPIN,ITM,NN,ICON,TCON,SPTR,MAIN5050
    1 SIGMA,E1,E2,R1,R2,CONCON,TJUMP,PGAS,GAPCON,MOLEFR,IGAPCL,RODTYP,MAIN5060
    2 RUFF,HUFCL,CT,TFAVG,TCLAVG,CLDGAP,POROS,MNT,SWELL,RUPTUR) MAIN5070
425 450 CONTINUE MAIN5080

```

Table 3.5.1-(3)

		FACOM 230-75 M7 FORTRAN-IV H COMPILER (OPT0,CP)	SOURCE PROGRAM LIST -780322-(V02,L12) DATE 78.1
ISN	ST-NO	SOURCE PROGRAM	SEQUENCE
	C*****	DWRT2 11/14/78 K,MATSUMOTO/JAERI	DW200010
		SUBROUTINE DWRT2(A,N)	DW200020
		IMPLICIT REAL*8 (A-H,O-Z)	DW200030
	C	WRITES DOUBLE-PRECISION VECTORS IN SINGLE PRECISION	DW200040
		DIMENSION A(1),MIRRIM(B,37)	DW200050
		COMMON/MMM/MIRRIM	DW200060
		REAL B(37),XM	DW200070
		DO 100 I=1,N	DW200080
		XM=1,	DW200090
		IF(MIRRIM(2,I),E0,0) XM=2.	DW200100
		B(I)=A(I)	DW200110
		B(I)=B(I)*XM	DW200120
	100	CONTINUE	DW200130
		WRITE(7) (B(I),I=1,N)	DW200140
		RETURN	DW200150
		END	DW200160

Table 3.5.1-(4)

		FACOM 230-75 M7 FORTRAN-IV H COMPILER (OPT0,CP)	SOURCE PROGRAM LIST -780322-(V02,L12) DATE 78.1
ISN	ST-NO	SOURCE PROGRAM	SEQUENCE
	C*****	DWRT 06/14/74 D,R,EVANS	DWRT0000
		SUBROUTINE DWRT(A,N)	DWRT0010
		IMPLICIT REAL*8 (A-H,O-Z)	DWRT0020
	C	WRITES DOUBLE-PRECISION VECTORS IN SINGLE PRECISION	DWRT0030
	C	ON IBM	DWRT0040
		DIMENSION A(1)	DWRT0050
		REAL B(37)	DWRT0060
		DO 100 I=1,N	DWRT0070
		B(I)=A(I)	DWRT0080
	100	CONTINUE	DWRT0090
		WRITE(7) (B(I),I=1,N)	DWRT0100
		RETURN	DWRT0120
		END	DWRT0130

Appendix A PWR再浸水・再冠水期間の炉出力計算手法

PWRの大破断LOCAを解析する場合、ブローダウン中の炉出力はRELAP 4-EMコードで冷却材密度変化による反応度フィードバック等を考慮して一点近似の kinetics を解いて得られる。再浸水・再冠水期間中では炉出力に対する核分裂エネルギーの寄与は小さいけれども無視し得るほどではない。そのためブローダウン中の計算と矛盾なくこの期間の炉出力を計算して RELAP 4-FLOOD によるシステム再冠水計算、TOODEE 2 (又はTOBUNRAD) による燃料棒ヒートアップ計算の入力データとする必要がある。

RELAP 4-EMでは冷却材密度変化、燃料温度変化に起因するフィードバック反応度を計算して炉心動特性を解く他に、反応度の時間変化を入力して炉心動特性を解くこともできる。その機能を活用して再浸水・再冠水期間の炉出力計算を行うこととする。

同じ手法は既に Ref. 36)において使用されている。

使用するモデルはFig. A 1 に示すように 1-ボリューム、2-ジャンクション、1-炉心ヒート・スラブからなりたっている。入力データ・リストを Table A 1 に示す。解析のつど変えるべき入力データは、炉心動特性定数 (card 140000) と総反応度の時間依存のデータ (card 14100Y) のみであり、物理的に意味があるのもこれらだけである。この総反応度の時間依存のデータは、バイパス終了まではブローダウン計算の結果を、それ以降は外挿した値を使用する。

Fig. A 2 にブローダウン計算より得られた反応度の時間変化と、それから作成した炉出計算のための入力値を示す。Fig. A 3 にはこの入力データにもとづいて計算された計算結果を示す。

Appendix B PWR再浸水期間中の ECCS 流量計算手法

RELAP 4-EMを用いてブローダウン計算をバイパス終了時刻 EOBP を超えて（即ち再浸水計算を）行って、ECC 水を注入し続けると均質モデルのために圧力が非物理的なほど低下する。即ち格納容器圧力は 30 psia 程度あるにもかかわらず一次系は数 psia にまで下がる。又この計算によって得られる BOCREC 時の圧力容器内の状態とくにダウンカマーの状態は非物理的なものである。そのため現在の解析手法では再冠水計算の RELAP 4-FLOOD の BOC-REC 時の初期条件として、燃料棒温度は TOODEE 2 の断熱計算によって得られた値、又 SG 2 次側条件は、EOBP 条件を使用している。従ってブローダウン計算を、EOBP を超えて計算する必要があるとすれば ECCS 流量を得るためのみである。しかしながらこの期間のこの種の計算によって得られる圧力は上述のように非現実的であり、かつ長い計算時間を要する CEOBP までの 2 ~ 3 倍）。従って EOBP 以降の ECC 流量について簡便な方法で、より物理的な結果を得ることが望ましい。

ここでは RELAP 4 の Time Dependent Volume Condition の機能を活用した手法を述べる。この手法は Ref. 37) の示唆に基づいたものである。

使用するモデルは Fig. B1 に示すように 3-ボリューム、4-ジャンクションから成り立っている。ノード[#]①は健全ループの蓄圧器を示すもので健全ループが N 個あればそれを 1 つで模擬する。ノード[#]②は蓄圧器とコールド・レグを結ぶ配管を表わしている。ノード[#]③はコールド レグを表わすリザーバーであり、このノードに対して time dependent volume condition を使用する。ジャンクション J 3, J 4 はそれぞれ低圧注入系 (LPIS), 高圧注入系 (HPIS) を

表わす。Time dependent volume condition のうち、この場合物理的に意味のある量は圧力のみであり、それはEOBPまではブローダウン計算によって得られるコールドレグ圧力を、EOBP以降はCONTEMPT-LT(EM)によって計算される格納容器圧力を入力する。Table B 1 に入力データリストを示す。Fig.B 2にこの入力データによるAC(蓄圧器)からの流量計算結果を示す。

Fig.B 3に他の入力データを用いて計算された3ケースについて計算結果を比較してある。ケース1はブローダウン計算におけるAC流量、ケース2は、3ボリューム問題でEOBP以降もブローダウン計算によるコールドレグ圧力をtime dependent volume conditionとしたもの、ケース3はEOBP以降は格納容器圧力をtime dependent volume conditionとしたものである。図から明らかなようにケース1とケース2はほとんど同じといってよいほどよく一致しており、この手法の正当性を示している。ケース2とケース3ではリザーバー圧力がケース3の方が高くなるのでEOBP以降の流量はケース3の方が小さくなり、ACが空になる時刻においてもケース3が1秒遅くなる。そのためBOCRECはケース3の方が若干遅くなりより保守的な結果を与える、かつケース2よりは現実に近いと考えられるのでケース3のような入力データを使用することが妥当と考えられる。

Appendix C RELAP 4によるブローダウン計算についてのノート

(1) スタグネーション・プロパティ・オプション

RELAP 4/MOD 5, MOD 6においては臨界流を計算するさいの変数である圧力、エンタルピーをそれまでのスタディック・プロパティを使用する方法に加えて、スタグネーションプロパティを使用するオプションが追加された。このオプションを使用するためにはISTAGP=(on Card 082000)とすればよい。しかしながら我々の検討の結果このオプションを採用することは不適当であると結論されたので使用しない。

(2) EMオプションの取り方について

RELAP 4/MOD 3まではISPROG=1(on Card 010001)をとることでEMの経路を取るようになっているが、MOD 5, MOD 6ではISPROG=1とするとISTAGP=1としなければならなくなる。そのためISPROG=0としてIPROG=IEMHT=IEMPS=IEMEC=1(on Card 010003)とすることで同様の機能を持たせる。

(3) 熱伝達計算ロジックの取り方

RELAP 4/MOD 6でEM熱伝達ロジックを採用するためには、NSUR=-1(on Card 150000)としなければならない。

Appendix D RELAP 4-FLOODによる再冠水解析の入力データ作成法

RELAP 4-FLOODコードによる再冠水計算はBOCRECを起点として、つまり過渡状態の途中から開始するので、入力データ作成上は先ずBOCREC時刻の決定が必要である。次にそのBOCREC時刻に基づいて、他の計算系列(ブローダウン解析、格納容器内圧解析、燃料棒温度解析)の結果からBOCRECにおけるプラントの状態に関するデータと、再冠水期間中の境界条件となる諸データ(格納容器内圧変化、崩壊熱曲線、注水率、等)を作成する。

(1) BOCREC 時刻の決定

プローダウン解析またはそれに代る簡易計算 (Appendix B) による健全ループ側の ECC 注水率 (蓄圧注入系, 低圧注入系, 高圧注入系) を積分し, 健全側コールドレグ及び下部プレナムを満水にするまでの時間を求める。その際, ECC 水がダウンカマ部を自由落下する時間も考慮する。例えば, プローダウン解析によるバイパス終了時刻が t_{EOB} , ECC 注水率の積分量がコールドレグと下部プレナムを満たすまでの時間を Δt_{LP} , ダウンカマ部自由落下時刻を Δt_{FF} とすれば, BOCREC 時刻 t_B は

$$t_B = t_{EOB} + \Delta t_{LP} + \Delta t_{FF}$$

として求まる。以上は単にマスバランスから決まる時刻であり, 場合によっては圧力容器構造物によるダウンカマ部での蒸気発生による ECC の落下遅れや, 破断口へのはじき飛ばしの効果 (いわゆる Hot - Wall 効果) を考慮する必要も生じる。³⁸⁾ しかしながら最近の LOFT³⁹⁾ によれば, Hot - Wall 効果による ECC の落下遅れはかなり少ないと報告されているので, 上に述べたような単純なマスバランスによる評価でも (根拠の怪しいモデルを追加することを考えるよりは) 問題ないと思われる。なおマスバランスで計算するさいの水の密度は, 予想される BOCREC 時刻での格納容器内圧下での, 適当な温度 (コールドレグに対しては ECC 水の温度 下部プレナムに対しては構造材からの伝熱による昇温を考慮した温度) における値を用いる。

(2) BOCREC 時刻のプラント状態に関するデータ

RELAP 4 コードは必ず定常状態から計算が開始される ($t = 0$ は常に定常状態と見なして計算する)。したがって本来過渡変化の途中である BOCREC 時のプラント状態を, 例えばプローダウン解析を延長したものからデータを作りて入力しても, 正しく計算が行われる訳ではない。そこで RELAP 4-FLOOD の入力としては, BOCREC すなわち再冠水開始時には, 一次系の圧力は格納容器内圧と同一圧力でどこでも一定とし, 圧力容器下部の炉心下端以下にのみ水がたまっているとする。一次系の圧力一定の仮定は, ループ部分の流動がほとんどなく停滯していると見なすことに対応するが, これは LOCA 時に実際に生じる現象から考えても, そう悪い仮定ではない。下部プレナムは水すなわち ECC で満たされているとするが, その水温は飽和温度よりやや低目の値を用いる。実際のプラントで予想される強サブクールの水温, すなわち ECC がダウンカマ壁面等で緩められる効果を考えて求められた水温を下部プレナムに対して用いると, RELAP 4 の均質平衡モデル特有の凝縮効果の過大評価のために計算が破綻する。この実ベースの温度は後で述べる FLECHT 相関式のための入力にのみ用いる。

一次系の圧力一定の仮定に対応して, ジャンクションデータの流量は 0 とする。但し, ECCS を表わすフィルジャンクション (コールドレグではなくダウンカマに注水する) には BOCREC 時の注水率を初期流量として与える。

炉出力は RELAP 4-POWER で計算された崩壊熱曲線により計算する。蒸気発生器 2 次側の状態はバイパス終了時のプローダウン計算結果を流用する。これはリフィル期間中は 2 次側の方が温度が高く, すでに 1 次側へのヒートソースとなっていると考えられるので, こうすることにより再冠水中のヒートソースの温度を高目に見積るためである。

ジャンクションの形状損失係数 (K - ファクター) はプローダウン解析のモデルとの整合性を図るために原則としてプローダウン解析 (RELAP 4-EM) に用いられたものと同一, すなわ

ち（入力値 + residual coefficient）を用いる。もちろんボリューム分割が異なる所では、対応する修正を施さねばならない。

燃料被覆管表面温度はバイパス終了以後 TOODEE 2 によって平均燃料棒について計算された値を用いる。

(3) FLECHT 相関式のためのデータ

再冠水中の炉心燃料表面熱伝達係数の相関式及びキャリーオーバ率（炉心出口流量／炉心入口流量）に対する相関式の 2 つに対する入力値は以下のように作成する。

炉心入口サブクーリングの値は 2) で触れた実ベースでの昇温を考慮した ECC 温度を基に入力する。線出力密度は平均燃料棒中央部に対する値を崩壊熱曲線に基づいて求め、1.05 倍 (FLECHT テスト集合体のピーキング) する。被覆管最高表面温度は前述の TOODEE 2 計算によって求める。プロッケージは通常考慮しない。

(4) 再冠水中の境界条件となる入力データ

再冠水期間中の炉出力変化は RELAP 4-POWER による計算結果を用いる。ポンプデータに関して、ローター固着の状態を模擬したい場合には、特性曲線等のデータはプローダウン解析と同じものを使用し、回転数を極めて小さい値をする。または予め回転数 0 における流量とヘッドの関係から有効的な K-ファクターを計算してポンプ出入口のジャンクションに与える。

ECCS の注水率データは、1) で述べたようにプローダウン解析またはそれに代る簡易計算から求められた注水率を用いる。蓄圧注入系については、その作動終了時は実際のプラントでは背圧を加えている N₂ ガスがループ部へ混入する時点、解析計算上は蓄圧器の水位が 0 になった時点である。そのため計算上では蓄圧器とコールドレグ間のライン及び健全側コールドレグに、蓄圧器からの水が残ったままである。そこで RELAP 4-FLOOD の入力として注入率を考える際には、これらの残留水もダウンカマを通って落下し炉心の冷却へ寄与すると考えて入力データ (フィルデータ) を作成する。例えば破断後 t 秒に蓄圧器が空になり計算上、注水率が 0 となったとする。その終了寸前の流量が W (kg/sec) とする。蓄圧器ライン及びコールドレグの残留水が合わせて M (kg) であったとすれば、再冠水解析上は蓄圧器からの注水が

$$\Delta t_B (\text{sec}) = M (\text{kg}) / W (\text{kg/sec})$$

だけ延長されているとして取扱う。実際にはコールドレグ内の残留水は蓄圧器以外からの寄与もあるので適当な補正が必要である。

最後になったが、再冠水の境界条件として最も重要な格納容器内圧の取扱いを説明する。再冠水期間中の格納容器内圧は、もちろん再冠水過程で破断口から放出される蒸気流の状態に依存するので、RELAP 4-FLOOD と CONTEMPT-LT (EM) との 2 コードによる繰り返し計算が必要となる。第 1 近似としてまず再冠水期間中の蒸気放出なしとして CONTEMPT-LT (EM) で計算された格納容器内圧変化を RELAP 4-FLOOD の入力として用い、再冠水解析を行う。そこで得られた放出蒸気流量と放出エネルギー率を入力として CONTEMPT-LT (EM) の計算を行う。以下同様の手順の繰り返しがあるが、格納容器内圧の変化は再冠水中の放出流量の差にそれ程敏感ではないので通常 2 ~ 3 回の繰り返しで大むね収束する。

Appendix E CONTEMPT-LT (EM)による格納容器内圧計算の入力データ作成法

CONTEMPT-LT (EM) コードによって PWR-LOCA 期間中の格納容器内圧計算を行うのはそれが再冠水期間中の一次系の挙動を解析するうえでの背圧として重要なためである。再冠水計算にとっては背圧が低い方がより保守的な結果を与えるので、評価解析としては再冠水期間中の格納容器圧力を低めに評価することが要求される。そのために米国 NRC が Branch Technical Position CSB 6-1において定めている最小格納容器内圧モデル (MCPM)を採用してデータ作成と解析を行う。

(1) ヒートシンク幾何形状データ

格納容器内気相部に接している構造物はできる限りヒート・シンク構造物として採用する。ヒート・シンク構造物は大きくわけると格納容器壁そのものと格納容器内の構造物とに分けられる。格納容器壁はドーム部は半球形、胴部は円筒形であるが入力モデルでは内側表面積、厚さはそのままにして平板として扱った。格納容器下部は通常厚いコンクリートで覆われており、それらのコンクリートをヒート・シンクとして扱う。格納容器内構造物としての一次系は蓄圧器を除いて厚い石綿で被われているので断熱と考えられるので、蓄圧器のみをヒート・シンクとして考慮する。複数個の類似した構造物を一つの構造物で表現するときは総表面積と総体積が保存されるように表面積と厚さを入力する。

(2) 熱伝達係数

格納容器壁外面では自然対流伝達及び輻射熱伝達、格納容器壁内面および格納容器内構造物の表面では凝縮熱伝達を用いる。凝縮熱伝達係数の詳細は 3.3 節を参照されたい。

(3) 格納容器内に放出される質量とエネルギー

これに属するものはプローダウン期間および再冠水期間中に一次系から放出される水量とエネルギー、とスプレーによるものがある。

(a) プローダウン期間の放出水量とエネルギー

この期間の入力データは放出質量流量と比エンタルピーである。放出の経路が複数個ある場合は放出質量流量は和を、比エンタルピーは平均値を用いる。

(b) 再冠水期間の放出水量とエネルギー

この期間の入力データは放出質量流量と放出エネルギー率である。再冠水期間中の一次系からの放出流としては ECC 水が炉心に至って発生して格納容器へ放出される蒸気と、ダウングラムからオーバーフローして格納容器内へ放出される液相水である。この液相水の格納容器内気相部圧力に対する直接的寄与は小さいのでこれを無視して、放出質量流量と放出エネルギー率は放出蒸気流のみを考慮に入れる。

(c) 格納容器スプレー

MCPMに従ってスプレー水は最低温度を仮定し、スプレー流量率は最大値とする。スプレー熱交換効率を 1.0、スプレーの方向は 100 % 気相部とする。

(4) 初期条件

MCPMに従い、定常運転時の格納容器内気相部温度及び外気温度を低くする。

Appendix F PWR-LOCA 解析のためのノード分割法の側

- (1) ブローダウン計算 (Fig. F 1)
- (2) 再冠水計算 (Fig. F 2)
- (3) ホット・チャンネル計算
 - ノード分割法 (Fig. F 3)
 - 燃料棒分割法 (Fig. F 4)
- (4) 燃料棒挙動解析計算
 - 燃料棒配列 (Fig. F 5)
 - 燃料棒軸方向分割法 (Fig. F 6)

Table A 1 Input Data for Power Calculation during Refill-Reflood Period

= POWER CURVE CALCULATION DURING REFILL-REFLOOD PERIOD (MC26) *

*
010001 -2 2 3 2 1 0 0 2 0 0 0 2 1 1 1 1 0 0 *

*
010002 1.E-6 1.

*
020000 TR 0 NW 0

*
030010 1 1000 1000 1 .01 0. 10.
030020 10 1000 1000 1 .1 0. 50.
030030 10 1000 1000 1 1. 0. 1000.

*
040010 1 1 0 0 1000. 0.
040020 2 1 0 0 0. 0.

*
050011 0 0 500. -1. .1 1.E8 10. 10. 0 1. 0. 0.

*
080011 0 1 1 0 10. 1. 1. 0 0 0 0 0 3 0 0 0 11 0
080021 0 1 2 0 -10. 1. 1. 0 0 0 0 0 3 -2 0 0 11 0

*
130100 2 1 2 4 0 'LBS/SEC' 100. 100. 0.
130101 0. 10. 10000. 10.
130200 2 1 2 4 0 'LBS/SEC' 100. 100. 0.
130201 0. -10. 10000. -10.

*
140010 0 0 0 0

***** DATA TO BE OBTAINED FROM BLOWDOWN CALC. *****

*
140000 3 1 300. 0. .0 ****
*
141001 20 2 ****
141002 0.0 0. .01 0. .25 -0.759 .95 -30.56 ****
141003 1.3 -29.62 2. -39.34 2.5 -41.98 3.58 -37.39 ****
141004 4.26 -26.29 4.66 -35.69 7.36 -47.07 9.06 -37.53 ****
141005 9.96 -27.67 10.46 -36.04 12. -41.04 13. -41.68 ****
141006 17.4 -47.46 22.9 -50.42 27. -50.90 1000. -51.0 ****

***** DATA TO BE OBTAINED FROM BLOWDOWN CALC. *****

*
142001 0
143001 0

*
150011 0 1 1 0 0 0 2 0 1000. 1000. 0. 1. 0. 1. 0. 1.

*
160010 1 1 1 1 0 1.

*
170101 1 1 1 1 0 1. 1.

*
180101 2 0 10. 10000. 10.

*
190101 2 0 50. 10000. 50.

Table B 1 Input Data for ECC Flow Calculation During Refill Period

= ECC FLOW CALCULATION DURING REFILL PERIOD (MOD6)

** RESERVOIR PRESS. = COLD LEG PRESS. BEFORE EOBP

** = CONTAINMENT PRESS. AFTER EOBP

*

C10001	0	7	3	4	3	2	1	4	0	2	0	2	0	0	0	0	0	0	*
*																			*
C10002	0.0		1.0																*
*																			*
020000	JW	1	JW	2	JW	3	JW	4	TM	3	AP	3	ML	1					*
*																			*
030010	1	200	1	1	.1		0.		10.										*
030020	1	1000	1	1	.01		0.		42.										*
030030	10	1000	1	1	.001		0.		60.										*
*																			*
040010	1	1	0	0	60.		0.												*
040020	2	-5	1	0	.001		0.		* AC CLOSED										*
040030	3	1	0	0	35.		0.		* LPIS+HPIS START										*
040040	4	-4	3	0	600.		0.		* AC OPENED										*
*																			*
050011	1	0	600.	125.	0.	4050.	16.9	11.	0	255.	10.4	-15.							*
050021	0	0	600.	125.	-1.	120.	4.	4.	0	2.54	.73	-19.							*
050031	2	1	2300.	0.	1.	1.E3	1.E3	0	1.E5	1.E5	1.E5	-100.							*
*																			*
080011	1	2	0	1	0.	1.254	-15.	0.	3.	3.	0	0	2	* AC-LINE					*
080021	2	3	0	2	0.	1.254	-19.	40.	3.	3.	0	0	0	* LINE-RESERV.					*
080031	0	3	2	0	0.	.75		0.	0.	0.	0	0	2	* LPIS					*
080041	0	3	1	0	0.	.75		0.	0.	0.	0	0	2	* HPIS					*
C8C012	0	1.1	0	11	0														*
C8C022	3	.9	0	11	0														*
C8C032	3	0.	0	11	0														*
C8C042	3	0.	0	11	0														*
*																			*
060011	.8		-1.																*
060021	0.		1000.																*
*																			*
070101	19	15.89	600.97		0.	1.		1.E3											*
070102		15.90	599.499		0.	1.		1.E3											*
C7C103		16.	593.048		0.	1.		1.E3											*
070104		17.	522.331		0.	1.		1.E3											*
070105		18.	439.283		0.	1.		1.E3											*
070106		19.	371.725		0.	1.		1.E3											*
070107		20.	314.268		0.	1.		1.E3											*
070108		21.	263.299		0.	1.		1.E3											*
070109		22.	214.961		0.	1.		1.E3											*
070110		23.	168.804		0.	1.		1.E3											*
070111		24.	126.561		0.	1.		1.E3											*
070112		25.	90.658		0.	1.		1.E3											*
070113		26.	63.677		0.	1.		1.E3											*
070114		26.61	51.744		0.	1.		1.E3											*
070115		30.5	34.871		0.	1.		1.E3		* CONTEMPT									*
070116		40.5	32.164		0.	1.		1.E3		* CONTEMPT									*
070117		50.5	30.225		0.	1.		1.E3		* CONTEMPT									*
070118		60.5	28.793		0.	1.		1.E3		* CONTEMPT									*
*																			*
110010	2	0	0	0	0	0	0	*	AC CLOSED										*
110020	-4	0	0	0	0	0	0	*	AC OPENED										*
*																			*
130100	3	2	9	4	0	'LBS/SEC'	14.7	100.	0.	* HPIS									*
130101							1.0	894.23	140.	840.	580.	700.	960.	500.					*
130102							1170.	400.	1300.	320.	1320.	240.	1430.	160.					*
130103							1475.	80.											*
*																			*
*																			*
130200	3	2	8	4	0	'LBS/SEC'	14.7	100.	0.	* LPIS									*
130201							1.0	4905.	28.	4500.	79.	3600.	119.	2700.					*
130202							150.	1800.	162.	1350.	157.	900.	171.	450.					*

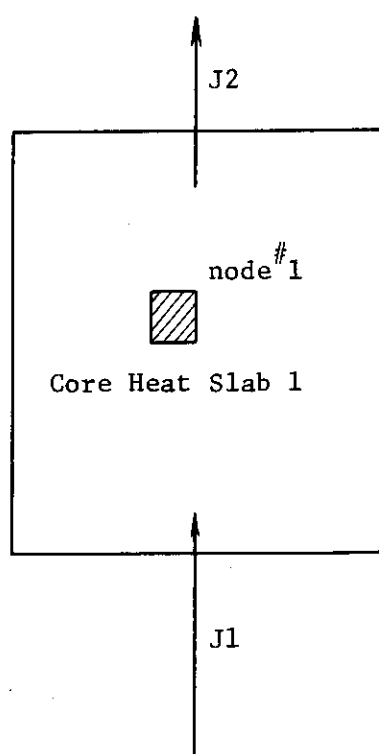


Fig. A 1 Noding Diagram for Power Calculation.

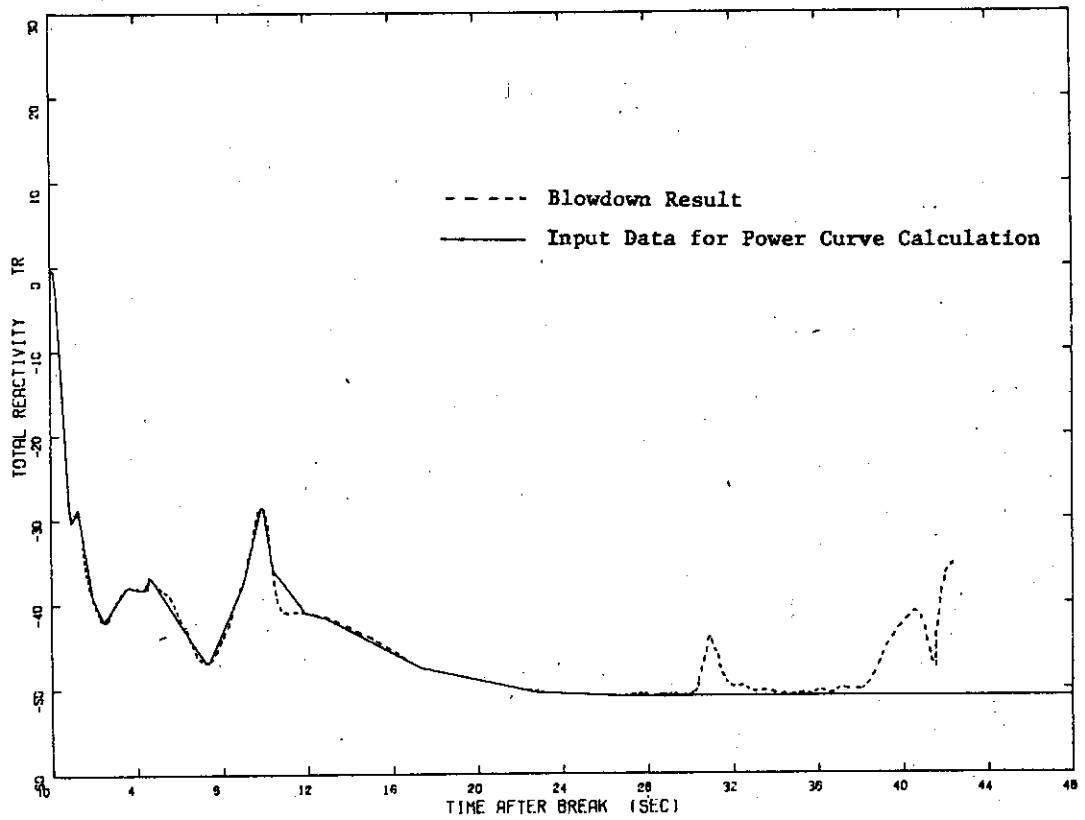


Fig. A 2 Reactivity Calculated by Blowdown Calculation and Input for Power Calculation

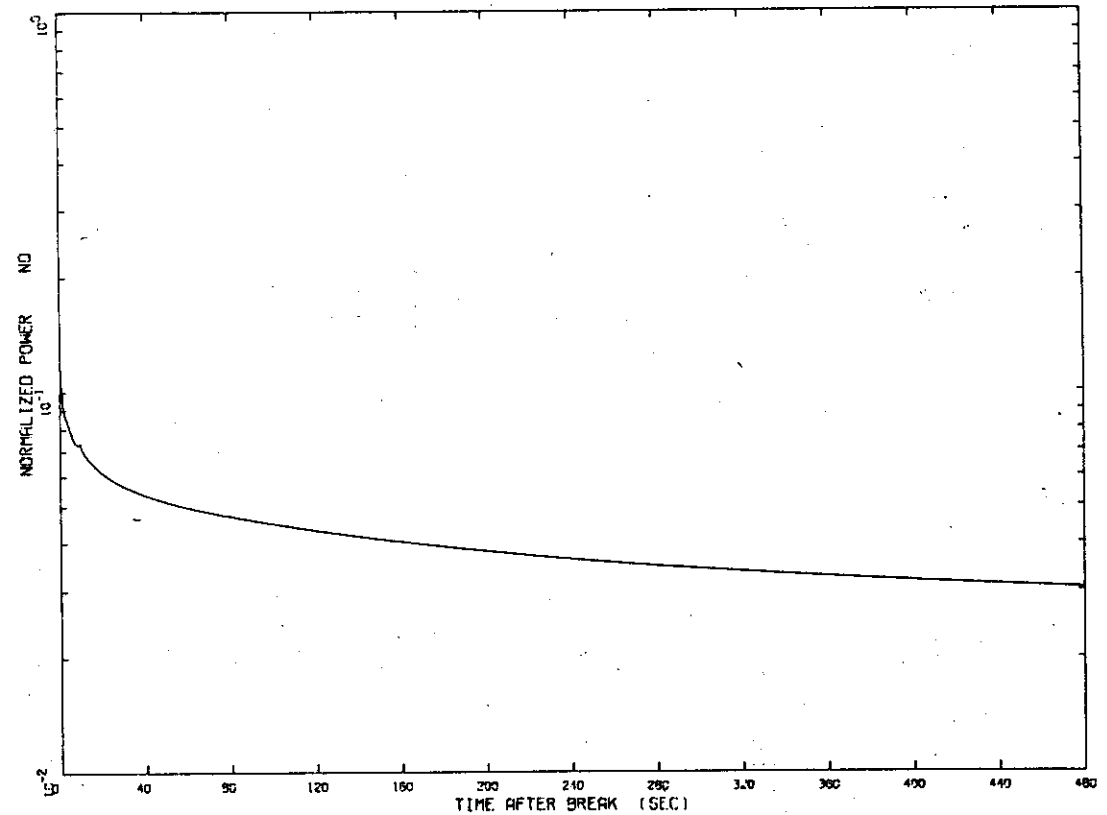


Fig. A 3 Normalised Power Calculated by RELAP4-POWER Calculation

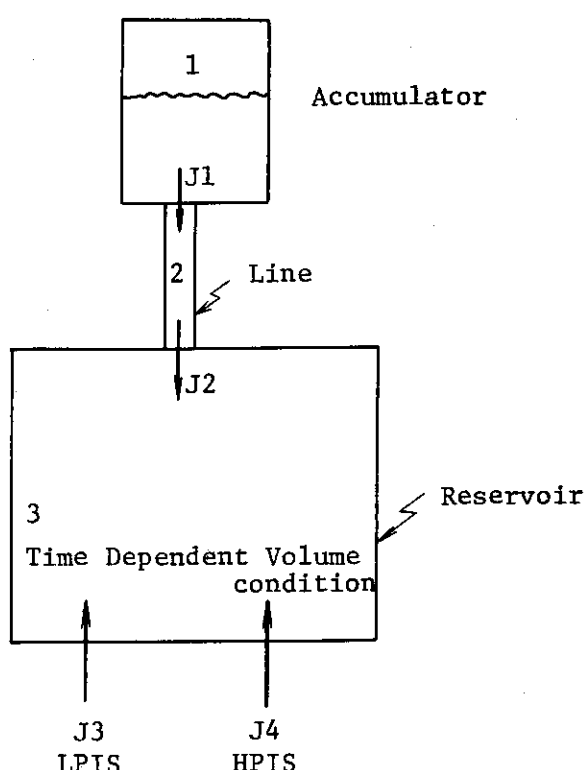


Fig. B 1 Noding Diagram for ECC Flow Calculation.

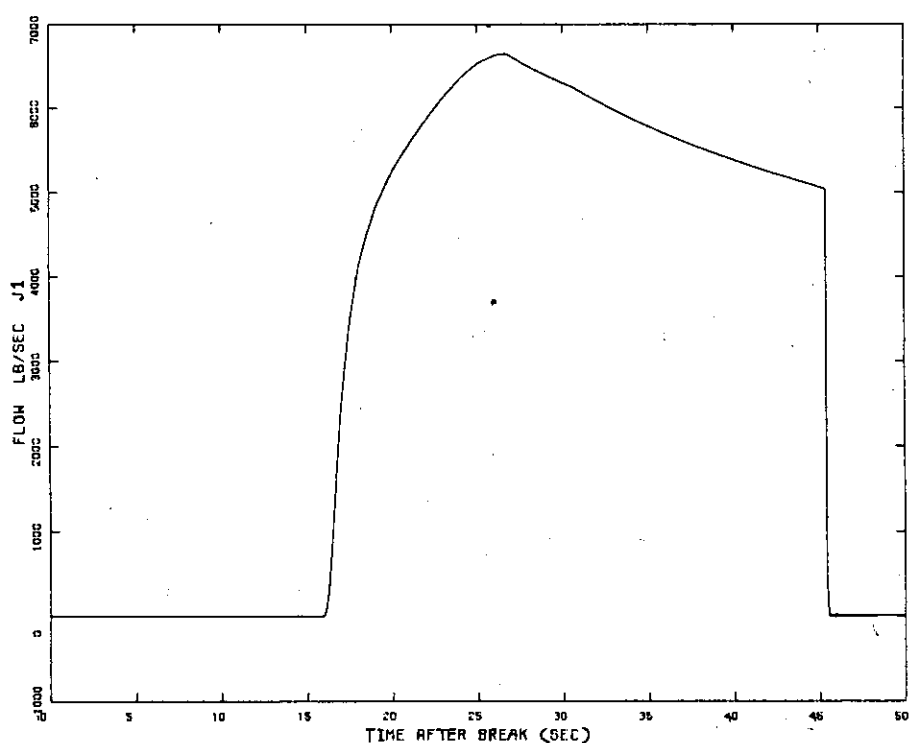


Fig. B 2 Accumulator Flow Rate by RELAP4-ECC Calculation with Input Data Mentioned in Table B.1

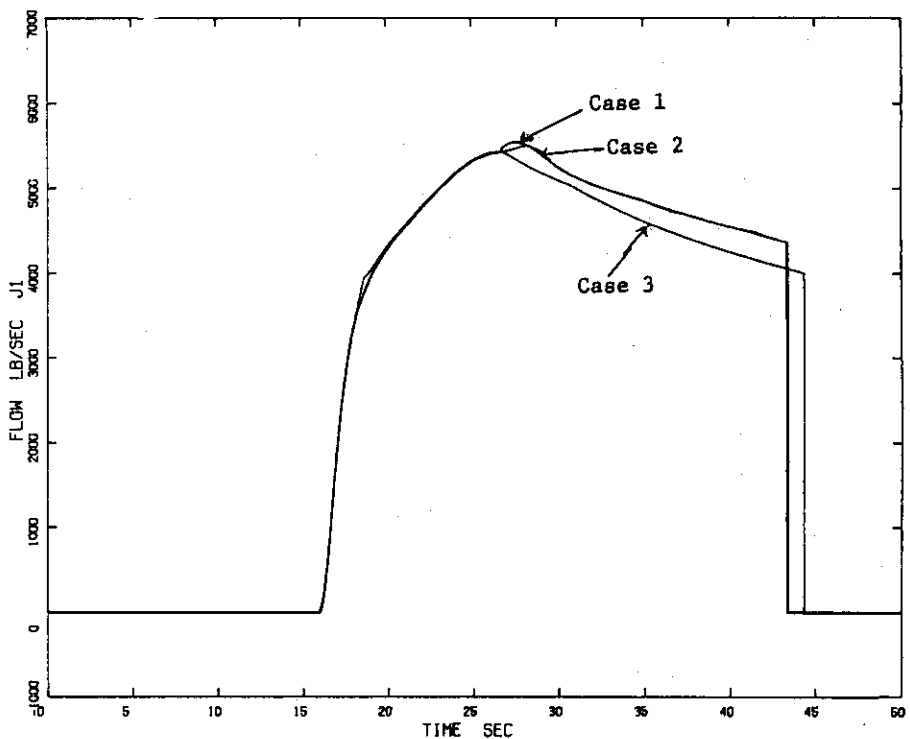


Fig. B 3 Accumulator Flow Rates in the Three Cases:
 Case 1; Blowdown Calculation
 Case 2; RELAP4-ECC Calculation with Reservoir Pressure Equal to Cold Leg Pressure of Blowdown Calculation
 Case 3; RELAP4-ECC Calculation with Reservoir Pressure Equal to Containment Pressure after End of Bypass

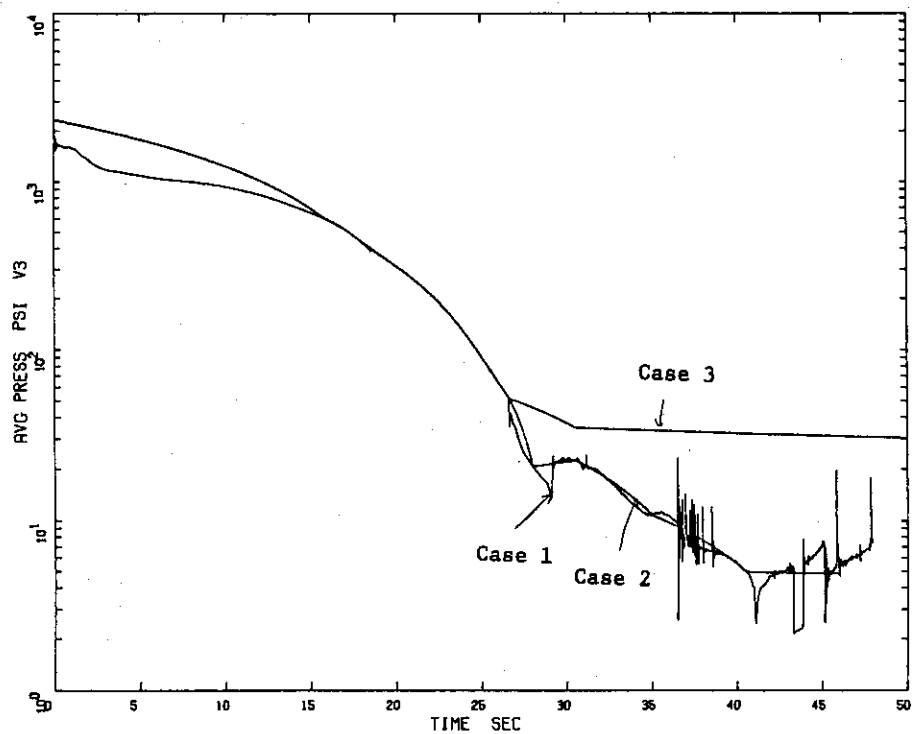


Fig. B 4 Reservoir Pressures in Three Cases

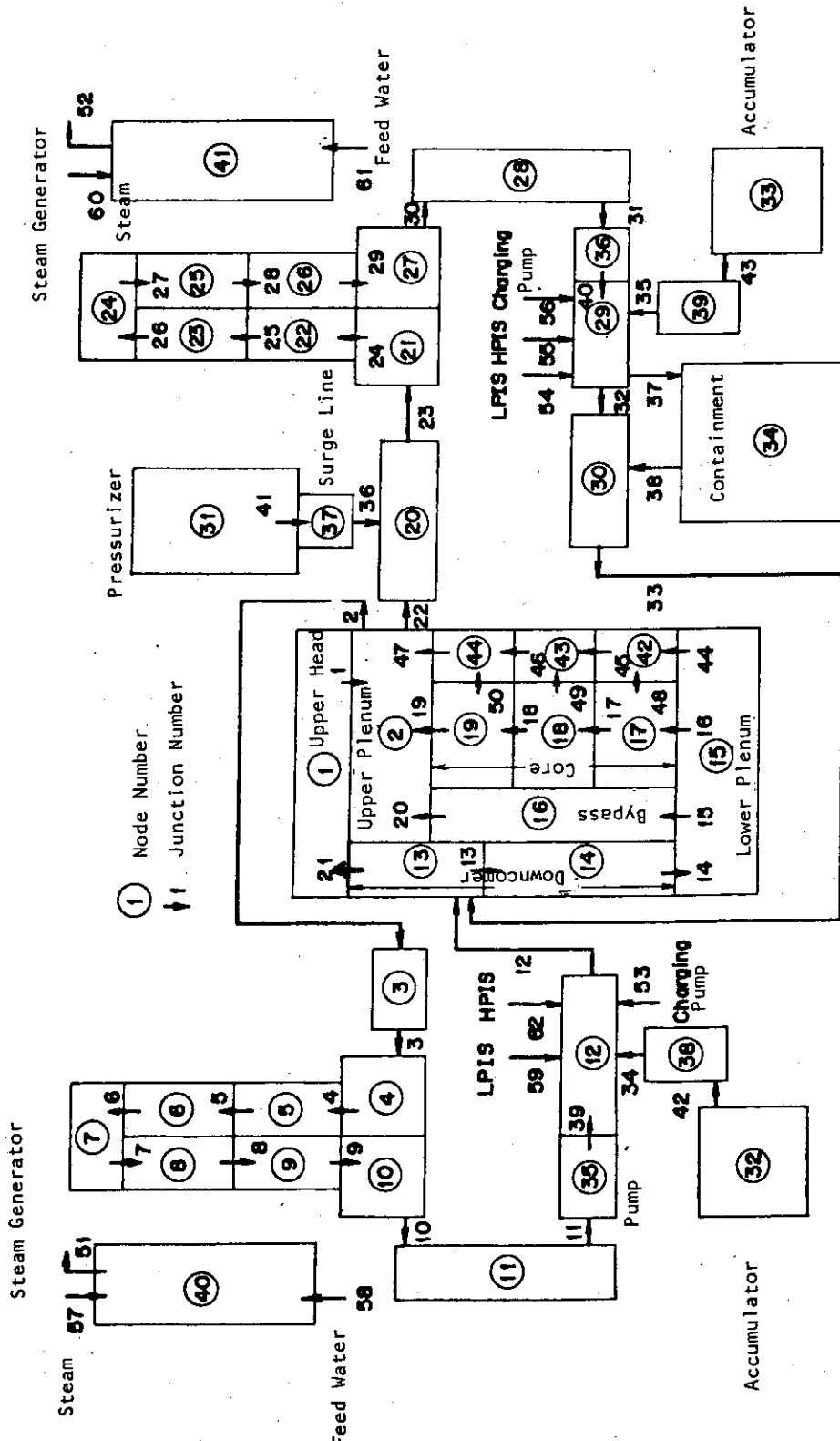


Fig. F1 Example of Noding Diagram for PWR blowdown Analysis by RELAP4-EM

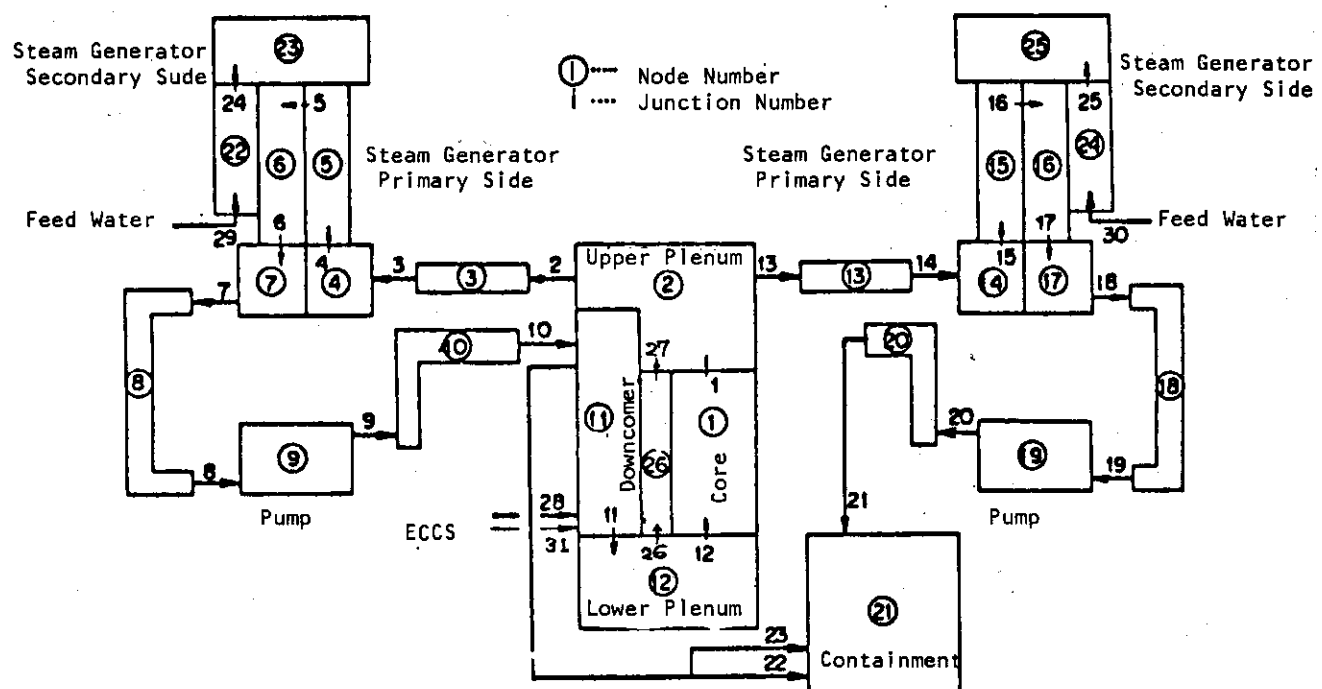


Fig. F 2 Example of Noding Diagram for PWR Reflood Analysis by RELAP4-FLOOD

① --- Node Number

1 --- Junction Number

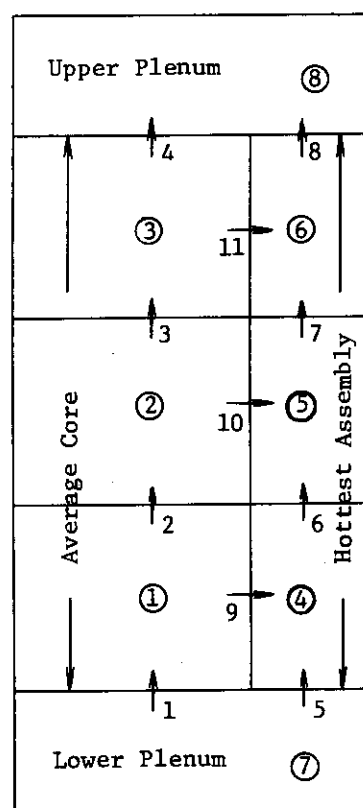


Fig. F.3 Example of Noding Diagram for PWR
Hot Channel Analysis by RELAP4-EM

(1) --- Node Number

1 --- Heat Slab Number

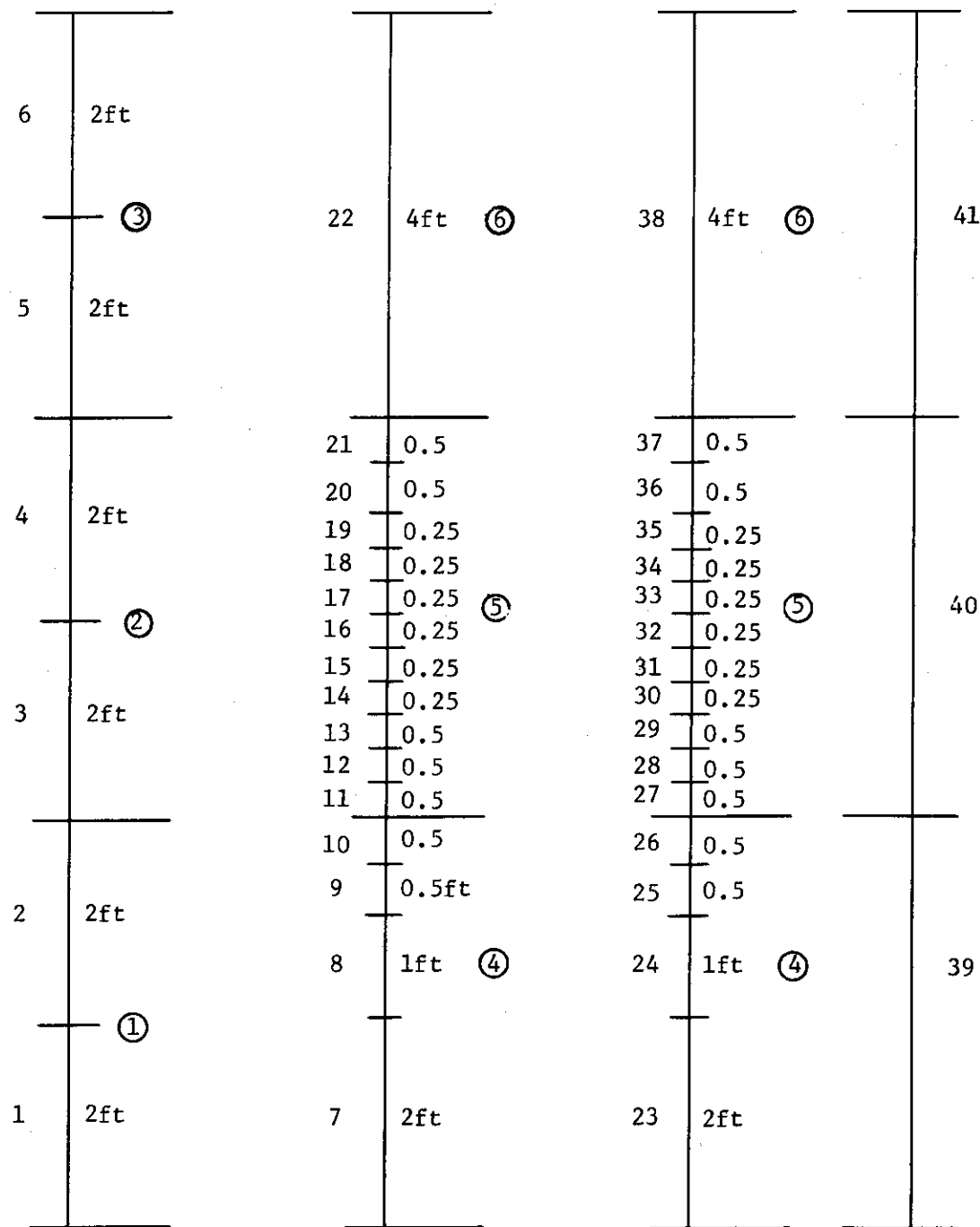
Average Core
Fuel RodsHottest Assembly
Average Power
Fuel RodsHottest Assembly
Maximum Power
Fuel RodControl Rod
Cluster Guid
Simble

Fig. F.4 Example of Modeling Fuel Rode for PWR Hot Channel Analysis by RELAP4-Em

1 Maximum Power Fuel Rod in Hottest Assembly
 2 ~ 7 Average Power Rods in Hottest Assembly
 3 ~ 10 Unheated Rods

Fig. F.5 Example of Array of Fuel Rods for PWR Heat-Up Analysis by TOBUNRAD

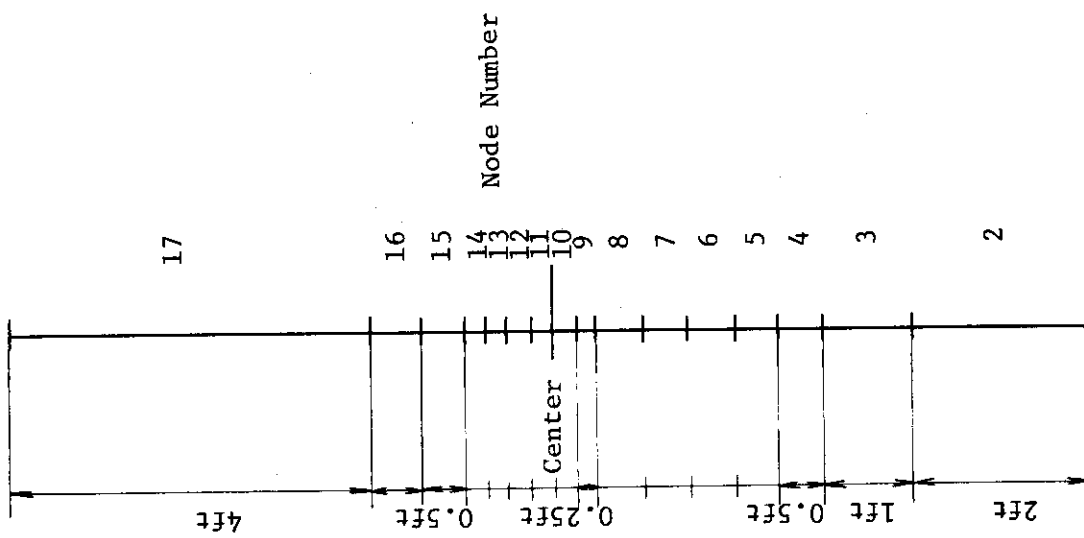


Fig. F 6 Example of Modeling Fuel Rods for PWR Heat-Up Analysis by TOBUNRAD

謝 辞

この報告書をまとめるにあたり、安全解析部長桂木学氏には構成その他について貴重な助言をいただきました。ここに謝意を表します。

参 考 文 献

- 1) "WREM : Water Reactor Evaluation Model [Revision 1]," NUREG-75/056, U.S. Nuclear Regulatory Commission (May 1975).
- 2) G.N. Lauben, "TOODEE2 : A Two Dimensional Time Dependent Fuel Element Thermal Analysis Program," U.S. Nuclear Regulatory Commission (May 1975).
- 3) 原子力安全局公開資料室, "伊方 2 号炉非常用炉心冷却装置に係る機能と性能の評価解析書," 日本原子力研究所 (Oct. 1976)
- 4) 原子力安全局公開資料室, "柏崎・刈羽原子力発電所の非常用炉心冷却装置に係る機能と性能の評価解析書," 日本原子力研究所 (April, 1977).
- 5) 原子力安全局公開資料室, "川内原子力発電所非常用炉心冷却装置に係る機能と性能の評価解析書," 日本原子力研究所 (Sept. 1978).
- 6) K. Fujiki, T. Shimooke and Y. Murao, "RELAP/REFLA : A System Reflooding Analysis Computer Program," to be published as JAERI-M Report.
- 7) 下桶敬則, 吉田一雄, "PWR 燃料集合体ヒートアップ計算コード TOBUNRAD 説明書," JAERI - M 8211 (May, 1979).
- 8) 原子力安全局公開資料室, "高浜 3, 4 号炉非常用炉心冷却装置に係る機能と性能の評価解析書," 日本原子力研究所 (Dec. 1978).
- 9) 原子力安全局公開資料室, "京都大学高中性子束炉一次冷却系主配管破断事故および炉心流路閉塞事故の評価解析書," 日本原子力研究所 (Aug. 1978).
- 10) 原子力安全局公開資料室, "大飯発電所の安全解析," 日本原子力研究所 (Jul., 1979) (原子力安全委員会月報第 8 号に転載)
- 11) 田辺文也, 吉田一雄, 松本潔, 下桶敬則, "TMI 事故の熱水力学解析," JAERI - M 8653 (Jan. 1980).
- 12) F. Tanabe, K. Yoshida, K. Matsumoto and T. Shimooke, "Thermal-Hydraulic Analysis of the TMI-Accident by Using RELAP4/MOD6/U4/J2," NEWS LETTER of the NEA DATA BANK No.24 (Oct. 1980).
- 13) F. Tanabe, K. Yoshida, K. Matsumoto and T. Shimooke, "Post-Facta

謝 辞

この報告書をまとめるにあたり、安全解析部長桂木学氏には構成その他について貴重な助言をいただきました。ここに謝意を表します。

参 考 文 献

- 1) "WREM : Water Reactor Evaluation Model [Revision 1]," NUREG-75/056, U.S. Nuclear Regulatory Commission (May 1975).
- 2) G.N. Lauben, "TOODEE2 : A Two Dimensional Time Dependent Fuel Element Thermal Analysis Program," U.S. Nuclear Regulatory Commission (May 1975).
- 3) 原子力安全局公開資料室, "伊方 2 号炉非常用炉心冷却装置に係る機能と性能の評価解析書," 日本原子力研究所 (Oct. 1976)
- 4) 原子力安全局公開資料室, "柏崎・刈羽原子力発電所の非常用炉心冷却装置に係る機能と性能の評価解析書," 日本原子力研究所 (April, 1977).
- 5) 原子力安全局公開資料室, "川内原子力発電所非常用炉心冷却装置に係る機能と性能の評価解析書," 日本原子力研究所 (Sept. 1978).
- 6) K. Fujiki, T. Shimooke and Y. Murao, "RELAP/REFLA : A System Reflooding Analysis Computer Program," to be published as JAERI-M Report.
- 7) 下桶敬則, 吉田一雄, "PWR 燃料集合体ヒートアップ計算コード TOBUNRAD 説明書," JAERI - M 8211 (May, 1979).
- 8) 原子力安全局公開資料室, "高浜 3, 4 号炉非常用炉心冷却装置に係る機能と性能の評価解析書," 日本原子力研究所 (Dec. 1978).
- 9) 原子力安全局公開資料室, "京都大学高中性子束炉一次冷却系主配管破断事故および炉心流路閉塞事故の評価解析書," 日本原子力研究所 (Aug. 1978).
- 10) 原子力安全局公開資料室, "大飯発電所の安全解析," 日本原子力研究所 (Jul., 1979) (原子力安全委員会月報第 8 号に転載)
- 11) 田辺文也, 吉田一雄, 松本潔, 下桶敬則, "TMI 事故の熱水力学解析," JAERI - M 8653 (Jan. 1980).
- 12) F. Tanabe, K. Yoshida, K. Matsumoto and T. Shimooke, "Thermal-Hydraulic Analysis of the TMI-Accident by Using RELAP4/MOD6/U4/J2," NEWS LETTER of the NEA DATA BANK No.24 (Oct. 1980).
- 13) F. Tanabe, K. Yoshida, K. Matsumoto and T. Shimooke, "Post-Facta

- Analysis of TMI Accident," to be published.
- 14) 吉田一雄, 田辺文也, 松本潔, 下桶敬則, "RELAP4/MOD6/U4/J3 : A JAERI Improved Version of RELAP4/MOD6 for Analysis of LWR Transient Including Refill-Reflood Phase of BWR-LOCA," to be published as JAERI-M Report.
 - 15) S.R. Fischer, et al., "RELAP4/MOD6 — A Computer Program for Transient thermal-Hydraulic Analysis of Nuclear Reactors and Related Systems — User's Manual," EG & G, CDAP-TR003 (Jan. 1978).
 - 16) 鴻坂厚夫, 石谷隆広, 熊倉利昌, 奈良岡賢逸, "冷却材喪失事故解析コードRELAP 4 / MOD 5 及び MOD 6 の FACOM 230 / 75 システムへの変換整備," JAERI - M 8166 (March 1979).
 - 17) F.F. Cadek, et al., "PWR FLECHT (Full Length Emergency Cooling Heat Transfer) Final Report," WCAP-7665 (April 1971).
 - 18) F.F. Cadek, et al., "PWR FLECHT Final Report Supplement," WCAP-7931 (Oct. 1972).
 - 19) L.C. Richardson, et al., "CONTEMPT : A Computer Program for Predicting the Containment Pressure-Temperature Response to a Loss-of-Coolant Accident," Philips Petroleum Company, Atomic Energy Division, IDO-17220, Idaho Falls, Idaho (June 1967).
 - 20) CONTEMPT-LT/022, Argonne Code Center Abstract No.433 (Dec. 1973).
 - 21) 阿部清治, 佐藤一男, "SCORCH-B 2 : LOCA 時の原子炉炉心ヒート・アップのシミュレーションコード, BWR用, 第2版, "JAERI - M 6678 (Aug. 1976)
 - 22) J.D. Duncan and J.E. Leonard, "Emergency Cooling in BWR's Under Simulated Loss-of-Coolant Conditions," GEAP-13197 (June 1971).
 - 23) A.E. Rogers and J.E. Leonard, "An Analytical Model of the Transient Core Spray Cooling Process," Proceeding of A.I. ChE Meeting Symposium on Heat Transfer in Water Cooled Nuclear Reactor Systems (Dec. 1971).
 - 24) Y. Murao, "An Analytical Study of the Thermal-Hydraulic Behavior of the Reflood-Phase During a LOCA," KFK 2545, Gesellschaft für Kernforschung mbH. (Dec. 1977).
 - 25) K.R. Katsma, et al., "RELAP4/MOD5 — A Computer Program for Transient Thermal-Hydraulic Analysis of Nuclear Reactors and Related Systems — User's Manual," ANCR-NUREG-1335, Aerojet Nuclear Company (Sept. 1976).
 - 26) 井上公夫, 田辺文也, 松本潔, "SUS 被覆管燃料のための RELAP 4-EM と TOOD - EE 2 の改良," JAERI - M 9200 (Nov. 1980)
 - 27) J.F. Wilson, R.J. Grenda and J.F. Patterson, "The Velocity of Rising

- Steam in a Bubbling Two-Phase Mixture," Transactions of the American Nuclear Society (May 1962).
- 28) G.J. Scatena and G.L. Upham, "Power Generation in a BWR Following Normal Shutdown or Loss-of-Coolant Accident Conditions," NEDO-10625 (Apr. 1973).
- 29) H. Uchida, A. Oyama, and Y. Togo, "Evaluation of Post-Incident Cooling Systems of Light Water Power Reactors," Proc. Third International Conference on the Peaceful Uses of Atomic Energy, Vol.13, Session 3.9, United Nations, Genear (1964).
- 30) 石川迪夫, 他, "格納容器温度圧力解析コード CONTEMPT の検討 ", JAERI - M 5339 (1973).
- 31) P.S.Ayyaswamy,et.al., "Reactor Containment Heat Removal by Passive Heat Sinks Following a Loss-of-Coolant Accident," Nucl. Technol., Vol.33, p.243 (May 1977).
- 32) "Minimum Containment Pressure Model for PWR ECCS Performance Evaluation," U.S. Nuclear Regulatory Commission, B.P.T. CSB6-1 (Nov. 1975).
- 33) D.C. Slaughterbeck, "Review of Heat Transfer Coefficients for Condensing Steam in a Containment Building Following a Loss-of-Coolant Accident," IN-1338 (Sept. 1970).
- 34) S. Kawasaki, T. Furuta and M. Suzuki, "Oxidation of Zircaloy-4 under High Temperature Steam Atmosphere and 1st Effect on Ductility of Cladding," J. Nucl. Sci. Technol. Vol.15, p.585 (Aug. 1978).
- 35) S. Ikeda, et al., "Oxidation of Zircaloy-2 in High Temperature Steam," J. Japan Inst. Met., Vol.39, p.710 (1975).
- 36) "Exxon Nuclear Company WREM-Based Generic PWR ECCS Evaluation Model," XN-75-41, Volume II , Appendixd (Oct. 1975).
- 37) "Exxon Nuclear Company WREM-Based Generic PWR ECCS Evaluation Model," XN-75-41, Suppl.6 (Oct. 1975).
- 38) "Exxon Nuclear Company WREM-Based Generic PWR ECCS Evaluation Model," XN-75-41, Suppl. 5 (Oct. 1975).
- 39) L.P. Leach, L.J. Ybarrando, and G.D. McPherson "Experimental Emergency Core Cooling Results from LOFT Non-Nuclear Tests," Nucl. Technol., Vol.33, 126-149 (Mid-April 1977).